

ТС  
394

**МИНИСТЕРСТВО МЕЛИОРАЦИИ И ВОДНОГО  
ХОЗЯЙСТВА СССР.**

**СРЕДНЕАЗИАТСКИЙ ОРДЕНА ТРУДОВОГО КРАСНОГО ЗНАМЕНИ  
НАУЧНО-ИССЛЕДОВАТЕЛЬСКИЙ ИНСТИТУТ ИРРИГАЦИИ  
имени В. Д. ЖУРИНА (САНИИРИ)**

**ТУРКМЕНСКИЙ НАУЧНО-ИССЛЕДОВАТЕЛЬСКИЙ ИНСТИТУТ  
ГИДРОТЕХНИКИ И МЕЛИОРАЦИИ**

**МЕЛИОРАЦИЯ ЗЕМЕЛЬ  
В ТУРКМЕНИСТАНЕ**

Ташкент—1978

ТС-394  
631.6

МИНИСТЕРСТВО МЕЛИОРАЦИИ И ВОДНОГО  
ХОЗЯЙСТВА СССР

Среднеазиатский ордена Трудового Красного Знамени  
научно-исследовательский институт ирригации  
имени В. Д. Журина (САНИИРИ)

Туркменский научно-исследовательский институт  
гидротехники и мелиорации

МЕЛИОРАЦИЯ ЗЕМЕЛЬ  
В ТУРКМЕНИСТАНЕ

Четвертый выпуск

Ташкент—1978

УДК 551.49/.573+626.810/.862+631.587/.67+65.011.56

В настоящем сборнике освещаются актуальные вопросы мелиорации земель в Туркменской ССР. В его статьях показывается высокая эффективность рационального использования водных ресурсов, автоматизации водораспределения на протяженных оросительных системах и механизации водохозяйственных работ, описывается конструкция нового мобильного дренажа, характеризуются параметры закрытых дрен с прерывистой фильтровой зоной, оцениваются местные фильтровые материалы, применяемые в дренаже, излагаются методы определения водно-физических свойств почвогрунтов, рекомендуется методика районирования орошаемых территорий по величине удельных фильтрационных потерь воды из каналов, рассматриваются техника полива, водопотребление сельскохозяйственных культур, водно-солевой режим почвогрунтов и вопросы применения ЭВМ в мелиоративных расчетах.

Сборник рассчитан на широкий круг специалистов и студентов высших учебных заведений в области мелиорации и водного хозяйства.

ТУРКМЕНИСТАНДА  
ЕРЛЕРИН  
МЕЛИОРАЦИЯСЫ  
ДОРДУНИИ ГОЙБЕРИЛИШ

Р е д к о л л е г и я :

Кадыров А.А. (отв. редактор, САНИМИ), Антонов В.И. (зам. редактора, ин-т Средазгипроводхлопок), Балентини Г.Г., Дердятка Т.И., Жулаев А.Ж. (зам.редактора, КазНИИВХ), Кеберле С.И., Лактаев Н.Т., Мухамедов А.М., Мухтаров М.П., Пулатов У.Ю., Чулатов А.Г., Сапаров Б. (зам.редактора, ТуркменНИИГиМ), Старковский А.С., Усманов А.У., Якубов Х.И. (зам. редактора).

(c)

Туркменский научно-исследовательский институт  
гидротехники и мелиорации, 1978 г.

Канд. техн. наук В.А. КАЛАНТАЕВ,  
горн. инж.-гидрогеолог З. ИШАНКУЛИЕВ

МЕЛИОРАЦИЯ ЗАСОЛЕНИХ ЗЕМЕЛЬ С ПОМОЩЬЮ  
МОБИЛЬНЫХ ДРЕНАЖНЫХ СИСТЕМ

В настоящее время в аридной зоне сложилась такая практика мелиорации орошаемых земель, когда поверхностные соли, находящиеся в почвогрунтах, вымываются промывными поливами на большую глубину, а затем постепенно отводятся дренажными системами различного типа за пределы культурного оазиса. Такой метод значительно удлиняет мелиоративный период и способствует обогащению грунтовых вод солями, что усложняет освоение новых земель.

В целях устранения постоянной опасности возникновения вторичного засаления капитальные промывки орошаемых земель должны проводиться более эффективно. Для этого необходим такой дренаж, который мог бы перехватывать солевой поток сверху во время промывок и сразу же отводить его за пределы культурного оазиса.

Задачу мелиорации таким методом можно решить на фоне двухъярусного дренажа. Первый ярус — это закрытый горизонтальный дренаж, который устанавливается на эксплуатационный период. Второй ярус — мобильный дренаж, который монтируется на поверхности какого-либо поливного участка на время проведения капитальных промывок и демонтируется после отвода солей из верхней 1,5–2,0-метровой толщи грунта. За основу мобильного дренажа принята конструкция систем вертикальных дрен с регулируемым дебитом, разработанная в 1971 г. на Чарджоуской опытно-мелиоративной станции ТуркменНИИГиМа.

Мобильный дренаж (см. рисунок) состоит из горизонтального

собирателя, вертикальных дрен и самовсасывающего насоса. Собиратель и вертикальные дрены изготавливаются из полистиленовых труб, диаметры которых соответственно равны 160 и 50 мм. Длина вертикальных дрен зависит от геологической характеристики участка, но не должна быть меньше 3 м. Нижняя

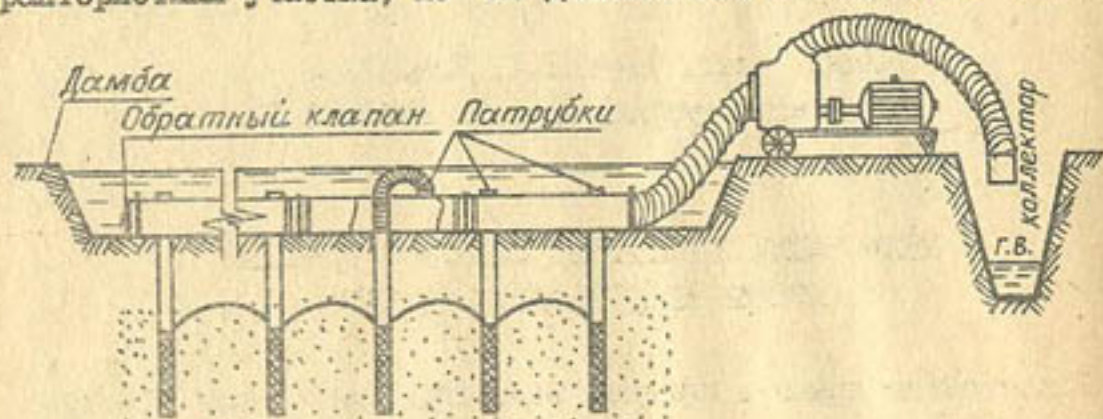


Схема устройства мобильного дренажа

часть дрен (2–3 м) имеет щелевую перфорацию и обтянута сеткой галунного плетения. Вертикальные дрены устанавливаются на проектную глубину при помощи гидоразмыва грунта в специальной обсадной трубе:

Следует отметить, что при работе с водой болтовые соединения труб собирателя между собой и вертикальных дрен с собирателем довольно неэффективны. Коррозия при постоянном влиянии мокрого грунта делает болтовые соединения трудно-разъемными, в связи с чем они не могут быть рекомендованы для систем мобильного дренажа, работы которого связана с многократной сборкой и разборкой основных узлов. Исходя из этого все соединения в мобильной дренажной системе сделаны быстроразъемными и не содержат болтов.

Начало собирателя (по ходу движения воды) содержит клапан, который открывается для заполнения системы водой до пуска насоса и закрывается перед включением его в работу.

После разметки мест установки вертикальных дрен приступают к их погружению на проектную глубину и соединяют с собирателем, расположенным на поверхности земли. При подключении насоса к мобильной системе поливной участок, а через откры-

тый клапан – и вся полость дренажа заполняются водой. Слой воды на участке должен превышать верх труб собирателя на 5–7 см. После включения насоса в работу начинается отвод воды мобильным дренажем. В начале откачивается пресная вода из полости дрен и собирателя, а затем, за счет появившегося вакуума, – грунтовые и инфильтрационные воды с растворенными солями.

После завершения промывных поливов система мобильного дренажа разбирается и перевозится на новый участок, подлежащий рассолению.

Мобильный дренаж испытан на экспериментальном участке в 1976 г. При этом установлена работоспособность системы и выявлен ряд недостатков в узлах соединений. В 1977 г. исследования продолжались. Конструктивные недостатки встыковке труб между собой удалось ликвидировать, применив вакуумное соединение трубопроводов.

Как показали исследования, мобильные дренажные системы обладают подвижностью и могут быть быстро перевезены и смонтированы на любом участке, подлежащем рассолению. Поскольку мобильные системы почти целиком состоят из полимерных материалов, это в значительной степени облегчает сборку и разборку их на поливных участках. Мобильные системы имеют многократную оборачиваемость, что делает их экономически выгодными для применения в целях мелиорации орошаемых земель.

Мелиоративный период при освоении засоленных земель при помощи мобильных систем можно сократить в 4–5 раз по сравнению с обычным способом проведения промывок.

Таким образом, мобильные дренажные системы могут успешно применяться для мелиорации сильнозасоленных земель.

УДК 626.862.1

Канд. техн. наук В.А. КАЛАНТАЕВ

О ВЫСОТЕ НАВИСАНИЯ ГРУНТОВОГО ПОТОКА  
ПРИ РАБОТЕ ДРЕНАЖНЫХ СООРУЖЕНИЙ

При работе дренажных систем различного типа (горизонтальных или вертикальных) всегда имеет место разрыв уровней воды в грунте и дрене. Обычно этот разрыв называют высотой нависания или промежутком высачивания, участком выклинивания.\* До недавнего времени считалось, что кривые депрессии смыкаются с горизонтом воды в дренах, и о высоте нависания ничего не было известно. Это обстоятельство привело к ошибке Козени [3], который пришел к выводу, что максимальный дебит колодца будет при глубине воды в нем, равной половине мощности грунтового потока. Эренбергер, проверяя в своих опытах вывод Козени, определил, что максимум дебита будет при нулевой глубине воды в колодце. Он одним из первых показал также, что между уровнями воды за стенкой колодца и в самом колодце имеется разрыв, т.е. образуется высота нависания грунтового потока [3]. На существование "высоты нависания" в свое время указывали также Е.А. Замарин, Н.Н. Павловский [7], Г.Н. Каменский [9], А.И. Богомолов [2], Н. Кристеа [5] и другие. Неизбежность образования высоты нависания впервые была теоретически обоснована в работе Левисона, в которой решались вопросы движения грунтовых вод через перемычку. Де-

тально разобрал и теоретически обосновал основные случаи наличия или отсутствия высоты нависания В.В. Веденников [3].

Следует отметить разнообразное трактование исследователями физической закономерности появления высоты нависания при работе дренажных и водозаборных систем, а также перемычек, плотин и других гидroteхнических сооружений. Эренбергер и некоторые другие исследователи объясняли образование высоты нависания вследствие сопротивления фильтра. Г.Н. Каменский и Н.Н. Павловский считали, что здесь решающее значение имеет энергетический фактор, без которого не было бы движения воды к дренажным сооружениям. В.В. Веденников объяснял наличие высоты нависания размерами дрен. При размерах больше "критических" он допускал отсутствие разности между уровнями воды в грунте и в дрене. М. Маккет [6] пришел к выводу, что высота нависания должна иметь место во всех случаях для избежания бесконечной скорости в точке пересечения уровня воды со стенкой канала. Н. Кристеа наличие высоты нависания объяснял тем, что скорость вдоль свободных поверхностей не может быть больше величины коэффициента фильтрации и что свободная поверхность у дрены должна быть наклонена вниз.

Наши исследования на моделях и в натурных условиях показали, что над уровнем воды в дренах всегда имеется слой грунтовой воды различной мощности. Высота этого слоя не может меняться при неизменных параметрах дрены и грунтового потока, так как кривая депрессии своим концом упирается . . . в урез воды в дрене. Этот парадоксальный вывод легко доказывается, если рассматривать наличие высоты нависания и работу дренажных систем несколько с иной, чем это принято, физической точки зрения.

Известно, что поверхность жидкости обладает некоторым количеством свободной поверхностной энергии, величина которой пропорциональна поверхности жидкости. Свободная энергия всегда стремится к наименьшему значению. Этому же закону подчиняется и поверхностная энергия жидкости. Поэтому всякий объем жидкости в благоприятных условиях стремится принять форму шара, т.е. тела с наименьшей поверхностью. Наглядным примером может служить капля жидкости, подброшенная

\* В дальнейшем будет использоваться термин "высота нависания" и индекс ее обозначения  $H_0$ .

в воздух: она моментально приобретает форму шара.

При движении в пористой среде к стоку грунтовый поток под влиянием комплекса сил - поверхностного натяжения, трения и молекулярного взаимодействия частиц жидкости и грунта - также стремится принять форму шара. Это явление особенно проявляется непосредственно у дрены, где верхний слой грунтовых вод находится в состоянии "свободного падения" с малыми скоростями. Чем дальше от дрены, тем больше сливается форма шара под влиянием силы тяжести.

Образование шаровой поверхности особенно наглядно проявляется при работе вертикальных дрен: кривая депрессии в непосредственной близости от дрены приобретает форму окружности, а вертикальная стенка колодца становится касательной к дуге окружности.

Аналогичную картину можно наблюдать при движении жидкости через перемычки к горизонтальным дренам с откосами различной конфигурации и вообще к любому стоку. Во всех случаях вблизи стока свободная поверхность жидкости в пористой среде приобретает форму окружности, радиус которой зависит от параметров дрены, грунта и грунтового потока, а центр находится на горизонтальной прямой на одном уровне с водой в дрене. Нижний конец кривой депрессии "уширивается" в урез воды в дрене, а вертикальная прямая, опущенная в точку этого уреза, является касательной к дуге окружности.

Таким образом, образование высоты нависания при работе гидротехнических сооружений есть следствие физической закономерности. Сформулируем эту закономерность следующим образом: "При движении в пористой среде к стоку в условиях "свободного падения" грунтовый поток под влиянием комплекса сил поверхностного натяжения, трения и молекулярного взаимодействия частиц жидкости и грунта - уменьшает свою поверхность и вблизи стока стремится приобрести форму шара, а свободная поверхность жидкости - форму окружности".

Из математики известно, что дуга окружности всегда больше стягивающей ее хорды. Однако можно подобрать хорду такой длины, что она почти полностью сольется с дугой окружности, т.е., станет ее касательной. При этом нужно отметить, что чем боль-

ше радиус окружности, тем длиннее может быть такая хорда. Отмеченное обстоятельство объясняет, казалось бы, необъяснимый парадокс, когда одновременно имеют место два взаимоисключающих фактора:

1 - кривая депрессии грунтового потока "уширяется" в урез воды в дрене;

2 - над дреной образовалась высота нависания.

Наряду с означенным следует иметь в виду, что при движении жидкости в пористой среде вертикально вниз возникает боковое растекание ее за счет неоднородности грунта по плотности и механическому составу. С учетом этого фактора величина высоты нависания становится еще большей.

Расчеты показывают, что для определения высоты нависания можно принимать равенство хорды и дуги окружности при центральном угле в  $6^{\circ}$ . Допущенная при этом ошибка составляет

$$\left( \frac{0,1048R}{0,1046R} - 1,0019 \right) \text{ около } 0,2\%, \text{ что компенсируется боко-}$$

вым растеканием грунтового потока при движении его вниз.

Таким образом, математическая зависимость между хордой и дугой окружности, а также сформулированная выше закономерность движения жидкости в пористой среде могут быть использованы для определения высоты нависания грунтового потока при работе дрен и других гидротехнических сооружений.

Предположим, что форма кривой депрессии около дрены представляет собой дугу окружности радиуса  $R$ . Откосы дрены вертикальные и являются касательными к депрессионной кривой. Находим длину хорды, которая сливалась бы с дугой окружности. Пусть эта длина равна  $Z$ . Тогда высота нависания определится как половина хорды  $Z$ , т.е.  $H_0 = \frac{Z}{2}$  (см. рисунок).

Для оценки величины радиуса окружности, форму которой принимает свободная поверхность грунтового потока непосредственно около дрены, использован обширный материал разных авторов по определению высоты нависания. В результате обобщения теоретических и экспериментальных решений получены некоторые данные, позволяющие установить зависимость искомого  $R$  от природных факторов. Радиус окружности зависит от вели-

чины действующего напора, притока воды к дренажной системе, коэффициента фильтрации грунтов, площади стока и активной скважности грунтов. Зависимость эта выражается формулой:

$$R = \frac{Q \cdot H}{\omega \cdot t \cdot k},$$

где  $Q$  — приток воды к системе,  $\text{м}^2/\text{сут.}/\text{м}$ ;  
 $H$  — действующий напор, м;  
 $\omega$  — площадь стока, м;  
 $t$  — активная скважность (водоотдача) грунтов, в долях единицы;  
 $k$  — коэффициент фильтрации, м/сут.

Все параметры, определяющие радиус окружности, обычно известны при проектировании того или иного сооружения. Некоторую сложность представляет определение площади стока, так как участок нависания, будучи неизвестной величиной, также является частью площади стока.

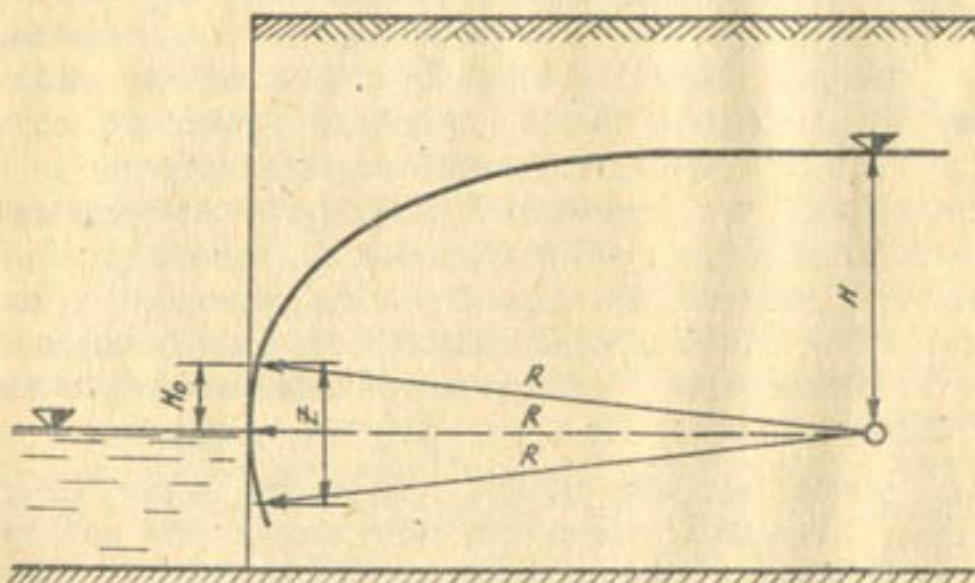


Схема определения высоты нависания при работе дрены с вертикальными откосами

С учетом этого обстоятельства для каждого вида дрен (в данной статье рассматриваются только дренажные системы) площадь стока определяется по особому, "своему" уравнению. При этом за основу берется принцип равенства давления жидкости на стени дрены по всему периметру водоприемной поверхности.

Приведем пример расчета площади стока открытой совершенной горизонтальной дрены с прямыми откосами. В грубом приближении принимаем, что скоростной напор одинаков по всему периметру водоприемной поверхности. Гидростатическое давление столба жидкости будет равно нулю в точке сопряжения кривой депрессии со стенкой дрены и величине  $H_0$  — от уровня воды в дрене до ее дна. Таким образом, площадь стока рассматриваемой дрены равна:  $\omega = H_0 + 2h$ , где  $h$  — глубина воды в дрене.

Аналогично найдем:

а) для горизонтальных открытых дрен с прямыми откосами при глубоком и промежуточном залегании водоупора:

$$\omega = H_0 + (2h + b),$$

где  $b$  — ширина дна дрены;

б) для вертикальной дрены:

$$\omega = \pi D \left( h + \frac{H_0}{2} \right),$$

где  $D$  — диаметр дрены;

в) для закрытой горизонтальной дрены, работающей полным сечением:

$$\omega = \pi d,$$

где  $d$  — диаметр дрены.

С учетом сказанного выше высота нависания определяется по следующей общей формуле:

$$H_0 = \frac{2\pi R}{360 \cdot \pi} b = \frac{\pi R}{60}, \text{ м.}$$

Для конкретных типов дрен формулы определения высоты нависания будут различными. Рассмотрим некоторые из них.

I. Для открытой дрены на водоупоре:

$$H_0 = \frac{\pi R}{60} = \frac{\pi Q H}{\omega \cdot t \cdot k \cdot 60}, \text{ но } \omega = H_0 + 2h,$$

тогда  $H_0 = \frac{\bar{J}QH}{(H_0 + 2h) \cdot m \cdot k \cdot 60}$ , или

$$H_0^2 + 2hH_0 - \frac{\bar{J}QH}{60 \cdot m \cdot k} = 0,$$

откуда

$$H_0(t, z) = -h \pm \sqrt{h^2 + \frac{\bar{J}QH}{60 \cdot m \cdot k}}.$$

Второй корень имеет отрицательное значение, что не имеет физического смысла и поэтому не рассматривается.

2. Для открытой дрены при промежуточном и глубоком залегании водоупора:

$$H_0 = \sqrt{(2h - \delta)^2 + \frac{\bar{J}QH}{60 \cdot m \cdot k}} - (2h + \delta).$$

3. Для вертикальной дрены:

$$H_0 = \sqrt{4h^2 + \frac{QH}{30 \cdot D \cdot m \cdot k}} - 2h.$$

4. Для закрытой горизонтальной дрены круглого сечения при глубоком и промежуточном залегании водоупора:

а) работавшей полным сечением:

$$H_0 = \frac{QH}{60 \cdot d \cdot m \cdot k},$$

б) наполовину заполненной водой:

$$H_0 = \frac{QH}{45 \cdot d \cdot m \cdot k}.$$

В ряде гидромеханических решений / 3, I, 4, 8 / для определения высоты написания над дренами получены следующие формулы:

а) для горизонтальных дрен при глубоком залегании водоупора:

$$H_0 = 0,17 \div 0,26 \frac{Q}{k};$$

б) для горизонтальных дрен при близком залегании водоупора:

$$H_0 = 0,37 \frac{Q}{k};$$

в) для скважин вертикального дренажа:

$$H_0 = \sqrt{(0,23 \ell_2 \frac{\sqrt{\frac{Q}{k}}}{2} - 0,51) \frac{Q}{k} + h_0^2} - h_0$$

Для сравнения приведем ряд примеров определения высоты написания над различными дренами:

а) открытая дрена на водоупоре с параметрами:

$$h = 0,5 \text{ м}, Q = 0,4 \text{ м}^3/\text{сут}/\text{м}, H = 0,5 \text{ м}, k = 3,0 \text{ м}/\text{сут}, m = 0,1.$$

По формуле:

$$H_0 = 0,37 \frac{Q}{k}$$

находим  $H = 0,05 \text{ м}$ .

По нашей формуле:

$$H_0 = \sqrt{h^2 + \frac{\bar{J}QH}{60 \cdot m \cdot k}} - h = \sqrt{0,25 + \frac{3,14 \cdot 0,4 \cdot 0,5}{60 \cdot 0,1 \cdot 3}} - 0,5 = 0,04 \text{ м}$$

б) открытая дрена при глубоком и промежуточном залегании водоупора с шириной по дну  $\delta = 1,0 \text{ м}$ , действующим напором  $H = 1,0 \text{ м}$ , дебитом  $Q = 1,7 \text{ м}^3/\text{сут}/\text{м}$ , остальные параметры — прежние.

По формуле:  $H_0 = 0,17 + 0,26 \frac{Q}{k}$

находим  $H_0 = 0,10 + 0,15 \text{ м}$ .

По нашей формуле:

$$H_0 = \sqrt{(2h + \delta)^2 + \frac{\bar{J}QH}{60 \cdot m \cdot k}} - (2h + \delta) = \sqrt{4 + \frac{3,14 \cdot 1,70 \cdot 1,0}{60 \cdot 0,1 \cdot 3}} - 2 = 0,08 \text{ м};$$

в) скважина вертикального дренажа с параметрами:

$$H = 10,0 \text{ м}, D = 1,0 \text{ м}, h = 20,0 \text{ м}, k = 15 \text{ м}/\text{сут}, m = 0,2.$$

По формуле И.А. Чарного, преобразованной В.М. Шестаковым:

$$H_0 = \sqrt{(1,73 \lg \frac{\sqrt{2500}}{0,5} - 0,51) \frac{2500}{15}} + 400 - 20 - 25,0 - 20 = 5,0 \text{ м.}$$

По нашей формуле:

$$H_0 = \sqrt{4 \cdot 400 + \frac{2500 \cdot 10}{30 \cdot 1,0 \cdot 0,20 \cdot 15}} - 40 = 3,5 \text{ м.}$$

Фактические величины написания по литературным источникам и материалам наших исследований при аналогичных параметрах удовлетворительно согласуются с данными расчетов по всем приведенным здесь формулам. Это дает основание считать приемлемой предложенную закономерность образования высоты написания грунтового потока при работе дренажных сооружений.

#### ЛИТЕРАТУРА

1. Аравин В.И., Нумеров С.Н. Теория движения жидкостей и газов в недеформируемой пористой среде. М., Гостехтеориздат, 1953.
2. Богомолов А.И., Михайлов К.А. гидравлика. М., Стройиздат, 1972.
3. Ведерников В.В. Теория фильтрации и ее применение в области ирригации и дренажа. М., 1939.
4. Веденников В.В. К теории дренажа. ДАН СССР, т. 59, № 6, 1948.
5. Кристеа Н. Подземная гидравлика. М., Гостоптехиздат, 1961.
6. Маскет М. Течение однородных жидкостей в пористой среде. М., Гостоптехиздат, 1949.
7. Павловский И.Н. Теория движения грунтовых вод под гидротехническими сооружениями и ее основные приложения. Изд. научно-мелиоративного института, 1922.
8. Полубарикова-Кочина П.Я. Теория движения грунтовых вод. М., Гостехтеориздат, 1952.
9. Троицкий С.В., Белицкий А.С., Чекин А.И. Общая и горнорудничная гидрогеология. М., Гостехиздат, 1960.

УДК 626.862.4

Инж.-гидромелиоратор В.Н. ЧАВЫШИН,

инженер-гидротехник

Л.В. МАМЕДОВА, М.И. АНДРЕЕВА

#### ОПРЕДЕЛЕНИЕ ПАРАМЕТРОВ ЗАКРЫТЫХ ДРЕНАЖНЫХ СООРУЖЕНИЙ С ПРЕРЫВИСТОЙ ФИЛЬТРОВОЙ ЗОНОЙ

Основная цель дренажа — обеспечение максимально возможного эффекта при минимальных затратах средств и материальных ресурсов.

В соответствии с нормами Минводхоза СССР<sup>\*</sup> при определении расчетных величин водозахватной способности дренажа исходят из необходимости отвода расчетного стока только за вегетационный период. При этом все расчетные параметры дренажа определяют из условий установившегося режима. В действительности дренаж работает в неустановившемся режиме, как правило, круглогодично в условиях непрерывного изменения действующего напора и соответственно — дренажного стока.

На основании перспектив строительства дренажа в Туркменской ССР<sup>\*\*</sup> налаживается массовый выпуск гончарных труб на Байрам-Алийском (500 км труб в 1976 г.) и Чардауском (1075 км труб — проектная мощность) заводах при отсутствии требуемого количества высококачественных фильтровых материалов, что может привести к снижению темпов строительства дре-

\* ВСН-П-8-74. Инструкция по проектированию оросительных систем, часть УШ. Дренаж на орошаемых землях. М., 1975.

\*\* Ожидаемые объемы строительства дренажа в Туркменской ССР: плановая протяженность закрытого дренажа на 1976 год 350 км, на 1977 г. — 400, 1978 г. — 650, 1979 г. — 970 и 1980 г. — 1350 км; всего за пятилетие 3720 км.

нажа. Проведенные нами исследования показали, что потребность в фильтровых материалах для дренажа может быть снижена почти в два раза (при незначительном снижении водозахватной способности дрен) при условии учета его реальной работы за счет создания фильтровой зоны "прерывистого" типа. В зависимости от имеющихся фильтровых материалов прерывистая фильтрованная часть выполняется в виде фильтровой защиты только в зоне стыка гончарных труб, с применением пористых вставок из керамзитобетона или муфт из минерального волокна. При строительстве дрен могут применяться самые разнообразные трубы - полимерные (общей длиной до 6,0 м), асбосцементные безнапорные (длиной 3,0 и 4,0 м), керамические канализационные раструбные (длиной 1,2 м), а также гончарные раструбные (длиной 0,6 - 0,8 - 1,0 м).

В наших исследованиях рассматривались диаметры дренажных труб 150, 300 и 500 мм, изменение их длины в пределах 0,6 : 0,8 : 1,0 ; 1,2 ; 1,5 и 3,0 м и длина прерывистой фильтровой зоны в следующем диапазоне:

Шаг фильтра, м	Длина фильтра, м
3,0	0,3-0,6-0,9 и 1,5
1,5	0,15-0,30-0,45 и 0,75
1,2	0,12-0,24-0,36 и 0,60
1,0	0,025-0,05-0,15-0,25 и 0,50
0,8	0,08-0,16-0,24 и 0,40
0,6	0,01-0,02-0,10 и 0,30

Исследования проводились на пространственной электролитической модели ЭГДА в масштабе 1 : 10 (частота 1000 Гц, напряжение 7,5 в, проводящая среда - дистилированная вода). Модели дрен выполнены из меди с соответствующим покрытием электроизоляционным лаком. Методика исследований соответствует принятой для данного способа моделирования. На модели дрены измерялась величина силы тока при постоянном значении удельного сопротивления электролита.

За водозахватную способность пористой дрены (совершенной по степени вскрытия пластика) принималась величина силы тока изолированной модели определенного диаметра при соответствующем удельном сопротивлении электролита и напряжении тока.

Некоторые результаты обработки экспериментов при использовании труб длиной 1,0 м представлены на рис. 1 и 2 в виде графика зависимости относительного расхода дрени  $\bar{Q}$  от ширины слоя фильтрового покрытия  $\ell$ . Здесь принято, что  $\bar{Q} = \frac{Q_e}{Q_{\text{пор}}}$ .

где  $Q_e$  - расход дрени с шириной фильтрового покрытия, равной  $\ell$  ( $\ell = 0,025 - 0,05 - 0,15 - 0,25$  и 0,50 м);

$Q_{\text{пор}}$  - расход дрени с сплошным фильтром (при  $\ell = 1,0$  м). Анализ приведенной зависимости показывает, что с учетом реальной технологии строительства и возможных для применения в качестве фильтровых зон материалов целесообразно принимать длину прерывистой фильтровой части дрен разной (в среднем) половины длины дренажной трубы. Причем шаг прерывистости (расстояние по оси фильтровых зон дрени) не должен превышать 1,2 м, поскольку при большей длине шага водозахватная способность дрени снижается на 18-25 %, что недопустимо.

Оптимальным можно считать использование дренажных труб при устройстве фильтрового покрытия в области их стыка (или шага прерывистости) в пределах 1,0 - 1,2 м с шириной слоя фильтра 0,5 - 0,6 м, при использовании пористых вставок из керамзитобетона и гончарных раструбных труб размером 0,6 - 1,0 м. При меньших размерах фильтровых зон (0,5 длины тру-

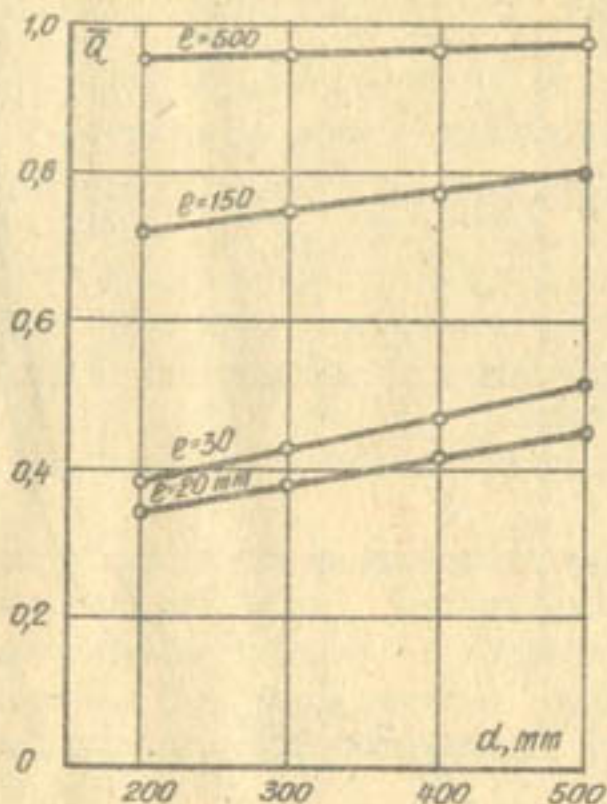


Рис. I. Влияние длины прерывистого фильтрового слоя на расход дрени:  
— относительный расход дрени; — длина фильтрового слоя, мм; — диаметр дрен, мм

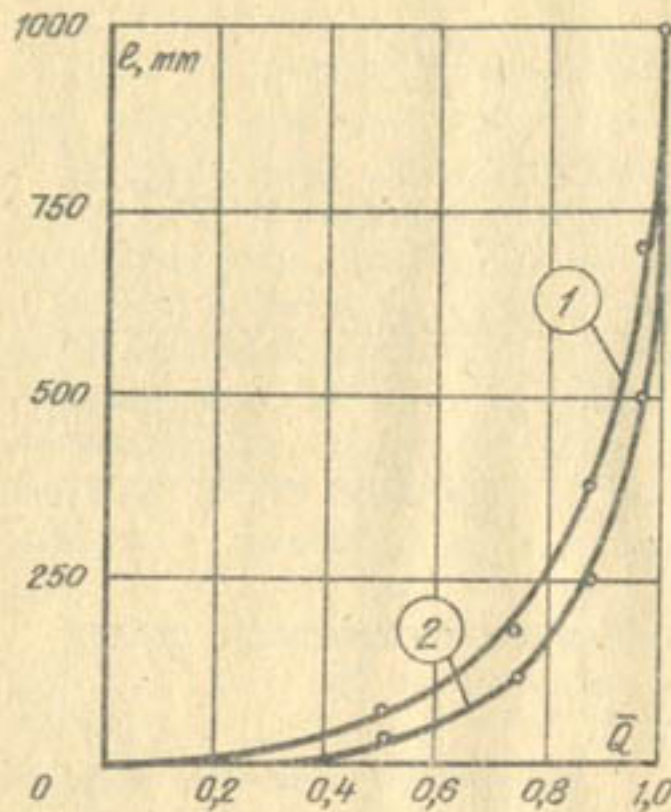


Рис. 2. Влияние диаметра дренажных труб на расход дрена с прерывистым фильтром при шаге прерывистости 1,0 м:  $\bar{Q}$  — относительный расход дрена;  $l$  — длина фильтрового слоя, мм; 1 — при диаметре дрена 200 мм; 2 — при диаметре дрена 500 мм

льты (пористые вставки-муфты). Из этих материалов может выполняться прерывистая фильтровая защита для всех типов труб (гончарные, керамические, асбосцементные и полимерные).

Трубофильтры на базе местного производства вслученного аргилита должны выполняться в соответствии с ВСН-02-65 и удовлетворять проектным требованиям ВСН-П-8-74.

Производственные типы дрен с прерывистым фильтром могут быть применены как при укладке вручную (метод "полки"), так и механизированным способом. Конструкции таких дрен разработаны

в двух вариантах: создание фильтровой защиты из волокнистых материалов и фильтровой зоны из пористых трубофильтровых вставок. Если первый вариант целесообразно применять при любых типах дренажных труб, то второй вариант (пористые вставки) — в основном только при строительстве дрен с использованием гончарных раструбных труб длиной 0,6-0,8-1,0 м и керамических канализационных труб длиной 1,2 м. Применение второго варианта позволяет снизить потребность в гончарных трубах на 25-30 %, что несомненно эффективно в настоящее время, так как стоимость гончарных труб, выпускаемых в Туркменской ССР, пока высокая — около 2,4 руб. за 1 пог. м. В связи с этим стоимость пористых вставок дешевле стоимости гончарных труб.

Разработанные два типа дрен с прерывистой фильтровой частью предлагаются для опытно-производственных исследований как наиболее отвечающие нашим местным условиям. Ожидаемый экономический эффект от применения дрен с прерывистой фильтровой зоной на каждые 100 м построенного дренажа такого типа составляет 22,6-25,6 тыс. руб.

УДК 626.862.4

Инж.-гидромелиоратор В.Н. ЧАВЫКИН,  
инженеры-гидротехники  
Л.В. МАМЕДОВА, М.М. АНДРЕЕВА

#### ХИМИЧЕСКАЯ СТОЙКОСТЬ МЕСТНЫХ ФИЛЬТРОВЫХ МАТЕРИАЛОВ И ИХ ПРИМЕНЕНИЕ В ДРЕНАЖЕ

В настоящее время находят широкое применение в дренаже неорганические волокнистые материалы на основе базальтового, стеклянного и других типов волокон [4]. С 1973 г. в ССР

действует ОСТ 33-10-73 [3], регламентирующий требования, предъявляемые к таким типам материалов. В данный ОСТ изделия из волокнистых материалов на основе минерального волокна, вырабатываемого из отходов предприятий стройиндустрии и горных пород типа известника, доломита и т.п., не были включены по причине недостаточной изученности их химической стойкости в агрессивной среде.

По данным ВНИИТеплоизоляции [1], в СССР к началу 1975 г. таких волокнистых материалов вырабатывалось более 50 % всего объема изделий, выпускаемых Министерством стройматериалов СССР. Основное преимущество минерально-волокнистых материалов перед другими, исключенными в ОСТ 33-10-73, заключается в том, что они на 30-70 % дешевле. Это предопределяет хорошую экономическую эффективность их применения в дренаже при достаточной химической стойкости.

В Средней Азии также материалы вырабатываются в Туркменской и Узбекской ССР. В Туркменистане Безменским комбинатом стройматериалов выпускаются изделия из минерально-волокнистых материалов в виде прошивных матов по МРТУ 7-19-68 и минеральных плит марки ПМ по ГОСТу 9573-66.

Отличительная особенность данных материалов по сравнению с другими, рекомендуемыми к применению ОСТом 33-10-73, заключается в значительном содержании в них окиси кальция - 24-35 %, а кремнезема - в пределах 42-47 %. Волокнистые материалы, рекомендуемые стандартом, содержат не более 19 % окиси кальция и не менее 60 % кремнезема. При применении в дренаже волокнистые материалы работают в условиях непрерывной фильтрации агрессивных грунтовых вод, испытывая воздействие многокомпонентных реакционных растворов с изменяющейся во времени концентрацией, скоростью проходящего потока и его температурой.

Известно, что при миграции растворов в земной коре протекают главным образом гетерогенные химические реакции между мигрирующим веществом и вмещающими породами. В гетерогенных процессах реагирующие вещества находятся в разных фазах, так что реакция идет только на границе фаз. И все это сильно усложняется факторами, связанными с транспортированием раство-

ренного вещества в зону реакции. Характер такой гетерогенной реакции включает в себя несколько стадий. В частности, если жидкий раствор реагирует с твердым телом на поверхности, процесс складывается из подхода вещества к поверхности, акта химического взаимодействия и отвода вещества, образованного в результате реакции, в объем раствора.

Процессы транспортирования веществ осуществляются за счет разности концентраций в объеме раствора и на реакционной поверхности, т.е. молекулярной диффузией или (при наличии потока реагирующих веществ) конвективной диффузией.

Суммарная скорость гетерогенного процесса определяется скоростями протекания отдельных стадий. Однако, если скорость одной из стадий много меньше, чем других, то скорость процесса определяется скоростью медленной стадии.

Исследования, проведенные Н. Лахавой в 1964 г. по определению коэффициента диффузии  $Ca$  в твердой фазе для минералов кальцита, доломита и  $CaCO_3$ , показали, что коэффициент диффузии  $Ca$  имеет порядок  $D = 10^{-20} \text{ см}^2/\text{с}$ .

Таким образом, в реальных условиях работы волокнистых материалов в дренаже суммарная скорость гетерогенного процесса определяется диффузией гидратируемых элементов и сам процесс протекает в диффузационной или переходной области.

Оценка химической устойчивости местных минерально-волокнистых материалов проводилась "порошковым" методом по ГОСТу 101134-62 и методом "волокон" по методике А.Ф. Зака [2] с учетом специфики их работы в дренаже.

Анализ минерализации грунтовых вод и их солевого состава по всем оазисам Туркменской ССР показал, что в Ташаузском оазисе минерализация грунтовых вод в основном не превышает 35 г/л, в Чарджоуском - 22, в Мургабском - 35, в Тедженском - 85-90 г/л. В ионном составе преобладают хлор и сульфат, а из катионов - натрий и магний, хотя соотношения их в каждом из оазисов различные. Все эти элементы оказывают определенное реакционное воздействие за счет изменения ионной силы раствора, которая прямо пропорциональна концентрации их в растворе и зависит от характера преобладающих в нем ионов. Так, например, для ионов  $Na^+$  коэффициент активности равен 0,016,

а для  $Mg = 0,17$ , т.е. в 10 раз больше. Поэтому были выбраны составы дренажных вод с наибольшей ионной силой и приготовлены в лаборатории. В общем по разным оценкам величина ионной силы растворов изменяется от 0,02 до 1,91, т.е. почти в 100 раз.

Эксперименты проводились в лабораторных условиях на специальной установке, позволяющей в течение длительного времени изучать действие агрессивных вод на испытуемые материалы при значительных скоростях фильтрации, соответствующих натурным условиям. При этом были применены грунтовые воды с минерализацией 30, 60 и 120 г/л и алементарным составом, соответствующим одинаковой величине ионной силы, а также обычная оросительная и дистилированная вода.

В качестве контрольных применялись изделия из волокнистых материалов, рекомендованных ОСТом 33-10-73, в частности, Меребинского и Саратовского заводов, а также песчано-гравийные материалы, применяемые в настоящее время при строительстве дренажа в Туркменской ССР. Исследования проведены с материалами Джебельского, Балекского и Безманинского карьеров, а также туркменским базальтом и аргиллитом.

Динамика выщелачивания кальция и магния рассчитывалась по результатам определения выхода их из испытуемых материалов химическим методом и методом пламенной фотометрии на ФПИ, а кремнезема - фотокалориметрическим методом на ФЭК-60.

Исследованиями подтверждено значительное влияние величины реакционной поверхности (РП) на растворение силикатных систем. Однако величина РП сложным образом зависит от исходного химического состава материала и соотношения между объемом раствора и исследуемого вещества. Так, при увеличении РП в 10 раз выход кремнезема из базальтов возрастает в 2,2 раза, а из аргиллитов - в 1,2 раза. С учетом этого исследования проводились при величине реакционной поверхности, равной  $1000 \text{ см}^2$ , одинаковой для всех образцов.

По результатам исследований химическая устойчивость материалов, используемых в дренаже, уменьшается по следующему ряду: аргиллиты, балекская смесь, базальт, минеральное волокно, джебельская смесь. Данный ряд составлен по динамике гидрат-

ции кремнезема этих материалов, определяющего изменчивость их основных прочностных и фильтрационных свойств. Полевая проверка химической устойчивости местных минерально-волокнистых материалов проведена на участке дрен из таких материалов, построенном в 1968 г. Ташаузским опорным пунктом. Сравнительный анализ химического состава минерального волокна до укладки в дренаж и через девять лет работы показал, что практически существенного изменения его не произошло при минерализации грунтовых вод до 20 г/л.

Таким образом, результаты проведенных нами исследований показали, что местные минеральные волокнистые материалы, содержащие окись кальция в пределах до 35 %,  $SiO_2$  - не менее 40 % при модуле кислотности не менее 1,2, обладают достаточной стойкостью и могут быть применены для фильтровой защиты дрен. Включение этих материалов в действующий ОСТ 33-10-73 практически в два раза расширит номенклатуру волокнистых материалов, которые могут быть применены в водохозяйственном и мелиоративном строительстве в условиях аридной зоны ССР.

Общий объем выпуска местных изделий из искусственных минерально-волокнистых материалов составляет около 100 тыс.  $\text{м}^3$  ежегодно. Учитывая, что они не соответствуют требованиям ОСТа 33-10-73, были проведены исследования их основных свойств в лабораторных и полевых условиях Ташаузским опорным пунктом и Каракумской опытно-мелиоративной станцией ТуркменНИИГиМа. Исследования показали, что деформативные и фильтрационные свойства местных волокнистых материалов несколько отличаются от рекомендованных ОСТом 33-10-73 (табл. I). Различие в свойствах в основном определяется технологией получения изделий и видами связующего и замасливателя.

Лабораторные исследования супфозионных и колматационных свойств волокнистых материалов проводились как на плоских фильтрационных моделях, так и на крупноразмерном лотке с учетом влияния грунта нарушенной структуры обратной засыпки дренажной траншеи. Исследования подтвердили достаточно устойчивую работу таких фильтровых материалов и в песчаных, и в связанных грунтах нарушенной структуры, имеющих определенную величину плотности и влажности.

Таблица I

Изменение основных параметров волокнистых фильтровых материалов от сжимающей нагрузки

Основные параметры фильтра	Нагрузка, кг/см <sup>2</sup>				
	0,25 : 0,50 : 0,75 : 1,01 : 1,5				
Объемный вес по ОСТу 33-10-73, кг/м <sup>3</sup>	150	240	280	320	350
Объемный вес матов, кг/м <sup>3</sup>	370	440	500	550	630
Объемный вес плит марки ПМ, кг/м <sup>3</sup>	240	310	330	370	400
Коэффициент фильтрации по ОСТу 33-10-73, см/с	0,46	0,29	0,23	0,18	0,15
Коэффициент фильтрации матов, см/с	0,07	0,04	0,03	0,025	0,018
Коэффициент фильтрации плит марки ПМ, см/с	0,38	0,22	0,17	0,13	0,10

Применение минеральных волокнистых материалов в контакте с неуплотненными пересушенными грунтами нарушенной структуры (обратная засыпка дрен), а также с разжиженными связями грунтами приводит к тому, что фильтр из таких материалов снижает свою фильтрационную способность. Ниже приведены данные об изменении величины коэффициента фильтрации по толщине слоя фильтра для двух образцов из минеральных плит марки ПМ с начальной толщиной 100 мм и рабочей толщиной 25 и 17 мм (табл. 2) в процессе укладки в разжиженный грунт.

Учитывая, что в настоящее время отсутствуют механизмы для уплотнения обратной засыпки, и в районах строительства дренаажа имеется в неограниченном количестве барханный песок, необходимо проводить дополнительную обсыпку дрен таким песком, так как его коэффициент фильтрации больше 1,6-1,8 м/сут. Коэффициент фильтрации грунтов дренируемой толщи не превышает 0,4-0,8 м/сут.

Полевые исследования дрен с волокнистым фильтром и дополнительной обсыпкой барханным песком, проведенные Каракумской опытно-мелиоративной станцией ТуркменНИИГиМа, показали их

достаточную эффективность.

Исследования климатической стойкости местных волокнистых материалов проведены в соответствии с ГОСТом 16350-70 и ГОСТом 17332-71 с учетом специфики условий их работы в дренаже.

Использовалась климатическая камера "Фейтрон 3001-01", с проверкой изменения свойств волокнистых изделий на прочность и деформативность через 10-50-100-200-300-500 циклов. Результаты оценки климатической стойкости минерального волокна (ГОСТ 4640-66), соответствующие его применению в дренаже, удовлетворительны.

Таким образом, при строительстве мелиоративного дренаажа в Средней Азии могут применяться изделия из искусственных волокнистых материалов в виде прошивных матов и минероловатных плит марки ПМ, выпускаемых по ГОСТу 9573-66 и МРТУ 7-19-68, хотя последние и не включены в ОСТ 33-10-73.

#### ЛИТЕРАТУРА

1. Анчилов А.Я. Состояние и перспективы развития эффективных теплоизоляционных материалов. "Строительные материалы", 1974, № 7.
2. Зак А.Ф. Физико-химические свойства стеклянного волокна. М., Ростехиздат, 1962.

Таблица 2

Изменение коэффициента фильтрации по толщине закольматированного фильтра из минволовка

Расчетный слой фильтра:	Коэффициент фильтрации, м/сут.
Исходная величина	140,0
Контакт с дренажной трубой, 0 мм	32,0
Через 5 мм	18,0
Через 10 мм	17,0
Через 15 мм	9,0
Через 20 мм	4,0
Контакт с грунтом: 25 мм/17 мм	0,8
	0,4
	0,6

Примечание. В числителе приведены данные по образцу № 1, в знаменателе - по образцу № 2.

Таблица I

Изменение основных параметров волокнистых фильтровых материалов от сжимающей нагрузки

Основные параметры фильтра	Нагрузка, кг/см <sup>2</sup>				
	0,25 : 0,50 : 0,75 : 1,01 : 1,5				
Объемный вес по ОСТу 33-10-73, кг/м <sup>3</sup>	150	240	280	320	350
Объемный вес матов, кг/м <sup>3</sup>	370	440	500	550	630
Объемный вес плит марки ПМ, кг/м <sup>3</sup>	240	310	330	370	400
Коэффициент фильтрации по ОСТу 33-10-73, см/с	0,46	0,29	0,23	0,18	0,15
Коэффициент фильтрации матов, см/с	0,07	0,04	0,03	0,025	0,018
Коэффициент фильтрации плит марки ПМ, см/с	0,38	0,22	0,17	0,13	0,10

Применение минеральных волокнистых материалов в контакте с неуплотненными пересушенными грунтами нарушенной структуры (обратная засыпка дрен), а также с разжиженными связанными грунтами приводит к тому, что фильтр из таких материалов снижает свою фильтрационную способность. Ниже приведены данные об изменении величины коэффициента фильтрации по толщине слоя фильтра для двух образцов из минеральных плит марки ПМ с начальной толщиной 100 мм и рабочей толщиной 25 и 17 мм (табл. 2) в процессе укладки в разжиженный грунт.

Учитывая, что в настоящее время отсутствуют механизмы для уплотнения обратной засыпки, и в районах строительства дренаажа имеется в неограниченном количестве барханный песок, необходимо проводить дополнительную обсыпку дрен таким песком, так как его коэффициент фильтрации больше 1,6-1,8 м/сут. Коэффициент фильтрации грунтов дренируемой толщи не превышает 0,4-0,8 м/сут.

Полевые исследования дрен с волокнистым фильтром и дополнительной обсыпкой барханным песком, проведенные Каракумской опытно-мелиоративной станцией ТуркменНИИГиМа, показали их

достаточную эффективность.

Исследования климатической стойкости местных волокнистых материалов проведены в соответствии с ГОСТом 16350-70 и ГОСТом 17332-71 с учетом специфики условий их работы в дренаже.

Использовалась климатическая камера "Файтрон 3001-01", с проверкой изменения свойств волокнистых изделий на прочность и деформативность через 10-50-100-200-300-500 циклов. Результаты оценки климатической стойкости минерального волокна (ГОСТ 4640-66), соответствующие его применению в дренаже, удовлетворительны.

Таким образом, при строительстве мелиоративного дренажа в Средней Азии могут применяться изделия из искусственных волокнистых материалов в виде прошивных матов и минераловатных плит марки ПМ, выпускаемых по ГОСТу 9573-66 и МРТУ 7-19-68, хотя последние и не включены в ОСТ 33-10-73.

Таблица 2

Изменение коэффициента фильтрации по толщине закольматированного фильтра из минволовокна

Расчетный слой фильтра:	Коэффициент фильтрации, м/сут.
Исходная величина	140,0
Контакт с дренажной трубой, 0 мм	30,0
Через 5 мм	18,0
Через 10 мм	17,0
Через 15 мм	9,0
Контакт с грунтом: 25 мм/17 мм	4,0
	2,8
	0,8
	0,4
	0,6

Примечание. В числителе приведены данные по образцу № 1, в знаменателе - по образцу № 2.

#### ЛИТЕРАТУРА

1. Анчилов А.Я. Состояние и перспективы развития эффективных теплоизоляционных материалов. "Строительные материалы", 1974, № 7.
2. Зак А.Ф. Физико-химические свойства стеклянного волокна. М., Ростехиздат, 1962.

З. О С Т 33 - 10 - 73. Фильтры дренажные из искусственных минеральных волокнистых материалов. М., 1973.

4. Пивовар Н.Г. Дренаж мелиоративных систем и гидротехнических сооружений с фильтрами из искусственных волокнистых материалов. Автореферат докторской диссертации. Минск, 1975.

УДК 626.8:69.03

Инженеры В.Н. МАМЕДОВ,  
О. БИШИМОВ

СОВЕРШЕНСТВОВАНИЕ СТРОИТЕЛЬСТВА  
ЗАКРЫТОГО ГОРИЗОНТАЛЬНОГО ДРЕНАЖА  
В ТУРКМЕНСКОЙ ССР

Темпы строительства закрытого горизонтального дренажа в Туркменской ССР очень низкие. На 1 января 1978 г. вместо требуемых по плану прироста орошаемых земель 7,4 тыс. км закрытых дрен построено всего около 1,5 тыс. км. Одной из основных причин отставания в этом виде мелиоративного строительства является применение в течение длительного времени в республике только малопроизводительного способа открытой укладки дрен, при котором отрывка траншей и ее засыпка осуществляются механизированно, а трудоемкие процессы по подготовке основания, укладке фильтра и труб - вручную.

В настоящее время укладка дрен на орошаемых землях при высоком уровне стояния грунтовых вод и наличии по трассе мелководернистых и пылеватых грунтов выполняются двумя способами (табл. I) - открытым (метод на "полку") и комплексно-механизированным с использованием дреноукладчиков Д-659Б. Строительство дрен открытым способом выполняется в обрушающихся и

опыльвающих грунтах. Дреноукладчики применяются при наличии сухих устойчивых и обрушающихся грунтов.

Таблица I  
Технико-экономические показатели  
способов строительства закрытого  
горизонтального дренажа в Туркменской ССР

Показатели	Метод на "полку": Комплексно-механизированный способ				
	в оползывающихся грунтах	в обрушающихся грунтах	в оползывающихся грунтах	в обрушающихся грунтах	в оползывающихся грунтах
Производительность, м/смен	53	40	160	160	
Годовая выработка: нормативная, м/год	11000	8000	24000	24000	
достигаемая в республике, м/год	18000	8000	12000	-	
Средняя удельная протяженность дрен, м/га	35	35	35	35	
Стоимость строительства 1 м, руб/м	16	24	7	14	
Средняя стоимость дренирования одного гектара, руб/м	560	870	245	490	

ТуркменНИИГиМ разработал технологию строительства закрытого дренажа в оползывающих грунтах с предварительным водопонижением по трассе легкими иглофильтровыми установками. Однако этот способ не нашел широкого применения из-за отсутствия в республике установок по заглублению и извлечению иглофильтров, необходимых для комплексной механизации процесса водопонижения, и совершенного водопонизительного оборудования в нужном количестве. Поэтому укладка дрен в водонасыщенных грунтах выполняется в основном открытым способом - в связи с его универсальностью.

В строительных организациях Туркменской ССР имеется 12

Таблица 2  
Основные технико-экономические показатели  
процесса укладки дрен бестраншейным способом

Показатели	Группа грунтов		
	I	II	III
Средне-максимальная твердость грунта, удар	4	8	15
Тяговое сопротивление при глубине резания 2,5 м, т.с.	35	50	90
Потребное тяговое усилие деноукладчика, т.с.	52	65	101
Необходимое количество тракторов ДЭТ-250, шт.	2	3	4
Скорость укладки, м/мин	25,3	17,6	11,5
Производительность, м / смену	2240	2000	1680
Годовая выработка, м/год:			
с гравийным фильтром	250000	223200	187500
с тканевым фильтром	375000	338000	281200
Удельная протяженность дрен, м/га	100	150	167
Стоимость укладки 1 м, руб.:			
с гравийно-песчаным фильтром	5,62	5,5	5,5
с тканевым фильтром	4,4	4,4	4,4
Стоимость 1 га дrenирования, руб.:			
с гравийно-песчаным фильтром	550	885	918,5
с тканевым фильтром	470	660	735

деноукладчиков Д-659Б, в том числе в "Главкаракумстрое" 10 машин. Для выполнения требуемых объемов строительства дренажа такое количество деноукладчиков явно недостаточно. С учетом достигнутой годовой выработки необходимо 69 машин, из которых 35 должны эксплуатироваться в зоне Каракумского канала. Однако увеличение парка деноукладчиков и водопонижательного оборудования ограничено возможностями заводов-изготовителей. Поэтому возникает необходимость применять на строительстве закрытого горизонтального дренажа в специфических условиях Туркменской ССР новые более эффективные

способы укладки дрен. Одним из таких способов является бестраншейный, разработанный ЕНИИГиМом совместно с "Голодностельстрой" (табл. 2)/1.4/.

Как видно из табл. 1 и 2, применение разработанной ЕНИИГиМом технологии бестраншейного строительства закрытого горизонтального дренажа в условиях Туркменской ССР, где эффективность работы дрен обеспечивается среднегодовым модулем дренажного стока 0,14-0,2 л/с/га, в некоторых случаях экономически нецелесообразно. Уменьшение удельной протяженности дрен на 1 га возможно путем увеличения их водозахватной способности, ликвидации уплотнения грунта в придреновой области, что в свою очередь требует изменения технологии бестраншейного строительства дренажа и конструкции рабочего органа. С изменением конструкции рабочего органа в целях увеличения диаметра укладываемых труб и размеров фильтрационной обоймы значительно возрастает сопротивление продвижению рабочего органа в грунте, потребное количество тракторов и, как следствие, стоимость укладки дрен.

Стендовые исследования, выполненные ТуркменНИИГиМом в 1976-1977 гг., свидетельствуют о возможности уменьшения усилия резания путем подачи сжатого воздуха в зону резания. В отличие от известных в СССР и за рубежом технических решений, связанных с созданием воздушной прослойки между грунтом и режущим органом, т.е. газовой смазки, ТуркменНИИГиМ проводит исследования по изучению разрушения грунта путем нагнетания воздуха в его поры. Опыты показали, что снижение усилия резания

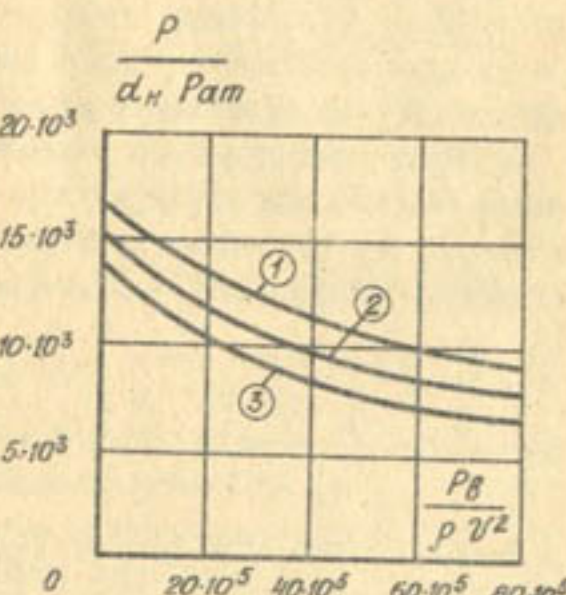


Рис. I. График зависимости  
1 - при  $\lambda=90^\circ$ ; 2 -  
при  $\lambda=60^\circ$ ; 3 - при  $\lambda=$   
 $37^\circ$ .

суглинистых грунтов (30–50 %) при работе ножей с воздушными струйами на глубине 600 мм наблюдается при увеличении давления в воздушной системе до 0,5 МПа и расходе воздуха до  $21,32 \frac{\text{м}^3}{\text{час}}$ . При дальнейшем увеличении этих параметров уменьшение усилия резания происходит менее интенсивно. Это объясняется тем, что при давлении 0,5 МПа и расходе воздуха  $21,32 \frac{\text{м}^3}{\text{час}}$  происходит отрыв грунтового блока от основного массива грунта. Нож бестраншейного дреноукладчика в этом случае, оказывая давление лобовой гранью на отделившийся блок, выталкивает его по линии скольжения образовавшегося откоса. Движение грунтового блока по откосу сопровождается его разрушением по линиям скольжения.

При таком характере разрушения грунта отсутствуют пластические деформации и, как следствие, уплотнение грунта в нижней части ножа. Образование щели вдоль линии скольжения грунтового блока сопровождается выходом воздуха в атмосферу и снижением эффективности его воздействия на грунт. Поэтому при дальнейшем увеличении давления в воздушной системе и расхода воздуха уменьшение усилия резания суглинистых грунтов на глубине 600 мм происходит менее интенсивно.

В целях практического использования результатов исследований разработаны критерии подбора процесса взаимодействия дренеров бестраншейных дреноукладчиков, оборудованных газоструйными аппаратами, с грунтом [2, 3]:

$$\frac{P}{P_{atm} \cdot d_H^2} = f\left(\frac{P_{vозд}}{P \cdot v}\right), \quad (I)$$

где  $P_{atm}$  — атмосферное давление, МПа;  $d_H$  — диаметр насадка газоструйной системы, см;  $P_{возд}$  — давление в воздушной системе, МПа;  $\rho$  — плотность воздуха при атмосферном давлении;  $v$  — скорость движения дреноукладчика, м/с.

Приведенные графики зависимости (I) для разных углов резания (рис. I) позволяют определить требуемое давление в воздушной системе при заданных значениях диаметра насадка и скорости продвижения дреноукладчика. Для определения требуе-

мого расхода воздуха построена зависимость:

$$\frac{P}{P_{возд} H^2} = f\left(\frac{Q}{H^2 v}\right) \quad (2)$$

где  $P_{возд}$  — давление в воздушной системе, МПа;  $H$  — глубина укладки дрен, м;  $Q$  — расход воздуха,  $\text{м}^3/\text{ч}$ ;  $v$  — скорость движения дреноукладчика, м/с.

Графики зависимости (2) для разных углов резания приведены на рис. 2.

Рабочий орган бестраншейного дреноукладчика, оборудованный струйной системой, необходимо выполнить трехступенчатым. При работе такого органа 30 первой ступенью (верхней), необорудованной газоструйной системой, грунт частично выносится на поверхность и частично уплотняется в стенки траншеи. Вторая ступень, выполненная по ширине меньше первой, высотой не более 60 см, оборудована газоструйной системой, что позволяет направить срезаемый ею грунт в пазухи верхней ступени. Третья ступень высотой не более 40 см оборудована газоструйной системой, изготавливается уже второй, поэтому срезаемый ею грунт направляется в пазухи второй, а затем и в свои пазухи. Разрушение грунта газоструйной системой, которой оборудованы две ступени рабочего органа, позволит значительно снизить потребное тяговое усилие продвижению дренеров в грунте, его уплотнение в придреновой области и повысит эффективность дрен.

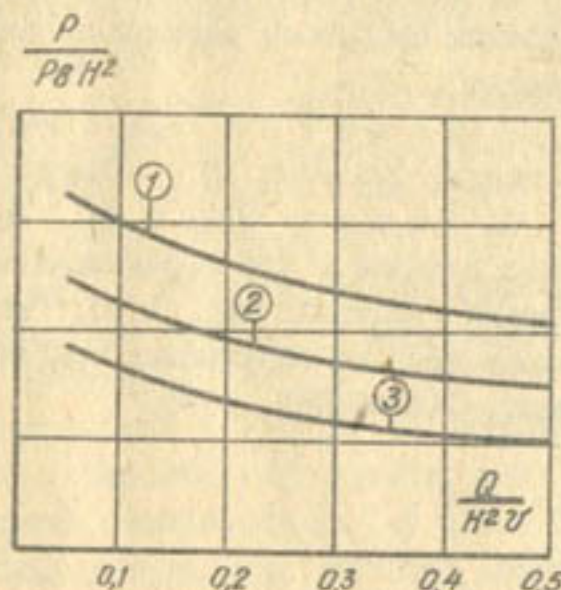


Рис. 2. График зависимости

- 1 — при  $\alpha = 90^\circ$ ;
- 2 — при  $\alpha = 60^\circ$ ;
- 3 — при  $\alpha = 37^\circ$ .

Ожидаемый экономический эффект от разработанного способа строительства дренажа составляет 1194516 руб.

#### ЛИТЕРАТУРА

1. Антонов В.И. Пластмассовый дренаж в Голодной степи. В сб.: "Исследование прогрессивных способов дrenажа засоленных земель Средней Азии". Вып. II, Ташкент, САОВАСХНИИ, 1975.

2. Баловинев В.И. Методы физического моделирования рабочих процессов дорожно-строительных машин. М., "Машиностроение", 1974.

3. Зехеиник А.Н. Основы разрушения грунтов механическим способом. И., "Машиностроение", 1968.

4. Томини Е.Д. и др. Бестраншейный способ строительства дренажа и его эффективность в условиях высокого стояния уровня грунтовых вод. В сб.: "Исследование прогрессивных способов дренажа засоленных земель Средней Азии", вып. II, Ташкент, САОВАСХНИИ, 1975.

УДК 626.862.4

Канд. с.-х. наук О. НАЗАРМАМЕДОВ,  
инж.-гидрогеолог Б. ИБРАИМОВ

#### ОПЫТ СТРОИТЕЛЬСТВА ВЕРТИКАЛЬНОГО ДРЕНАЖА В МУРГАБСКОМ ОАЗИСЕ

Мургабский оазис занимает почти 35 % орошаемой площади Туркменской ССР и является основным районом по возделыванию тонковолокнистых сортов хлопчатника. В настоящее время здесь орошается 276,3 тыс.га земель и создана крупная оросительная

система.

В последние годы в связи с расширением орошаемых площадей и увеличением водоподачи наблюдается рост площадей с близким залеганием грунтовых вод. Например, по данным И.С. Рабочева и Н.М. Скоркиной [2], до строительства Каракумского канала км. В.И. Ленина (1958 г.) вследствие низкого коэффициента земельного использования (0,3) и переложной системы землепользования площадь земель с глубиной залегания грунтовых вод до 3 м составила 1142 км<sup>2</sup>. В 1974 г. в связи с ростом площадей орошаемых земель и с увеличением коэффициента земельного использования (до 0,4-0,5) площадь с глубиной залегания грунтовых вод менее 3 м достигла 1786 км<sup>2</sup> [1].

Для предотвращения засоления орошаемых земель в Мургабском оазисе с 1965 г. началось интенсивное строительство коллекторно-дренажной сети. Улучшение состояния орошаемых земель в основном осуществляется путем строительства горизонтальной открытой и закрытой сети. В 1976 г. средняя удельная протяженность коллекторно-дренажной сети здесь составила 21,2 пог.м на гектар орошаемой площади.

Для понижения уровня грунтовых вод в Мургабском оазисе до последнего времени применялся горизонтальный дренаж, хотя по материалам районирования дренажа, выполненного Т у р к м е н - НИИГиМом, здесь имеются площади земель, где возможно применение вертикального дренажа.

Геологические и гидрогеологические условия Мургабского оазиса затрудняют для применения вертикального дренажа. Однако на построенных в последнее время на территории г. Мары скважинах вертикального дренажа получены дебиты 15-20 л/с при зоне влияния 50-60 га. Относительно высокие дебиты скважин указывают на то, что этот вид дренажа здесь целесообразен. В настоящее время на территории овоще-бахчевого совхоза "Махтуш-Кули" Векиль-Базарского района Марийской области построена система вертикального дренажа из 40 скважин.

Согласно исследованиям института "Туркменгипроводхоз", грунты опытного участка представлены двухслойным комплексом, сложенным из аллювиальных отложений. Верхняя толща почвогрунтов мощностью 10-15 м, сложенная из суглинков и супесей,

имеют низкий коэффициент фильтрации, колеблющийся в пределах 0,1-0,5 м/сут. Однако распространение этих грунтов на плане не выдержано. Толщу суглинков и супесей подстилают тонко-зернистые и мелкозернистые пески с коэффициентом фильтрации в среднем 1,74 м/сут. На основании анализа данных по глубоким скважинам за относительный водоупор принят слой плотных глин мощностью 8-10 м, залегающих на глубине 88-102 м. В среднем глубина залегания водоупора принята 90 м. Средний коэффициент водоподачи для грунтов водоносной толщи установлен по опытным откачкам - 0,1.

Учитывая, что другие орошающие массивы расположены вблизи участка, где проведены детальные исследования, коэффициент фильтрации и мощность грунтов водоносной толщи приняты одинаковыми со вторым и третьим массивами.

На территории рассматриваемого массива в основном распространены лугово-аллювиальные орошающие и тавровидно-луговые почвы. По механическому составу они представлены легкими и тяжелыми суглинками и супесями. Засоленные участки обычно приурочены к тяжелым и слабопроницаемым почвам.

Проектные расходы вертикальных скважин на первом и втором массивах установлены на основании опытных откачек и приняты в среднем 16 л/с. Общее количество скважин для этих массивов принято 15, в том числе две скважины на территории поселка совхоза. На третьем и четвертом массивах необходимое количество скважин установлено по азимитическим формулам -- соответственно 14 и 11 скважин.

Бурение скважин производилось вращательно-роторным способом с прямой промышкой станком УРБ-ЗАМ глубиной до 50м от поверхности земли. Диаметр долота 650-1000 мм. Скважины заложены в следующих горизонтах: глухая часть - 0-18 м, фильтровая часть - 18-41 м и отстойник - 41-50 м. Конструкция фильтра скважин проволочная. Каркас рабочей части фильтра перфорированный в шахматном порядке с диаметром отверстий 29мм. Количество отверстий на 1 пог.м 850-900 шт. Проволочная спиральная обмотка с просветами 1,5-2,0 мм наложена на проволочные ребра каркаса в количестве 8 ятук. Диаметр проволоки спиральной обмотки на опорных ребрах 3 мм. Спиральная обмот-

ка сделана из нержавеющей стали. Фильтровая часть скважин обсыпана белекской смесью с крупностью зерен от 0,05 до 30 мм объемом 1,0-1,2 м<sup>3</sup> на 1 м фильтра.

Наряду со строительством вертикальных скважин сооружены открытые сбросные каналы, построена дренажная насосная станция, осуществлено электрооборудование скважин и насосной станции.

Открытые сбросные каналы расположены равномерно на расстоянии 500-800 м друг от друга при их общей протяженности 25,56 км, или 12 пог.м на 1 га.

Сумма всех расходов на строительство 40 вертикальных скважин составила 867,59 тыс. руб., в том числе одной скважины - 24,36 тыс. руб. (табл. I). Отсюда стоимость дренажирования одного гектара 490 руб.

Все скважины оборудованы погружными насосами В-8-40-65 с электродвигателем ГЭДВ-II-180 мощностью 11квт. Эксплуатация вертикальных скважин осуществляется Марыйским ремонтно-строительным участком ПМК "Дренажстрой" Министерства мелиорации и водного хозяйства Туркменской ССР.

Для изучения колебания уровня грунтовых вод в направлении с севера на юг от эксплуатационной скважины 31 заложен створ мелких наблюдательных скважин глубиной до 5 м. Наблюдательные скважины пробурены на расстояниях 50, 100, 200, 300, 400 и 500 м от эксплуатационной скважины.

Таблица I  
Стоимость строительства  
вертикальных скважин  
в совхозе "Махтум-Кули"

Наименование работы	Количество	Сметная стоимость, тыс. руб.
Бурение скважин	40 шт.	410,00
		16,10
Сбросные каналы, сооружения на них	25,56 км	203,40
		7,90
Электрооборудование скважин	40 шт.	254,40
		6,36
Сумма всех расходов на строительство вертикального дренажа		867,59
		24,36

Примечание. В числителе указана общая сметная стоимость, в знаменателе - стоимость единицы выполненных работ.

Замеры глубин стояния уровня грунтовых вод по наблюдательным скважинам показали, что вблизи вертикального дренажа грунтовые воды залегают на глубине более 4-5 м. По мере удаления от него наблюдается повышение уровня грунтовых вод. Замерами фактических расходов скважин, проводившихся один раз в месяц в период исследований, установлено, что по истечении времени расходы почти не изменяются (табл. 2).

Таблица 2

Величина расходов действующих скважин вертикального дренажа в совхозе "Махтум-Кули"

	Номер скважин	Расход, л/с
	проект:	фактический
8	I3,7	I4
9	I3,7	I4
10	I3,7	II
15	I3,7	II
17	I3,7	I3
18	II,6	I5
19	9,6	I0
31	I3,7	I0
32	II,6	I2
35	II,6	I2
36	I3,7	I2
52	I3,7	I2
53	9,6	I0
54	I3,7	I2

да после завершения строительства. Все это приводит к уменьшению дебита скважин.

Вместе с тем следует отметить, что большинство скважин по различным причинам в течение года не работает. В настоящее время из 25 эксплуатируемых скважин в среднем в месяц работают 5-6.

Коэффициент полезной работы по проекту принят равным 0,7. Фактически же, по данным наших исследований, в 1977 году он не превышал 0,3-0,4.

Результаты наших двухлетних исследований показывают, что в процессе строительства и эксплуатации вертикальных скважин в совхозе "Махтум-Кули" допущено много ошибок. Главной из них является применение устаревшей технологии строительства с прямой промывкой, что обусловливает колматацию стенок скважин. При применении дурчатых фильтров вместо каркасно-стержневых увеличивается сопротивление в прифильтровой зоне. Кроме того, скважины сдаются в эксплуатацию через 1-2 года

## ЛИТЕРАТУРА

1. Инженерные мероприятия по борьбе с засолением орошаемых земель. Сб. научных трудов САНИИРИ, вып. I39, I43, I44, Ташкент, 1975.

2. Рабочев И.С., Скоркина Н.М. Влияние Каракумского канала на водный и солевой режимы Мургабского и Таджикского оазисов. В сб.: "Мелиорация пустынных земель Туркменистана", Ашхабад, "Шым", 1968;

УДК 621.879.34

Инж. М. ХУДАЙБЕРГИНОВ

## ИСПЫТАНИЕ ЭКСКАВАТОРНОГО КОВША НА ОЧИСТКЕ БЕТОНИРОВАННОГО КАНАЛА

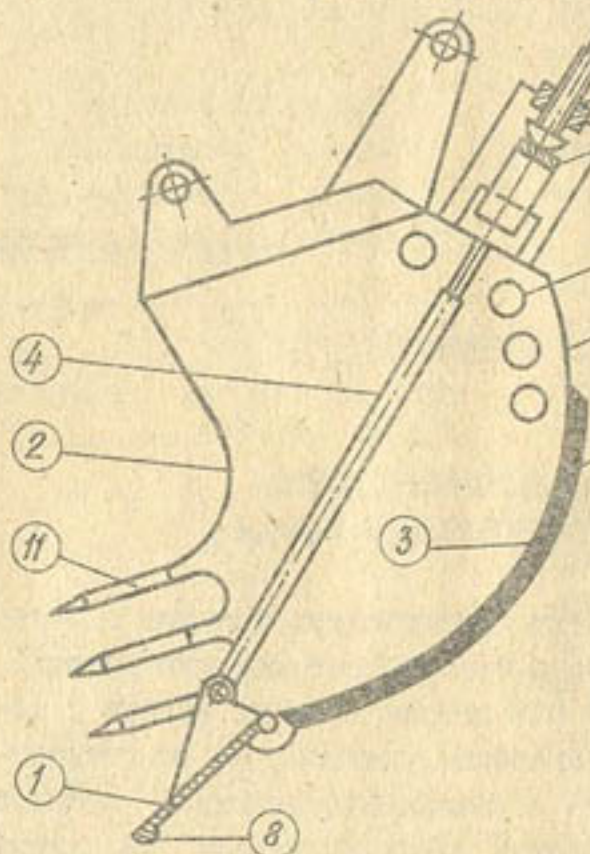
В нашей стране строительство оросительных каналов с бетонным покрытием в последние годы приобретает широкий размах.

Действующие в Туркменской ССР бетонированные каналы с течением времени заливаются и зарастают камышом. Из-за отсутствия машин, способных работать в указанных условиях, очистка в большинстве случаев выполняется вручную, каналы на время очистки перекрываются. В некоторых организациях, занимающихся строительством и эксплуатацией оросительных систем, для очистки бетонированных каналов применяются экскаваторы общестроительного назначения. Производительность при этом снижается в 3-4 раза, качество очистки бывает неудовлетворительным и нередки случаи повреждения облицовочного слоя, что требует сложных ремонтных работ.

Одной из актуальных проблем в эксплуатации малкорачных

систем является механизация работ по содержанию оросительных каналов, в частности облицованных твердым покрытием, в рабочем состоянии.

С 1976 г. в ТуркменНИИГиМе проводятся исследования по разработке технологии механизированной очистки бетонированных каналов от залежания и растительности. На основании результатов предварительных исследований по резанию заросшего залежания в бетонированном канале разработан новый экскаваторный ковш для работы в облицованном русле.



#### Экскаваторный ковш для очистки бетонированных каналов:

I - нож; 2 - корпус; 3 - днище; 4 - тяги; 5 - рессора; 6 - задняя стенка; 7 - винтовая пара; 8 - прилив; 9 - слой резины; 10 - отверстия для стока воды; II - винт  
часть ножа с задней поверхности имеет прилив 8 цилиндричес-

кой формы. Наружная часть днища ковша выполнена из слоя резины 9. Вследствие того, что нож может поворачиваться и подпружинен рессорой с регулируемой силой упругости, создается возможность постоянно поддерживать контакт режущей части ножа с облицовкой при изменении в процессе набора грунта зазора между днищем ковша и поверхностью канала.

Экспериментальный образец ковша изготовлен на ПКБ с ЭП ТуркменНИИГиМа применительно к гидравлическому экскаватору Э-153. Емкость ковша составляла 0,2 м<sup>3</sup>. Испытания проводились на очистке бетонированного канала МК-1 в Гянурском районе Ахшабадской области.

Экскаватор с экспериментальным ковшом первоначально работал на участке канала шириной по дну 1,5 м, с заложением откосов 1:1,5 и глубиной 1,5 м при наполнении канала 0,7 м. Толщина слоя залежания составляла: на дне - 0,3 м, на откосах - 0,5 м; высота камыша - 2,0-2,5 м при диаметре стеблей 7-10 мм. На 100 см<sup>2</sup> площади залежания приходилось 8-12 стеблей. Объем залежания на 1 пог.м канала составлял 0,8-1,0 м<sup>3</sup>.

В начале процессакопания машинист экскаватора обычными приемами направлял ковш на соприкосновение с грунтом и производил врезание под слой наносов. Очистка дна и откосов канала от наносов, заросших растительностью, производилась перемещением ковша по поверхности облицовки в плоскости, перпендикулярной к оси канала, при этом экскаватор периодически перемещался вдоль одного из его откосов.

Результаты в первые дни испытаний показали, что происходит полное удаление ила с облицовки канала без ее повреждения. Грунт, заросший камышом, отделялся от бетона монолитной массой, размеры которой превышали ширину ковша. При этом камыш препятствовал наполнению ковша, наблюдались и случаи, когда ил выпадал на откос у бровки канала. В процессе подводногокопания в ковш набиралась вода, также препятствует его наполнению.

Для устранения этих недостатков проведена реконструкция опытного образца ковша. На боковых стенках были просверлены отверстия 10 для стока воды и приварены винты II, чтобы удерживать в ковше заросший камышом грунт.

кой формы. Наружная часть днища ковша выполнена из слоя резины 9. Вследствие того, что нож может поворачиваться и подпружинен рессорой с регулируемой силой упругости, создается возможность постоянно поддерживать контакт режущей части ножа с облицовкой при изменении в процессе набора грунта зазора между днищем ковша и поверхностью канала.

Производственные испытания ковша были продолжены на участке канала шириной по дну 1,5 м, с заложением откосов 1:1,5, при наполнении 1,2 м. Толщина слоя заилиения составляла: на дне - 0,5 м, на откосах - 0,8 м, высота камыша - 2,0-3,5 м при диаметре стеблей 8-16 мм. На 100 см<sup>2</sup> площади заилиения приходилось 10-15 стеблей. Объем заилиения на 1 пог.м канала составлял 2,0-2,3 м<sup>3</sup>.

Очищенный 100-метровый участок канала свидетельствовал о высоком качестве очистки, причем бетонная облицовка его оставалась неповрежденной.

Таким образом, по данным производственных испытаний, экскаваторный ковш новой конструкции позволяет производить механизированную очистку дна и откосов бетонированных каналов от заилиения с растительностью без повреждения их облицовки. При движении экскаватора, оборудованного этим ковшом, вдоль откоса создается возможность очищать бетонированные каналы различных типоразмеров без перекрытия их русел.

Рекомендуемый ковш экскаватора целесообразно использовать для очистки бетонированных каналов международной и внутренне хозяйственной сети в тех районах Советского Союза, где в силу климатических условий происходит их интенсивное зарастание.

УДК 631.587(255)+631.67.03.003.13

Канд. эконом. наук А. КУЛОВ,  
экономист К. САХАТОВА,  
математик К. РАХМАНОВ

### ЭФФЕКТИВНОСТЬ ИСПОЛЬЗОВАНИЯ ОРОСИТЕЛЬНОЙ ВОДЫ И ОРОШАЕМЫХ ЗЕМЕЛЬ В ЗОНЕ КАРАКУМСКОГО КАНАЛА

Зона Каракумского канала характеризуется значительными

ресурсами земель, пригодных для орошаемого земледелия. В связи с его строительством стало возможно освоение больших земельных массивов в южных районах Туркменской ССР. Сейчас в зоне Каракумского канала сосредоточено 59,6 % общей площади орошаемых земель республики. За годы девятой пятилетки площадь орошаемых земель увеличилась на 105,6 тыс.га, объем подачи воды на орошение - в 1,3 раза, а валовой сбор хлопка-сырца - на 59,8 тыс.т. В настоящее время в хозяйства этой зоны подается около 40 % всего водозабора из Амударьи.

Освоение новых орошаемых земель требует 3-6 тыс. руб., улучшение освоенных - 0,5-2,0 тыс. руб. капитальных вложений на один гектар. Поэтому основным показателем экономической эффективности использования водных ресурсов в орошении является рост производства сельскохозяйственной продукции, производительности труда и чистого дохода (на рубль производственных затрат). Более полную оценку эффективности дают показатели выхода валовой продукции и чистого дохода на 1 м<sup>3</sup> поданной хозяйству оросительной воды (табл. I).

В хозяйствах зоны Каракумского канала, где в 1976 г. в среднем на 1 га орошающей площади подано 15,7 м<sup>3</sup> воды, с каждого орошающего гектара получено: валовой продукции - 1116,9 руб., валового дохода - 780,6 руб., чистого дохода 304,0 руб.; на 1000 м<sup>3</sup> оросительной воды - соответственно 70,9 руб., 49,6 и 19,3 руб. Эти показатели свидетельствуют о высокой эффективности использования орошаемых земель и оросительной воды в зоне Каракумского канала.

Одним из важнейших специфических показателей, применяемых для характеристики использования орошаемых земель, является коэффициент земельного использования. В 1976 г. он возрос по сравнению с 1971 г. на 10 %.

В условиях орошения повышение эффективности производства и экономическое укрепление каждого хозяйства зависят от правильного, наиболее продуктивного использования поливных земель. Но и тогда в результате интенсивного освоения новых земель и строительства крупных водохозяйственных объектов показатели вновь развивающихся хозяйств временно могут оказаться сколько ниже по сравнению с уже сформировавшимися

Основные показатели  
эффективности орошения в хлопкосеющих  
колхозах Ашхабадской и Марийской  
областях за 1976 г.

Группы по фактической водоподаче, тыс. м <sup>3</sup> /га	Оро- шаемая пло- щадь, га	Подача воды, м <sup>3</sup> /га	Валовая продукция, руб.	Валовой доход, руб.	Чистый доход, руб.	Рентабельность, %
До II,0	15	47,4	9,8	879,2	572,5	180,4
				90,0	58,6	18,5
II,1-II,3,0	23	75,5	12,3	1032,8	694,1	213,5
				83,9	56,3	17,3
III,1-III,5,0	36	112,4	14,5	1100,9	609,4	254,5
				76,2	42,2	17,6
IV,1-IV,7,0	24	78,6	15,7	1116,9	780,6	304,0
				70,9	49,6	19,3
V,1-V,9,0	10	20,5	18,1	1100,4	701,8	208,7
				60,9	38,8	11,6
свыше V,9,1	7	17,7	20,5	1372,1	915,1	320,1
				67,1	44,7	15,6

Примечание. В числителе - на I га орошаемой площади, в знаменателе - на 1000 м<sup>3</sup> оросительной воды.

районами орошения (табл. 2). Из сопоставления показателей видно, что в Марийской области в среднем за 1973-1976 гг. произведено валовой продукции на I га орошаемых земель больше, чем в Ашхабадской, на 88,6 руб., на 1000 м<sup>3</sup> оросительной воды - соответственно около 10,0 руб. Рост уровня валового и чистого доходов во многом зависит от урожайности сельскохозяйственных культур. По мнению ученых, в первые три года освоения новых орошаемых земель колебание урожайности от 14,0 - до 16,0 ц/га считается нормальным. Поэтому несколько более низкая урожай-

ность хлопчатника по Ашхабадской области, составившая 14,4 ц/га, не является следствием плохой организации работ, а объясняется объективными процессами развития хозяйств.

По данным Министерства мероприятий и водного хозяйства Туркменской ССР, в 1976 г. общая протяженность коллекторно-дренажной сети составила: в Ашхабадской области 2229,5 км, в Марийской - 4974,7 км, удельная протяженность - соответственно 10,3 и 17,0 пог. м/га. При имеющейся здесь площади орошаемых земель 507,6 тыс. га обеспечено дренажом 24,7 %, в проведении капитальной планировки и качественном улучшении нуждаются 67,2 %, переустройстве и разноструктурции оросительной сети - 47,8 %.

По данным обследования качественного состояния орошаемой пашни, в Ашхабадской области слабозасоленные земли составляют 73,6 %, среднезасоленные - 18,6 %, сильнозасоленные - 7,8 %; в Марийской области - соответственно 67,6 %, 22,6 % и 9,7 %. В результате засоленности орошаемых земель недобирается продукция и снижается урожайность. Это в свою очередь влияет на выход валовой продукции, на по-

Таблица 2  
Сопоставление  
показателей по Марийской -  
стараорошающей и Ашхабадской -  
новоорошающей областям

Показатели	В среднем за 1973 - 1976 гг.
Производство валовой продукции, руб.:	
на I га орошаемых земель	1131,80
на 1000 м <sup>3</sup> оросительной воды	70,40
Производство чистого дохода, руб.:	
на I га орошаемых земель	249,50
на 1000 м <sup>3</sup> оросительной воды	18,30
Получено на I руб. производственных затрат, руб.:	
валовой продукции	1,29
валового дохода	1,28
чистого дохода	0,91
Урожайность хлопчатника, ц/га	14,40
	17,40

Примечание. В числителе - по Ашхабадской области, в знаменателе - по Марийской.

лучение валового и чистого дохода. По расчетам, каждый гектар мелиорированной площади дает эффект около 85 руб., каждый процент прироста спланированных земель позволяет увеличить объем валовой продукции на 1 га пашни до 10 руб. Поэтому важным резервом роста продуктивности сельскохозяйственного производства в зоне Каракумского канала является повышение уровня использования оросительной воды и орошаемых земель в сочетании с прогрессивными агротехническими приемами и мелиоративными мероприятиями.

УДК 631.674.5:633.5II

Канд. техн. наук Х.А. АМАНОВ,  
инж.-гидромелиоратор Б. ГУЛБЕРДИЕВ,  
инж.-гидролог А. САХАРОВ,  
агроном В.Г. ХРИПКО

#### ИТОГИ ИССЛЕДОВАНИЙ ОРОШЕНИЯ ХЛОПЧАТНИКА ДОЖДЕВАНИЕМ В ТУРКМЕНСКОЙ ССР

В последние годы в широких масштабах начинает внедряться дождевальная техника, обеспечивающая возможность механизации поливов.

Исследования по изучению поливов хлопчатника дождевальной машиной ДДА-100М проведены в Марыйской и Чардоуской областях Туркменской ССР на полях Каракумской и Чардоуской опытно-мелиоративных станций ТуркменНИИГиМа\*. Участки, где полу-

\* Б. Гулбердиев, А. Сахаров (КОМС), В.Г. Хрипко (ЧОМС). Технико-экономические и эксплуатационные показатели работы и оценка существующей и новой дождевальной техники, средств механизации и внутриучастковой оросительной сети. Научно-технические отчеты ТуркменНИИГиМа за 1974 г.

Х.А. Аманов, Б. Гулбердиев, А. Сахаров, В.Г. Хрипко. По-

вь хлопчатника проводились дождеванием, по своей почвенно-мелиоративной характеристике типичны для орошаемых земель указанных областей.

На Каракумской опытно-мелиоративной станции опыты проводились на легких и тяжелых почвах с объемным весом в слое 0-100 см, соответственно 1,45 и 1,55 г/см<sup>3</sup>. Глубина залегания минерализованных грунтовых вод (содержание солей в начале вегетации 9-16 г/л, в конце - 5,5-14 г/л) до промывных полов 1,5-1,9 м, в период вегетации 1,0-1,7 м.

При поливе дождеванием урожай хлопка-сырца на легких почвах составил 32,0-39,7 ц/га, на тяжелых - 20,6-31,2 ц/га при оросительной норме соответственно 4000-4500 и 3240-4000 м<sup>3</sup>/га, т.е. в среднем увеличился на 8,3 и 2,1 ц/га при уменьшении

оросительной нормы на 2600 и 2900 м<sup>3</sup>/га по сравнению с нормой 4000 м<sup>3</sup>/га.

Примечание. В числителе - при дождевании, в знаменателе - при бороздковом способе полива.

Таблица I  
Поливной режим и урожайность хлопчатника при разных способах полива на легких и тяжелых почвах

Год	Число поливов:	Норма полива, м <sup>3</sup> /га	Оросительная норма, ц/га	Урожайность, ц/га	Затраты воды, м <sup>3</sup> /га
				Легкая почва	Тяжелая почва
1971	9	300 - 700	4400	39,7	III
	7	850 - 1300	7800	30,5	256
1972	9	400 - 700	4500	36,3	I26
	6	900 - 1200	6600	26,3	250
1974	8	400 - 700	4000	32,0	I24
	5	1000-1200	5600	26,5	211
Среднее	9	400 - 700	4300	36,0	I20
	6	900 - 1200	7000	27,7	239

Примечание. В числителе - при дождевании, в знаменателе - при бороздковом способе полива.

лив хлопчатника дождеванием в условиях Марийской и Чардоуской областей Туркменской ССР. Тезисы докладов среднеазиатского совещания "Итоги научных и экспериментальных исследований применения дождевания в хлопковой зоне Средней Азии", Ташкент, 1976.

внению с поливом по бороздам (табл. I). На легких почвах проводилось 9 поливов дождеванием, на тяжелых - 7 при 6 поливах по бороздам (контроль). Поливная норма на участках применения дождевания колебалась от 300 до 700 м<sup>3</sup>/га, на полях бороздкового полива - от 900 до 1300 м<sup>3</sup>/га. Расход воды на один центнер хлопка-сырца в среднем составил соответственно 120-148 и 223-239 м<sup>3</sup>. Потери воды на испарение от насадок до поверхности земли и снос ветром - 14-16 % поливной нормы.

Водопотребление хлопчатника в условиях Мургабского оазиса при поливе дождеванием и по бороздам изучалось методом лизиметров. Почвы в лизиметрах, где поливы проводились дождеванием, легкие, по бороздам - тяжелые. Величина суммарного испарения за период вегетации (с апреля по октябрь) при глубине залегания грунтовых вод от 1 до 2 м составила: при поливе дождеванием - 10460-11950 м<sup>3</sup>/га, при бороздковом поливе - 13760-14510 м<sup>3</sup>/га (табл. 2). При этом хлопчатник использовал из грунтовых вод соответственно 3470-5230 и 5600-6340 м<sup>3</sup>/га. Максимальная величина суммарного испарения наблюдается в июле-августе. За этот период прием хлопчатника расходуется в среднем 40-47 % влаги.

Наибольший урожай хлопка-сырца - 51,8-60,4 ц/га - получен при глубине стояния грунтовых вод 1 м. Расход оросительной воды на один центнер хлопка-сырца составил: за период вегетации - 73-112 м<sup>3</sup>, за год - 126-193 м<sup>3</sup>. Минерализация грунтовых вод в лизиметрах колебалась от 4 до 8 г/л. Содержание солей в почве в зоне аэрации и грунтовой воде к концу вегетации увеличивается.

Почвогрунты опытного участка Чарджоуской опытно-мелиоративной станции до глубины 2 м представлены средними и тяжелыми суглинками. Глубина залегания грунтовых вод на опытных участках в вегетационный период изменялась от 0,8 до 1,8 м при минерализации их от 2 до 7 г/л. Объемный вес почвы в слое 0-100 см 1,7 г/см<sup>3</sup>, предельная полевая влагоемкость составляла 20 %.

При поливе дождеванием в основном изучались поливные нормы 800, 600 и 400 м<sup>3</sup>/га (табл. 3). При поливной норме 800

Таблица 2  
Расход воды в лизиметрах  
и урожай хлопка-сырца (среднее за  
1972-1974 гг.)

Глубина залегания грунтовых вод, м	Промывная норма, м <sup>3</sup> /га	Оросительная норма, м <sup>3</sup> /га	Суммарное испарение <sup>*</sup> :			Затраты орошательской воды на 1 ц/га
			в том числе из грунтовых вод, м <sup>3</sup> /га	%		
Полив дождеванием						
I	3100	4500	14520	5870	40,9	60,4
			11950	5230	43,8	126
2	3350	4680	12760	4030	31,5	44,5
			10460	3470	33,6	181
I,0 - 2,0	3400	4580	13780	4830	34,8	41,7
			11050	4260	38,7	193
Полив по бороздам						
I	3570	3780	17720	7550	42,8	51,8
			14510	6340	45,8	142
I,0 - 2,0	3580	5400	16910	6490	38,4	48,4
			13760	5600	40,5	186

Примечание. \* В числителе - за год, в знаменателе - за период вегетации. \*\* В числителе - за период вегетации, в знаменателе - всего.

м<sup>3</sup>/га на тяжелых почвах образуется сток, в связи с чем требуются нарезка поливных борозд и планировка полей. Затраты воды на один центнер хлопка-сырца при этом увеличиваются.

Применение дождевального агрегата ДДА-100М для орошения хлопчатника при близком залегании минерализованных грунтовых вод связано с изменением засоленности почвогрунтов в метровом слое (табл. 4).

Таблица 3

Поливной режим и урожай  
хлопка-сырца при поливе дождеванием

Год	Число полива, м <sup>3</sup> /га		Оросительные нормы, м <sup>3</sup> /га		Урожайность, ц/га	Затраты воды, м <sup>3</sup> /ц
	Норма полива, м <sup>3</sup> /га	норма, м <sup>3</sup> /га	норма, м <sup>3</sup> /га	норма, м <sup>3</sup> /га		
I968	8	400-1200	5840	34,4	I70	
I969	4	800	3030	22,8	I36	
	5	600	3090	19,8	I56	
	5	400	2190	16,6	I27	
I970	5	500-900	4025	26,8	I45	
	7	600-700	4280	24,8	I73	
	II	300-400	4310	25,3	I71	
I972	6	500-1000	4290	22,0	224	

На легких почвах Каракумской опытно-мелиоративной станции при поливе дождеванием оросительной нормой 4000-4700 м<sup>3</sup>/га засоленность почвогрунтов в конце вегетации увеличилась незначительно, на тяжелых почвах при оросительной норме 3200-4000 м<sup>3</sup>/га солей в почве накаплилось больше.

На засоленных почвах Чарджоуской опытно-мелиоративной станции при оросительной норме 2770-5840 м<sup>3</sup>/га в конце вегетации происходило рассоление почв. При этом лучший урожай хлопка-сырца получен по варианту, где полив хлопчатника проводился нормой 800 м<sup>3</sup>/га.

Год	Оросительные нормы, м <sup>3</sup> /га		Хлор, %	Сухой остаток, %	%
	норма, м <sup>3</sup> /га	%			
I : 2 : 3 : 4					

Каракумская опытно-мелиоративная станция

Легкая почва

I971	4700	0,142	0,024		
		0,137	0,018		
I972	4570	0,298	0,041		
		0,414	0,094		

	I : 2 : 3 : 4			
1974	4000	0,273 0,306	0,030 0,044	

340 5,6  
540 3,2  
830 2,8  
1060 1,6

	Тяжелая почва		
1971	3600	0,186 0,235	0,031 0,037
1972	4000	0,347 0,364	0,086 0,078
1973	3560	0,433 0,496	0,067 0,061
1974	3240	0,297 0,446	0,031 0,090

	Чарджоуская опытно-мелиоративная станция		
1968	5840	0,800 0,600	0,100 0,020
1969	2770	1,300 0,700	0,400 0,020
1972	4290	0,400 0,400	0,060 0,030

Примечание. В числителе — весной, в знаменателе — осенью.

янный уровень воды в оросителе, что дает возможность трактористу обходиться без поливальщика и ликвидирует опасность затопления поля во время вынужденной остановки. Трехсменная работа агрегата также будет способствовать увеличению сменной производительности и высокой сезонной выработки.

Поливная Сменная норма выработка, га м<sup>3</sup>/га

Таблица I

## Распределение поливной струи по длине трубопровода

Расстояние от начала трубы, м	Опыт 1, %	Опыт 2, %
24,3	105	106
51,3	101	102
93,6	99	98
112,5	99	97
138,6	99	97
185,4	91	98
210,6	99	98
234,9	103	100
253,8	99	101
292,5	105	106
360,0	99	98
Средняя	100	100

Разность отметок от начала до конца телескопического трубопровода II-I-2-2 длиной 364 м составляет 0,16 м. Трубопровод уложен с положительным уклоном.

Результаты опытов показали (табл. I), что трубопровод большой длины при различном режиме обеспечивает нормальное распределение поливной струи по всей его длине. Колебание поливных струй по длине трубопровода составляет 9–14 %. При этом средний показатель вполне допустим для бороздкового полива в данных почвенно-мелiorативных условиях.

В исследованиях по изучению закрытой оросительной сети малоизучен вопрос образования воронки размыва. Для связных грунтов многие авторы предлагают безфильтровую обсыпку воронки. С увеличением глубины заложения поливного трубопровода ( $>40$  см) при выходе поливная струя образует, даже в связных грунтах, воронку значительного размера.

На опытном участке предусмотренная проектом безфильтровая обсыпка поливных трубопроводов осуществлена многократным проходом бульдозера. Примечание. В числителе – величина поливной струи в м/с, по мере выхода поливных струй в знаменателе – в % от средней.

УДК 631.67:626.822:633.5II

Канд. с.-х. наук Д. ШЕРИПОВ,  
инженеры О. СЕЙДОВ, А. САХАРОВ, О. НУРСАХАТОВ

ОПЫТ ПОЛИВА ХЛОПЧАТНИКА  
ЗАКРЫТОЙ СЕТЬЮ В УСЛОВИЯХ  
МУРТАВСКОГО ОАЗИСА

В Туркменской ССР подавляющая часть площади посевов хлопчатника и других сельскохозяйственных культур хлопкового севооборота поливается вручную с помощью густой сети земляных оросителей при больших затратах труда и средств.

На участке им. Буденного колхоза "Ленинград" Туркменкалинского района Марийской области была построена современная закрытая оросительная сеть. Общая площадь участка им. Буденного 479 га. Почвы пахотного горизонта на всей территории участка представлены суглинками и глинами с коэффициентом фильтрации 0,1 м/сут. Глубина залегания грунтовых вод колеблется в пределах 1,6–3,0 м. Поверхность рассматриваемой территории имеет незначительный уклон с юго-запада на северо-восток в пределах 0,002–0,0005.

С целью разработки рекомендаций по внедрению закрытой оросительной сети в других хлопководческих хозяйствах республики проведены исследования по изучению различных технологий полива.

В опытах изучалась равномерность распределения поливных струй по длине закрытых трубопроводов.\* Расход воды, вытекающей из отверстий, измерялся треугольными водосливами. Диаметр отверстий по всей длине трубопровода 7 мм.

\* На примере трех трубопроводов.

на поверхность предыдущего слоя грунта. При такой технологии выполнения обсыпки поливные отверстия остаются открытыми и обеспечивается свободный выход поливных струй на поверхность земли.

С началом вегетационных поливов у выхода поливных струй образуется воронка размыва, которая к концу поливного периода достигает значительных размеров (диаметр по верху 80–100 см), что препятствует передвижению пропашных тракторов. Исследованиями установлены две области формирования воронки (см. рисунок 5).

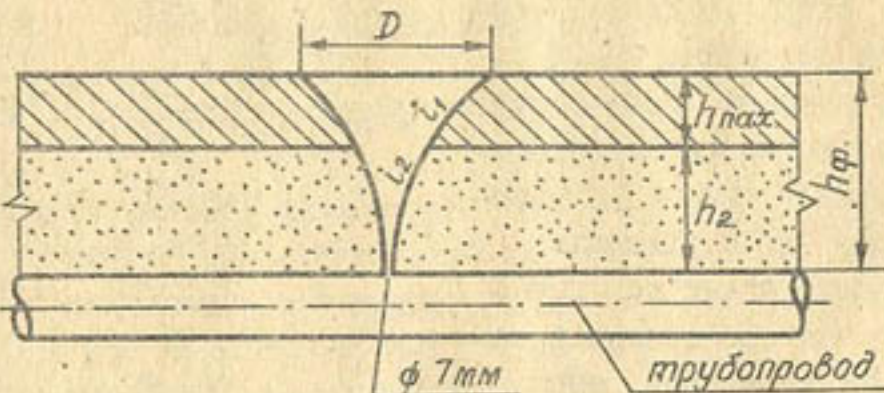


Схема образования воронки.

Характерная особенность первой области заключается в том, что при относительно меньшей глубине  $h_{1ах}$  образуются пологие откосы  $i_1$ . Происхождение этого явления обусловлено тем, что при обработках (пахота, культивация и др.) почвы пахотного горизонта разрыхляются. Уплотненность почвогрунтов от поверхности к низким горизонтам увеличивается. Поэтому ниже пахотной подошвы они менее подвержены размыву, чем верхние горизонты. Для второй области формирования воронки размыва ниже пахотного горизонта характерная особенность заключается в том, что при относительно большей глубине  $h_2$  образуются крутые откосы.

Как видно из таблицы 2, к концу вегетации диаметр воронки по верху увеличивается, а глубина ее уменьшается. При глубоком заложении поливного трубопровода образовались самые большие воронки.

Таблица 2

Характеристика  
образования воронки

Полив-	Глубина:	Параметры воронки
трубопровод:	заложе-	ной:
трубо-	ния:	трубопровод:
трубо-	25/У1:20/УШ:	15/УШ
ровода:	:	:
:	см	:
II-2-I	60,5	54,6 50,9 48,0
		76,6 80,0 88,9
II-1-2-2	52,5	35,0 29,3 21,3
		51,8 54,6 61,6
II-2-2	66,8	63,1 61,6 46,9
		80,3 85,0 95,4

Примечание. В числителе – глубина воронки в сантиметрах, в знаменателе – диаметр воронки по верху в сантиметрах.

При увеличении глубины заложения поливного трубопровода на 14,3 см диаметр воронки по веху возрастает на 33,8 см, или почти на 55%.

Как предусмотрено проектом, если трубопровод заложить на глубине 40 см, могут образоваться воронки незначительных размеров, которые не препятствуют проезду пропашных тракторов и других механизмов. В противном случае необходимо предусмотреть фильтровую обсыпку воронки размыва гравием.

Закрытая напорная сеть, эксплуатировавшаяся в 1977 г., обеспечивала оптимальный режим орошения хлопчатника и льнерны. Основные показатели одной нити закрытой напорной сети по опытным и контрольному участкам приведены в таблице 3.

Производительность труда на первом поливе при поливной струе 0,17–0,19 л/с составила 5–6 га/сут., тогда как при поливной струе 0,25 л/с (контроль) – 2,0 га/сут. За счет проведения поливов 2–4 поливными трубопроводами по всей системе одновременно суточная производительность увеличивается в 2–4 раза. Закрытая сеть дала возможность проводить сосредоточенные поливы – до 250 л/с, что позволило сократить число поливальщиков в 2 раза по сравнению с обычным способом. Коэффициент земельного использования возрос на 3–4 %, что дает 2–3 ц дополнительной продукции с гектара. Общий урожай по опытным участкам составил 33,1–40,5 ц/га против 28,5 ц/га по контрольному участку. При этом получена экономия оросительной воды за счет отсутствия

Таблица 3

Основные показатели  
эффективности закрытой сети

Участок	Поливная струя, л/с	Продолжительность полива, часы	Фактическая поливная норма, м <sup>3</sup> /га	Производительность труда поливальщика, га/сут.	Урожай хлопка сирпа, ц/га
1	0,18	49,0	1110	5,9	36,7
	0,26	46,0	1350	6,1	
2	0,17	57,5	1130	5,0	33,1
	0,25	46,5	1390	6,2	
3	0,19	46,5	1200	6,0	40,5
	0,25	46,6	1400	6,1	
Контрольный	0,25	21,6	1230	2,0	28,5
	0,30	19,2	1370	2,2	

Примечание. В числителе - на первом поливе, в знаменателе - на последующих поливах.

потерь на фильтрацию.

Из анализа показателей эффективности видно, что все затраты, связанные со строительством и эксплуатацией закрытой напорной системы, будут окупаться за 4 года.

УДК 631.674.1:633.5II

Канд. техн. наук Х.А. АМАНОВ,  
агроном М. ТАГАНСОВ,  
инж. О. Сеидов

### ИССЛЕДОВАНИЕ ТЕХНИКИ БОРОЗДКОВОГО ПОЛИВА ХЛОПЧАТНИКА В ПРИКОПЕТДАГСКОЙ ЗОНЕ

Исследования по изучению техники бороздкового полива проводились на землях колхоза им. Еданова Бахарденского района Ашхабадской области\*. Варианты опыта изучались на 9 бороздах, подобранных с учетом различной уплотняемости колесами трактора при обработках. Для подачи воды в борозды применялись железные трубы, салфетки из полиэтиленовой пленки и бумаги, а также дерни - чим. Лучшие результаты получены при армировании борозд салфетками из полиэтиленовой пленки толщиной 0,06 - 0,1 мм<sup>\*\*</sup>.

Как установлено наблюдениями, скорость впитывания уменьшается от полива к поливу, что объясняется уплотнением почвы

\*

Опытный участок - отдельный массив общей площадью 4 га, прямоугольной формы, длинная сторона его расположена по уклону местности. Уклон поверхности земли по направлению борозд 0,008 - 0,009. Почвы участка - среднесуглинистые с прослойкой тяжелой глины. Удельный и объемный вес почвы в слое 0 - 100 см соответственно составляют 2,7 и 1,44 г/см<sup>3</sup>. Предельная полевая влагоемкость - 20 - 26 %. Верхний слой почвы (0 - 90 см) незасоленный, нижние горизонты слабо- и сильно-засоленные. Почвы слабоводопроницаемые. Полив хлопчатника осуществлялся из двух скважин (№ 717 и 718) с общим дебитом 40 - 45 л/с. Минерализация воды 0,9 - 1,0 г/л.

\*\* Дерн постепенно размывается, бумажные салфетки более 1 - 2 поливов не выдерживают. Их можно применять при поливных струях до 0,25 - 0,30 л/с.

Таблица 3

Основные показатели  
эффективности закрытой сети

Участок	Номинальная струя, л/с	Продолжительность полива, час	Фактическая поливная норма, м <sup>3</sup> /га	Производительность труда поливальщика, га/сут.	Урожай хлопка сирпа, ц/га
1	0,18	49,0	1110	5,9	36,7
	0,26	46,0	1350	6,1	
2	0,17	57,5	1130	5,0	33,1
	0,25	46,5	1390	6,2	
3	0,19	46,5	1200	6,0	40,5
	0,25	46,6	1400	6,1	
Контрольный	0,25	21,6	1230	2,0	28,5
	0,30	19,2	1370	2,2	

Примечание. В числителе - на первом поливе, в знаменателе - на последующих поливах.

постер на фильтрацию.

Из анализа показателей эффективности видно, что все затраты, связанные со строительством и эксплуатацией закрытой напорной системы, будут окупаться за 4 года.

УДК 631.674.1:633.5II

Канд. техн. наук Х.А. АМАНОВ,  
агроном М. ТАГАНСОВ,  
инж. О. Сеидов

#### ИССЛЕДОВАНИЕ ТЕХНИКИ БОРОЗДКОВОГО ПОЛИВА ХЛОПЧАТНИКА В ПРИКОПЕТДАГСКОЙ ЗОНЕ

Исследования по изучению техники бороздкового полива проводились на землях колхоза им. Еданова Бахарденского района Ашхабадской области\*. Варианты опыта изучались на 9 бороздах, подобранных с учетом различной уплотняемости колесами трактора при обработках. Для подачи воды в борозды применялись железные трубы, салфетки из полистиленовой пленки и бумаги, а также дерни - чим. Лучшие результаты получены при армировании борозд салфетками из полистиленовой пленки толщиной 0,06 - 0,1 мм<sup>\*\*</sup>.

Как установлено наблюдениями, скорость впитывания уменьшается от полива к поливу, что объясняется уплотнением почвы

\* Опытный участок - отдельный массив общей площадью 4 га, прямоугольной формы, длинная сторона его расположена по уклону местности. Уклон поверхности земли по направлению борозд 0,008 - 0,009. Почвы участка - среднесуглинистые с прослойкой тяжелой глины. Удельный и объемный вес почвы в слое 0 - 100 см соответственно составляют 2,7 и 1,44 г/см<sup>3</sup>. Предельная полевая влагоемкость - 20 - 26 %. Верхний слой почвы (0 - 90 см) незасоленный, нижние горизонты слабо- и сильно-засоленные. Почвы слабоводопроницаемые. Полив хлопчатника осуществлялся из двух скважин (№ 717 и 718) с общим дебитом 40 - 45 л/с. Минерализация воды 0,9 - 1,0 г/л.

\*\* Дерн постепенно размывается, бумажные салфетки более 1 - 2 поливов не выдерживают. Их можно применять при поливных струях до 0,25 - 0,30 л/с.

и снижением ее водопроницаемости. На длинных бороздах скорость впитывания составила (в среднем за два года): в первом поливе за 27,8 ч наблюдений - 0,052 см/с, в третьем поливе за 32 ч - 0,040 см/с и в пятом поливе за 40,8 ч - 0,002 см/с (табл. I).

Таблица I  
Скорости  
впитывания воды на  
длинных (225 м) бороздах

	Поливы	1971 г.	1972 г.	Среднее
I	26,5	29,0	27,8	
	0,050	0,053	0,052	
3	27,0	37,0	32,0	
	0,035	0,044	0,040	
5	44,0	37,5	40,8	
	0,002	0,002	0,002	

Примечание. В числителе - время впитывания, часы, в знаменателе - скорость впитывания, см/с.

Во время проведения вегетационных поливов по каждому варианту опыта определялись размеры поливной струи в голове борозды, время добегания по сухой борозде, глубина наполнения, смоченный периметр живого сечения борозды и др. Полученные данные, характеризующие время добегания поливной струи при различных ее размерах и длине борозд позволяют ориентировочно установить оптимальную продолжительность полива. Как видно из табл. 2, при одинаковых условиях с увели-

\*Зяблевая пахота с внесением органических удобрений из расчета 12 т/га проводилась в декабре, посев хлопчатника - в апреле (высевался тонковолокнистый сорт 8763-И) по направлению уклона местности рядовым способом с шириной между рядами 60 см.

чением размера поливной струи время добегания ее уменьшается и соответственно сокращается продолжительность полива. С уменьшением поливной струи от 0,43 до 0,14 л/с при длине борозды 300 м время добегания увеличилось: в первом поливе - в 2,7 раза, в третьем и пятом поливах - соответственно в 1,76 и 1,84 раза. За счет уменьшения размера струи уменьшается и скорость движения воды от начала к концу борозды. При одинаковых значениях длины борозды и размера поливной струи время добегания ее значительно сокращается от первого полива к последующим.

Таблица 2  
Время добегания поливной струи  
по сухой 300-метровой борозде, мин.\*

Поливы	Поливная струя, л/с	Отрезок борозды, м					
		0 - 50	50 - 100	100 - 150	150 - 200	200 - 300	300 - 0 - 300
I	0,140	156	219	237	238	285	1135
	0,275	56	100	139	224	279	798
3	0,430	62	68	71	104	109	414
	0,130	70	83	134	179	170	636
5	0,235	52	59	63	93	101	368
	0,445	57	62	64	68	116	367
	0,140	62	64	79	95	129	429
	0,270	48	47	53	70	83	301
	0,440	28	37	42	61	68	236

При длине поливных борозд 150 - 450 м и оросительной норме 7860 - 9220 м<sup>3</sup>/га наибольший урожай хлопка (41,6 - 55,3 ц/га) получен при размерах поливной струи 0,075 - 0,19 л/с. При той же длине борозд, оросительной норме 5120 - 8880 м<sup>3</sup>/га и поливной струе 0,24 - 0,35 л/с урожайность хлопчатника составила 33,1 - 36,2 ц/га (табл. 3).

\*Средние данные за 1971 - 1972 гг.

Влияние поливной струи, оросительной нормы на сброс и урожай хлопка-сырца при различной длине поливных борозд

Поливная струя, л/с	Оросительная норма, м <sup>3</sup> /га	Сброс осадка, м <sup>3</sup>			%	Урожай хлопка-сырца, ц/га	Затраты оросительной воды на I ц урожая, м <sup>3</sup>						
		1971 год	1972 год	1973 год									
0,075	0,15	9220	8770	7870	2130/19	1540/15	1780/18	55,3	53,2	32,2	167	166	245
0,14	0,30	7260	8230	8100	3440/32	2940/26	3890/32	38,2	40,3	29,5	190	205	275
0,24	0,30-0,15 0,15-0,075	8880	7670	8180	3210/27	3070/29	940/10	36,2	35,6	34,6	245	215	236
0,14	0,45-0,30	8790	8690	7750	1500/15	1330/14	2080/21	45,2	48,5	31,6	194	180	247
0,26	0,60-0,45 0,30-0,15	7420	7600	7830	2350/24	2940/27	1470/16	35,3	36,4	33,1	210	210	237
0,45	-	8910	7100	-	2290/20	3190/32	-	24,3	26,4	-	367	267	-
0,19	0,45-0,30	7860	8250	7710	1450/16	1360/14	3140/29	41,6	41,8	34,4	189	197	320
0,35	0,60-0,45	5120	7170	7800	3780/42	4700/40	4600/37	33,1	35,0	25,1	155	205	310
0,54	0,75-0,60	5100	6220	7290	4880/49	5960/46	6440/47	30,8	33,3	22,8	166	207	318

\* В процентах (в знаменателе) от оросительной нормы (брутто).

В 1973 г. изучались варианты опыта с проведением поливов переменными струями в целях равномерного распределения поливной нормы и обеспечения нормального увлажнения почвы по длине борозды. При этом в первых двух поливах по бороздам длиной 300 и 450 м соответственно применялись поливные струи 0,60 - 0,45 и 0,75 - 0,60 л/с: после добегания воды до конца борозды размер поливной струи уменьшался. При поливе переменными струями по бороздам длиной 300 м урожай хлопка-сырца составил 33,1 ц/га, 450 м - 22,8 - 25,1 ц/га.

При поливе струей от 0,075 до 0,45 л/с по бороздам длиной 150 - 300 м оросительной нормой от 7260 до 9220 м<sup>3</sup>/га сброс воды варьировал в пределах 14 - 32 % от оросительной нормы (брутто). При длине борозды 450 м, величине струи 0,35 и 0,75 - 0,60 л/с размер сброса воды достиг 37 - 42 % соответственно. Величина сброса увеличивается от третьего полива к последующим и достигает максимума при седьмом и восьмом поливах, что объясняется уплотнением почвы к концу вегетации. Затраты воды на I ц хлопка-сырца составили, в зависимости от величины урожая, 155 - 367 м<sup>3</sup>.

Наибольшие величины коэффициента равномерности глубины увлажнения почвы за 1971 - 1972 гг. получены при поливах струей 0,14 - 0,26 л/с по бороздам длиной 150 и 300 м - соответственно 0,83 - 0,94 и 0,84 - 0,88. При поливе по бороздам длиной 450 м струей 0,19 - 0,35 и 0,54 л/с он составил 0,56 - 0,79 и 0,71 - 0,89, с увеличением поливной струи (в 1973 г.) от 0,45 - 0,30 до 0,75 - 0,60 л/с - уменьшился до 0,49 - 0,53. При поливе переменной струей 0,30 - 0,15, 0,15 - 0,075 и 0,60 - 0,45, 0,30 - 0,15 л/с по бороздам 150 - 300 м длиной коэффициент равномерности увлажнения почвы повысился, составив 0,83 - 0,91 (табл. 4).

#### Выводы

1. Объем и скорость впитывания воды в почву имеют максимальные значения в начале полива, спустя 4 - 5 часов они остаются постоянными.

2. С уменьшением поливной струи продолжительность полива

Таблица 4

Коэффициент равномерности  
глубины увлажнения почвы

Длина борозды 150 м Длина борозды 300 м Длина борозды 450 м

	поливная струя, л/с	коэффициент поливной струи, л/с	коэффициент поливной струи, л/с	поливная струя, л/с	коэффициент поливной струи, л/с	поливная струя, л/с	коэффициент поливной струи, л/с	
0,075	I 3 5	0,71 0,84 0,79	0,14	I 3 5	0,73 0,86 0,82	0,19	I 3 5	0,64 0,79 0,73
0,14	I 3 5	0,84 0,83 0,94	0,26	I 3 5	0,84 0,84 0,88	0,35	I 3 5	0,64 0,56 0,74
0,24	I 3 5	0,86 0,72 0,76	0,45	I 3 5	0,70 0,63 0,84	0,54	I 3 5	0,80 0,71 0,89

За 1971 - 1972 гг.

0,075	I 3 5	0,71 0,84 0,79	I 3 5	0,73 0,86 0,82	I 3 5	0,64 0,79 0,73
0,14	I 3 5	0,84 0,83 0,94	I 3 5	0,84 0,84 0,88	I 3 5	0,64 0,56 0,74
0,24	I 3 5	0,86 0,72 0,76	I 3 5	0,70 0,63 0,84	I 3 5	0,80 0,71 0,89

За 1973 г.

0,15	4	0,62	0,45-0,30	5	0,66	0,45-0,30	6	0,49
0,30	4	0,58		8	0,69	0,60-0,45	6	0,53
0,30-0,15	4	0,83	0,60-0,45	5	0,87	0,75-0,60	6	0,51
0,15-0,075	4	0,30-0,15	0,15	8	0,91			

возрастает. При уменьшении размера поливной струи от 0,44 до 0,14 л/с время добегания по борозде длиной 300 м увеличилось в первом поливе в 2,7 раза, в третьем и пятом - в 1,76 и 1,84 раза.

3. При поливе струей от 0,075 до 0,45 л/с по бороздам длиной 150 - 300 м оросительной нормой 7260 - 9220 м<sup>3</sup>/га сброс воды составил 1330 - 3890 м<sup>3</sup>/га (14 - 32 %), коэффициент равномерности глубины увлажнения почвы - 0,63 - 0,94. С увеличением длины борозды до 450 м и поливной струи от 0,35 до 0,75 - 0,60 л/с величины этих показателей достигли 4600 - 4880 м<sup>3</sup>/га (37 - 49 %) и 0,50 - 0,89.

4. В условиях Прикапетдагской зоны с уклоном местности 0,008 - 0,009 длину поливных борозд можно принимать от 150 до 300 м, размеры поливных струй для первых двух поливов - 0,4 - 0,5 л/с, для последующих - 0,25 - 0,35 л/с.

УДК 65.0II.56:625.8

Кандидаты техн. наук  
А.Т. БЕЛОУС, Б. САПАРОВ

ОСНОВНЫЕ ВОПРОСЫ  
АВТОМАТИЗАЦИИ ВОДОРАСПРЕДЕЛЕНИЯ  
НА ПРОТЯЖЕННЫХ ОРОСИТЕЛЬНЫХ СИСТЕМАХ

Интенсивное развитие орошаемого земледелия в нашей стране предусматривает создание и строительство технически совершенных оросительных систем для более полного использования местных водных ресурсов и сооружение таких крупных каналов, как Каракумский канал им. В.И. Ленина, обеспечивающих межбассейновую переброску вод на значительные расстояния.

Технически совершенные оросительные системы предполагают высокие технико-экономические показатели, которые достигаются на основе высокоэффективного ведения хозяйства и комплексной автоматизации эксплуатационных работ, особенно технологических процессов централизованного управления водораспределением.

Важнейшими вопросами автоматизации водораспределения на протяженных оросительных системах являются оперативное составление и корректировка планов водопользования и разработка надежных средств автоматизации, обеспечивающих нормальное функционирование оросительной системы на основе принятого способа регулирования водораспределения.

Оперативное составление и корректировка планов водопользования и водораспределения достигаются широким применением для расчетов быстродействующих электронных вычислительных машин (ЭВМ), имеющих большие возможности для выполнения работ, свя-

занных с логической обработкой информации и вычислениями.

Планы водораспределения на протяженных оросительных системах составляются на основании хозяйственных планов водопользования, в которых учитываются структура посевых площадей, режим орошения, гидромодульные районы и другие особенности хозяйств путем последовательного суммирования расходов снизу доверху с учетом технического состояния оросительных систем административного деления на районы, области, республики.

Для составления таких планов в условиях Туркменской ССР с учетом требований органов сельского и водного хозяйства республики разработаны методика, алгоритмы и программа расчета с применением ЭВМ "Минск-32" [4]. Эта программа в последующем несколько усовершенствована и дополнена. По усовершенствованной программе по-декадно рассчитываются и выдаются на печать:

- в хозяйственном плане водопользования - расходы на орошение и площасти полива (поливные задания) по каждой возделываемой культуре, головные расходы нетто и брутто, общий сток и поливные площасти за декаду и нарастающим итогом;
- в системном плане водораспределения - расходы источники воды, забираемые из источника и подаваемые на орошение и в точки выдела в хозяйстве, площасти полива всего и ведущей культуры;
- в районном, областном и др. планах водораспределения - головные расходы каналов с указанием источников орошения. Результаты расчетов выдаются по типовым формам, удобным для практического использования.

Рекомендуемая программа расчета на ЭВМ "Минск-32" составлена на общепринятом в системе Минводхоза СССР алгоритмическом языке "ФОРТРАН". Она состоит из ряда подпрограмм, позволяющих решать задачи несколькими иерархическими уровнями. Переключение с одного уровня на другой осуществляется программно - в зависимости от заданных условий. Время, затрачиваемое на расчет одного хозяйства от начала ввода информации до выдачи результатов, составляет до 5 мин. В программе предусмотрена возможность расчета к.п.д. каналов, ординат гидромодуля и поливных заданий (в процентах) и выдачи результатов в

заданном количестве экземпляров.

Программа самовосстанавливающаяся. По этой программе на входную информацию наложены следующие ограничения:

- количество возделываемых культур в хозяйстве - не более 20;
- расчетные декады - не более 36;
- гидромодульные районы - не более 7;
- иерархические уровни - не более 5.

Однако в тех случаях, когда указанное ограничение не позволяет рассчитывать все хозяйство или систему в целом, последние разбиваются на отдельные части и для каждой из них выполняются самостоятельные расчеты. Поэтому предлагаемая программа по существу не имеет ограничений и может быть использована при любой величине и протяженности оросительных систем.

На протяженных оросительных системах, таких как Каракумский канал им. В.И. Ленина, смежные перегораживающие сооружения не оказывают влияния друг на друга и водохранилища располагаются на значительных расстояниях. Вследствие этого русло канала как бы становится своеобразным водохранилищем, объем и уровень воды в котором ограничиваются параметрами канала. Поэтому планы водораспределения на протяженных оросительных системах составляются с учетом времени добегания воды от источников орошения до потребителей, величины руслово-го регулирования, времени и скорости наполнения и сработки водохранилищ.

Таким образом, при планировании водопользования и водораспределения решается так называемая обратная задача прогнозирования, т.е. по гидрографу в замыкающем (нижнем) створе с учетом конкретных условий и технического состояния оросительных систем рассчитывается гидрограф в головном створе.

Практическое осуществление водораспределения на протяженных оросительных системах при необходимости коррекции плана водораспределения требует прогнозирования ожидаемого гидрографа замыкающего створа рассматриваемого участка канала по известному (заданному или рассчитанному) гидрографу в головном створе. Такая задача для условий рек решалась Г.П. Кали-

ним и П.И. Милковым [2] и Л.С. Кучментом [3].

Отсутствие взаимного влияния между смежными перегораживающими сооружениями позволяет рассматривать протяженную оросительную систему как реку и применять линейную модель Калинина-Милкова для решения прямой задачи прогнозирования. Справедливость этой модели расчета гидрографа замыкающего створа по заданному гидрографу в головном створе для протяженных оросительных систем подтверждается однозначностью связи между объемом воды на характерном участке канала и расходом в его замыкающем створе. Аналитически эта зависимость может быть представлена в виде:

$$Q_y = \frac{1}{\tau} W_y,$$

где  $Q_y, W_y$  - расход и объем воды на характерном участке при установленвшемся режиме;

$\tau$  - постоянная времени, характеризующая длительность процессов установления на выбранном участке канала.

Статистическая обработка материалов службы эксплуатации Каракумского канала им. В.И. Ленина позволила установить такую связь для большинства участков канала. Исключение составляет озерная часть канала и участки интенсивного отбора воды на орошение.

Характерными являются участки канала длиной  $L$ , на которых удовлетворяется соотношение:

$$\ell \frac{dQ_y}{dH_y, e} = \frac{Q_y}{2J_x}, \quad (I)$$

где  $\ell$  - расстояние от места пересечения линий горизонта поверхности воды при установленвшемся и неустановившемся режимах до нижнего створа участка (рис. I);

$Q_y$  - расход в замыкающем створе характерного участка;

$H_y, e$  - установленвшееся значение уровня, измеренного на расстоянии  $\ell$ ;

$J_y$  - уклон водной поверхности при установленвшемся режиме.

На практике определяются приращения установившихся значений расхода и горизонта воды в канале. Поэтому выражение (I) для  $i$ -го характерного участка с некоторыми допущениями может быть записано в виде:

$$\ell_i \frac{\Delta Q_y}{\Delta H_y, e} = \frac{Q_y}{2J_x}. \quad (2)$$

Для  $i$ -го характерного участка, длина  $L_i$ , которого определяется из уравнения (2), расчет гидрографа  $Q_i(t)$  в замыкающем створе по известному гидрографу  $q_i(t)$  в головном створе сводится к решению уравнения:

$$\frac{dQ_i}{dt} = \frac{1}{\tau_i} (q_i - Q_i).$$

Для выделенного участка длиной  $L_B$ , на котором укладываются  $n$  характерных участков длиной  $L_i$ , т.е. для  $n = \frac{L_B}{L_i}$ , расчет гидрографа  $Q_n(t)$  сводится к решению системы уравнений:

$$\frac{dQ_1}{dt} = \frac{1}{\tau_1} (q - Q_1),$$

$$\frac{dQ_2}{dt} = \frac{1}{\tau_2} (Q_1 - Q_2),$$

$$\dots \dots \dots \frac{dQ_n}{dt} = \frac{1}{\tau_n} (Q_{n-1} - Q_n),$$

где  $q$  - входной гидрограф расхода верхнего характерного участка;

$Q_i$  - выходной расход  $i$ -го характерного участка, равный выходному расходу  $i+1$  участка.

Из этой системы получим уравнение для  $i$ -го характерного участка в виде:

$$\tau_i \frac{dQ_i}{dt} + Q_i = Q_{i-1}.$$

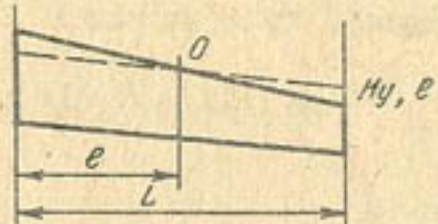


Рис. I. Схема выбора длины характерного участка

Используя преобразование Лапласа, будем иметь:

$$Q_i(P)(1+\tau_i P) = Q_{i-1}(P),$$

или:

$$Q_i(P) = \frac{1}{1+\tau_i P} Q_{i-1}(P)$$

Для выделенного участка, содержащего  $n$  характерных участков, аналогично можем записать:

$$Q_n(P) = q(P) \prod_{i=1}^n \frac{1}{1+\tau_i P}$$

Введем упрощения, не приводящие к потере общности. Примем различные постоянные времени, характеризующие длительность процессов установления на характерных участках:

$$\tau_1 - \tau_2 - \dots - \tau_n = \tau.$$

Тогда из последнего уравнения будем иметь:

$$Q_n(P) = q(P) \frac{1}{(1+\tau P)^n}$$

Получив отсюда придаточную функцию в виде:

$$F(P) = \frac{1}{(1+\tau P)^n},$$

по таблицам преобразования Лапласа восстановим ее оригинал:

$$h(t) = \frac{1}{(n-1)! \tau^n} \left(\frac{t}{\tau}\right)^{n-1} e^{-\frac{t}{\tau}}$$

Функция  $h(t)$  является импульсной переходной характеристикой.

Расход в выходном створе можно выразить через известный расход во входном створе выделенного участка с помощью интеграла свертки. При нулевых начальных условиях имеем:

$$Q(t) = \int_0^t h(t-\delta) q(\delta) d\delta. \quad (3)$$

В практике эксплуатации каналов наиболее характерным является попуск воды в виде скачка  $q(t)$ . Поэтому, решая уравнение (3), можно получить результат в аналитической форме.

Запишем несколько решений для различного числа характерных участков:

1. Нарастание расхода на выходе первого характерного участка:

$$Q_1(t) = q \left(1 - e^{-\frac{t}{\tau}}\right).$$

2. Нарастание расхода на выходе двух характерных участков:

$$Q_2(t) = q \left[ \left(1 - e^{-\frac{t}{\tau}}\right) - \frac{t}{\tau} e^{-\frac{t}{\tau}} \right].$$

3. Нарастание расхода на выходе трех характерных участков:

$$Q_3(t) = q \left[ \left(1 - e^{-\frac{t}{\tau}}\right) - \left(\frac{t}{\tau} - \frac{t^2}{2\tau^2}\right) e^{-\frac{t}{\tau}} \right].$$

4. Нарастание расхода на выходе четырех характерных участков:

$$Q_4(t) = q \left[ \left(1 - e^{-\frac{t}{\tau}}\right) - \left(\frac{t}{\tau} + \frac{t^2}{2\tau^2} + \frac{t^3}{3\tau^3}\right) e^{-\frac{t}{\tau}} \right].$$

В общем виде для  $n$  характерных участков получим:

$$Q_n(t) = q \left[ 1 - e^{-\frac{t}{\tau}} \sum_{i=0}^{n-1} \frac{1}{i!} \left(\frac{t}{\tau}\right)^i \right] \quad (4)$$

Это уравнение является общим решением уравнения (3) в аналитической форме для наиболее важного случая пропуска воды. Когда уравнение (3) не удается разрешить в аналитической форме, для решения задачи следует воспользоваться численными методами интегрирования.

На рис. 2 приведены кривые расхода в замыкающем створе для различного числа участков при подаче на входе попуска в виде скачка  $q(t)$ , построенные в соответствии с выражением (4). Эти кривые характеризуют нарастание расхода во времени на выходе  $i$ -го характерного участка в зависимости

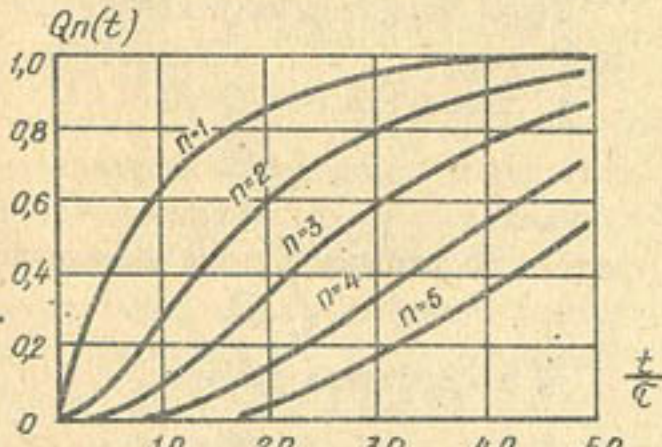


Рис. 2. Кривые нарастания расхода в замыкающих створах

от заданного выше попуска  $q(t)$  в головном створе. По кривым может быть найдено время, в течение которого величина расхода на выходе выбранного характерного участка достигает желаемой величины, например,  $0,9 q$ . Величина  $\ell$  легко определяется по экспоненте, полученной на выходе первого участка, прилегающего непосредственно к сооружению, с помощью которого осуществляется скачкообразный попуск.

Выбор правильной длины характерных участков на протяженной оросительной системе способствует общему улучшению водоучета. При этом для получения более тесной связи между горизонтами и расходами необходимо синхронно определять расход в замыкающем створе характерного участка и уровень в точке, где пересекаются уровни установленного и неустановившегося режимов.

Для определения длины  $\ell$  характерного участка и расстояния  $\ell$  от места пересечения линий горизонтов поверхности воды при установленном и неустановившемся режимах до нижнего створа участка производится измерение уклона водной поверхности  $J_y$  при установленном режиме и серии зависимостей расхода  $Q_y$  в нижнем створе от уровня воды на расстояниях  $\ell_1$ ,

$\ell_2$ ,  $\ell_3 \dots$ . По замерам находят  $\frac{\Delta Q_y}{\Delta H_y \cdot \ell}$  и умножают эти

отношения на соответствующие им расстояния  $\ell_1$ ,  $\ell_2$ ,  $\ell_3 \dots$  для получения такого  $\ell$ , длина которого удовлетворяет правой части равенства (I).

Длина характерных участков для некоторых типов русел согласно работе / 2 / определяется:

а) прямоугольное русло -

$$\ell = \frac{2}{3} \frac{H_y}{J_y};$$

б) параболическое русло -

$$\ell = \frac{1}{2} \frac{H_y}{J_y};$$

в) треугольное русло -

$$\ell = \frac{2}{5} \frac{H_y}{J_y}.$$

Рассмотренная математическая модель протяженной оросительной системы нуждается в дальнейшем совершенствовании, обусловленном, в частности, необходимостью учета потерь и отбора попутных расходов.

Основными технологическими процессами водораспределения на Каракумском канале являются переформирование естественного стока источника орошения, водозабор, транспортирование и распределение воды между потребителями. На этом уникально и оросительном и судоходном канале расположено большое количество различных сооружений, служащих для обеспечения указанных выше технологических процессов: водозаборный узел, перегораживающие сооружения, шлюзы, насосные станции, водохранилища, водовыпуски, водосбросы и др.

Регулирование стока Каракумского канала водограждающими позволяет транспортировать по нему близкие к постоянным расходы воды. Такой режим работы протяженных магистральных каналов, проходящих в сложных условиях песчаной пустыни, можно считать близким к оптимальному. В этом отношении важное значение будут иметь ввод в эксплуатацию Зейдского водохранилища в голове Каракумского канала им. В.И. Ленина, которое позволит круглогодично осуществлять забор одинаковых расходов воды и эксплуатировать наиболее ответственные участки канала в оптимальном режиме.

Гидroteхнические сооружения, связанные с забором и перераспределением воды, имеют подъемные затворы, различающиеся как по конструктивному исполнению, так и по механизмам их перемещения. В большинстве случаев для подъема затворов используются винтовые подъемники совместно с редуктором, однако на крупных сооружениях подъем затворов осуществляется гирляндами. Скорости перемещения затворов сооружений являются также различными, поэтому при их автоматизации требуется применение аппаратуры (например, авторегуляторов), имеющей широкий диапазон настроек. В этом отношении показательны цифровые датчики технологических параметров [ 1 ], обеспечивающие их измерение практически в неограниченных пределах.

Отсутствие гидравлической связи между бьефами смежных перегораживающих сооружений Каракумского канала обуславливает

способ регулирования водораспределения непосредственным отбором расходов для нормированной водоподачи потребителям независимо от колебания уровня воды в канале выше того горизонта, при котором еще возможен отбор плановых расходов. При таком способе регулирования водораспределения система автоматизированного управления водораспределением на канале состоит из автономных систем автоматического регулирования перегораживающих и водовыпусканых сооружений, объединенных в пределах выделенного района устройством телемеханики, устанавливаемом на районном диспетчерском пункте. В свою очередь, эти пункты охватываются диспетчерским управлением в пределах всего канала.

При существующем состоянии эксплуатации Каракумского канала без головного водохранилища, обеспечивающего полное переформирование головного стока канала, автономные системы автоматического регулирования расходов (уровней), перегораживающих сооружений, водовыпусканых сооружений будут следящими системами, задающие воздействия на которые подаются по каналам связи телемеханики в виде установок регуляторам на заданные расходы (уровни) воды.

Функциональная схема системы автоматизированного управления Каракумским каналом в обобщенном виде представлена на рис. 3.

Каждый регулируемый объект  $O_1, O_2, \dots, O_n$  оснащен регулятором  $P_1, P_2, \dots, P_n$ , состоящим из чувствительного устройства  $ЧУ_1, ЧУ_2, \dots, ЧУ_n$ , вычислительного устройства  $ВУ_1, ВУ_2, \dots, ВУ_n$ , исполнительного устройства  $ИУ_1, ИУ_2, \dots, ИУ_n$ . Состояние объектов характеризуется их выходными величинами  $X_1, X_2, \dots, X_n$ . На вход объектов поступают управляющие воздействия  $И_1, И_2, \dots, И_n$ . Кроме того, на вход объекта и чувствительного устройства действуют внешние помехи  $F_1, F_2, \dots, F_n$ , которые нежелательным образом изменяют состояние объекта  $X$ . На вход чувствительных устройств подаются по линиям связи от устройства телемеханики задающие воздействия  $X_{31}, X_{32}, \dots, X_{3n}$ , а на вход приемного устройс-

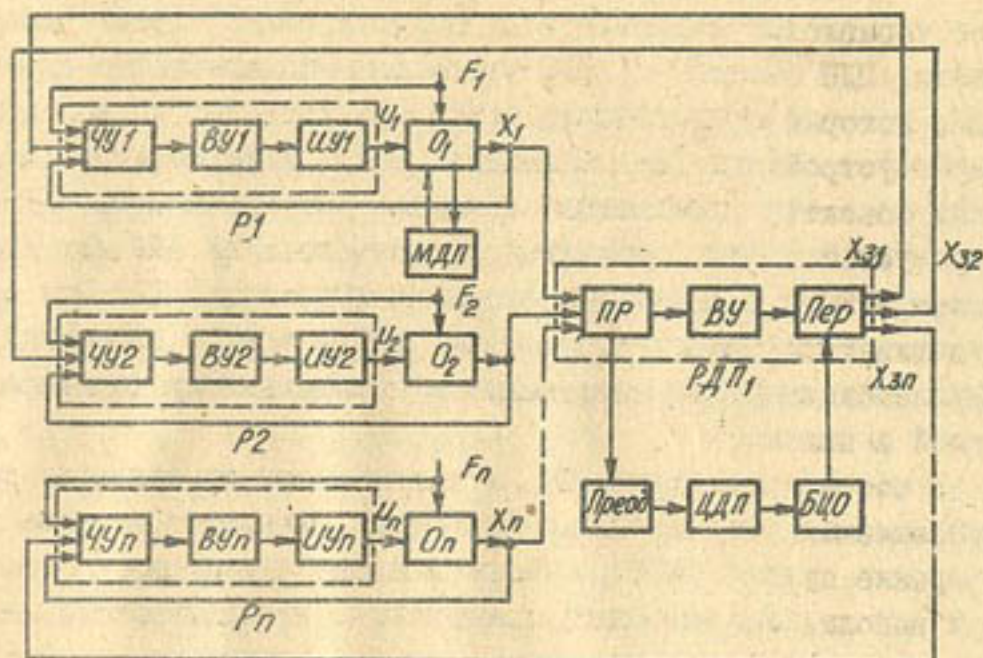


Рис. 3. Функциональная схема  
АСУ протяженной оросительной системы

тва телемеханики подаются входные величины, характеризующие состояние объектов  $X_1, X_2, \dots, X_n$ . Эти величины далее поступают на вычислительное устройство ВУ для проверки соответствия состояния объекта заданному. При необходимости изменения выходной величины объекта вычислительное устройство вырабатывает новые задающие воздействия  $X_{31}, X_{32}, \dots, X_{3n}$  и с помощью своего передатчика Пер по линиям связи подает их в виде новых установок на чувствительные устройства  $ЧУ_1, ЧУ_2, \dots, ЧУ_n$  регуляторов.

Автоматизированная система управления (АСУ) протяженной оросительной системой содержит районные диспетчерские пункты (РДП), каждый из которых линиями телемеханики связан с регулируемыми и контролируемыми объектами (на рис. 3 не показаны). РДП являются нижней ступенью иерархии управления и занимаются сбором информации по телеметрии и телесигнализации и управлением подчиненных им объектов канала. РДП диспетчерской связью соединены с центральным диспетчерским пунктом (ЦДП), осуществляющим функции контроля РДП и оператив-

ное управление системой в целом. Для этого, кроме телефонной связи, ЦДП связан с РДП через блок циклического опроса БЦО ЦДП, который осуществляет выбор подключенных к нему объектов через устройство телемеханики РДП. Информация о состоянии этих объектов принимается приемным устройством Пр. РДП преобразуется в вид, пригодный для передачи на ЦДП преобразователем ПРЕОБ, и далее транзитом поступает на ЦДП. При этом опрашиваются только те объекты, информация о состоянии которых необходима для оперативного управления протяженной системой в целом.

В состав некоторых РДП, в зависимости от важности функций, выполняемых регулируемыми объектами, вводятся местные диспетчерские пункты (МДП), обеспечивающие управление объектами при выполнении операций, связанных с необходимостью непосредственного участия человека, как это, например, происходит при шлюзовании судов. При этом с МДП производится отключение регуляторов и регулирование объекта осуществляется вручную.

Таким образом, автоматизированная система управления водораспределением (АСУ-В) на протяженных оросительных системах базируется на двухуровневой иерархии управления с подчинением районных диспетчерских пунктов (РДП) центральному диспетчерскому пункту (ЦДП).

Математическое обеспечение АСУ-В включает:

- алгоритмы решения задач АСУ-В;
- программы решения задач на ЭВМ;
- инструкции по подготовке исходной информации;
- внутреннее математическое обеспечение ЭВМ.

Математическое обеспечение основывается на применении языка "ФОРТРАН" для ЭВМ "Минск-32".

Техническое обеспечение АСУ-В включает ЭВМ, устройство телемеханики ЦДП, осуществляющее контрольные функции над подчиненными ему РДП, устройства телемеханики РДП, обслуживающие средства местной автоматики и контроля в пределах каждого района эксплуатации, включающие цифровые авторегуляторы и цифровые датчики технологических параметров. Такая автоматизированная система является составной частью АСУ водохозяйственными комплексами.

## ЛИТЕРАТУРА

1. Белоус А.Т. Цифровые датчики технологических параметров. В сб.: "Водохозяйственные исследования в Туркменистане". Ашхабад, "Ылым", 1977.
2. Калинин Г.П., Милюков П.И. Приближенный расчет неуставновившегося движения водных масс. Тр. Центрального института прогнозов, выпуск 66, Л., 1972.
3. Кучмент Л.С. Математическое моделирование речного стока. Л., Гидрометеоиздат, 1972.
4. Сапаров Б., Коваленко Р.И., Какалев А. Составление планов водопользования и водораспределения с помощью ЭВМ. В сб.: "Эффективность орошения в Туркменистане". Изд. НИЭИ с ВЦ Госплана ТССР, Ашхабад, 1976.

УДК 626.810:338.1:681.3

Кандидаты техн. наук  
Б. САПАРОВ, Р.И. КОВАЛЕНКО,  
инж.-гидротехник Г.Б. БЕЛКИН,  
математик А. КАКАЛЬЕВ

## К РАСЧЕТУ ПЛАНОВ ВОДОПОЛЬЗОВАНИЯ И ВОДОРАСПРЕДЕЛЕНИЯ НА ЭВМ

Планирование водопользования и водораспределения на оросительных системах связано с выполнением большого объема вычислительных работ [1, 3]. При этом в основу расчёта закладываются такие исходные данные, как ординаты гидромодуля, половинные задания, к.п.д. оросительных каналов и др., которые требуют выполнения довольно громоздких и трудоемких вычислений. Для облегчения и ускорения работ по составлению водохозяйственными комплексами.

зайственных планов нами разработаны методика и программа расчета на ЭВМ, позволяющие при известном поливном режиме сельскохозяйственных культур определять величины гидромодуля полива, среднедекадные ординаты гидромодулей, поливные задания (за декаду) в процентах.

Программа составлена на алгоритмическом языке "ФОРТРАН" для ЭВМ "Минск-32". В программе предусмотрены записи результатов расчета на МЛ и распечатка их на УПЧ в заданном количестве экземпляров. В качестве постоянной исходной информации в ней используется режим орошения сельскохозяйственных культур, а переменной являются поливные нормы и сроки поливов каждой культуры, наименования гидромодульных районов и зон орошения.

Информация вводится с перфокарт по подзонам, режимы поливов - по каждой сельскохозяйственной культуре, при этом указываются номера подзон и гидромодульных районов. Дополнительно задаются наименование подзоны и потребное количество экземпляров таблиц.

Расчет ординат гидромодуля и поливных заданий (в %) производится по следующему алгоритму:

#### I. Величина гидромодуля полива:

$$q_{ij\beta} = \frac{m_{ij\beta}}{86,4 \cdot T_{ij\beta}} \text{ л/с/га}, \quad (I)$$

где  $q_{ij\beta}$  - ордината гидромодуля  $j$ -го полива  $i$ -ой сельскохозяйственной культуры  $\beta$ -го гидромодульного района;  $m_{ij\beta}$  - то же, норма полива,  $\text{м}^3/\text{га}$ ;  $T_{ij\beta}$  - то же, общая продолжительность полива в сутках.

Последние два показателя принимаются из утвержденного поливного режима.

#### 2. Среднедекадная ордината гидромодуля:

$$q_{ij\beta} = \frac{\sum_{t=1}^{11} q_{it\beta} \cdot t_{jt}}{T_j} \text{ л/с/га}, \quad (2)$$

где  $q_{it\beta}$  - среднедекадная ордината гидромодуля  $i$ -ой культуры в  $j$ -ю декаду  $\beta$ -го гидромодульного района;

$q_{it\beta}$  - ордината гидромодуля  $i$ -го полива  $t$ -ой культуры  $\beta$ -го гидромодульного района за  $t$  суток, л/с/га;

$t_{jt}$  - число суток полива в  $j$ -ой декаде с гидромодулем  $q$ ;

$T_j$  - число суток в  $j$ -ой декаде от  $t=I$  до II.

#### 3. Поливное задание $\pi$ (за декаду) в процентах:

$$\pi_{ij\beta} = \frac{\sum_{t=1}^{11} \pi_{it\beta}}{T_{ij\beta}} \cdot 100 \%, \quad (3)$$

где  $\pi_{it\beta}$  - поливное задание  $i$ -ой культуры в  $j$ -ю декаду  $\beta$ -го гидромодульного района в %;

$\pi_{it\beta}$  - количество суток полива  $i$ -ой культуры в  $j$ -ю декаду  $\beta$ -го гидромодульного района.

Результаты расчета гидромодулей поливов, среднедекадных значений ординат гидромодуля и поливных заданий (в %) по вышеизложенному алгоритму выдаются по типовым формам (табл. I и 2), удобным для пользования эксплуатационным персоналом и составления планов водопользования с помощью ЭВМ. Блок-схема расчета показана на рис. I.

Программа имеет следующие ограничения: количество сельскохозяйственных культур - не более 20, расчетных декад - не более 36, гидромодульных районов - не более 6. Количество поливов - практически неограничено ( $\leq 98$ ), подзон - то же ( $\leq 9990$ ).

Время, затрачиваемое на расчет одной подзоны, - от начала ввода информации до выдачи результатов расчета, - 3-25 минут, в зависимости от объема информации.

Другой важнейшей информацией, необходимой для составления планов водопользования и водораспределения, является к.п.д. оросительных систем. Расчет к.п.д. связан с большими трудностями, обусловленными, с одной стороны, разнообразием природных условий и их изменчивостью в ходе эксплуатации каналов, с другой - трудоемкостью обоснованного выбора расчетных формул для определения потерь воды из имеющихся многочисленных решений, отвечающих данным условиям. Поэтому вопрос установления к.п.д. оросительных каналов требует проведения специ-

Таблица I

Поливные режимы  
сельскохозяйственных культур  
подзоны ТССР (ординаты гидромодуля поливов)

Наименование ГМР сельскохозяйственных культур	Поливные нормы	Сроки поливов:			Продол: ность полива: л/с/га в дниах:
		начало	конец	Гидро-	
3 Хлопчатник		700	21/10	20/II	31 0,261
	шифр I	2200	1/2	25/3	53 0,480
		800	16/5	5/6	21 0,441
		900	6/6	25/6	20 0,521

и т.д. для всех поливов и культур.

Таблица 2

Среднедекадные значения ординат  
гидромодулей (в числителе) и поливных  
заданий (%) гидромодульного района  
подзоны ТССР

Наименование сельскохозяйственных культур	( л/с/га) / проценты					
	январь			февраль		
	I	2	3	I	2	3
т.д. до конца года						

1. Хлопчатник	0,000 0,000 0,000 0,480 0,480 0,480					
	0,0	0,0	0,0	18,9	18,9	15,1
2. Липчера	0,000 0,000 0,000 0,744 0,744 0,744					
	0,0	0,0	0,0	35,7	35,7	28,6

и т.д. до 20-й культуры включительно.

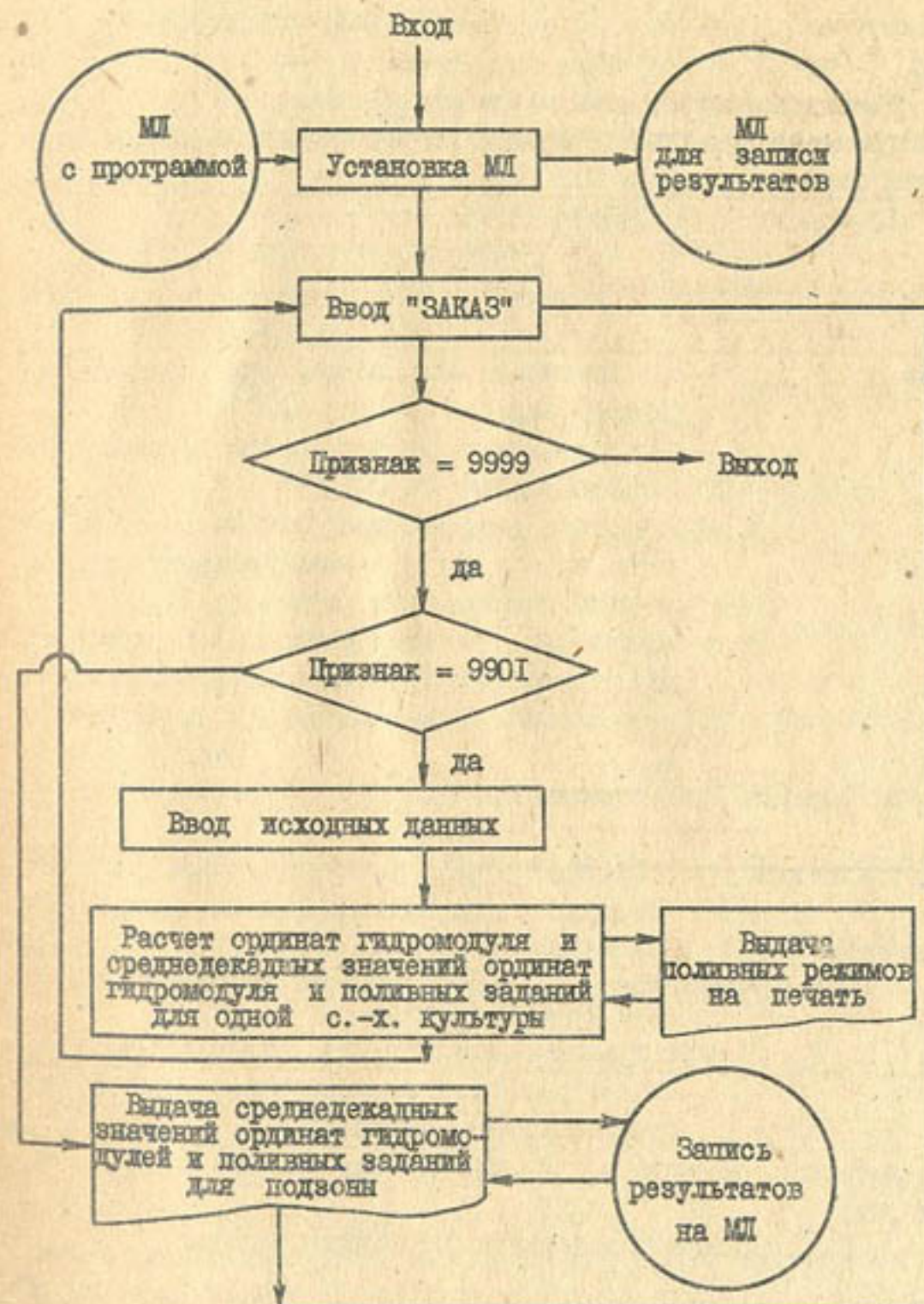


Рис. I. Блок-схема расчета ординат гидромодуля и поливных заданий на ЭВМ "Минск-32"

альных исследований и усовершенствования методики его расчета.

Здесь приводятся лишь разработанные авторами алгоритм и программа расчета к.п.д. оросительных каналов с использованием известных формул С.Р. Оффенгендена и С.А. Гиршкана [4].

### 1. Формула С.Р. Оффенгендена:

$$\zeta_d = \frac{\zeta + \lambda^m - 1}{\lambda^m}, \quad (4)$$

где

$\zeta_d$  — к.п.д. канала или системы при расчетном расходе воды;

$\zeta$  — к.п.д. канала или системы при максимальном расходе воды;

$\lambda$  — отношение расхода воды, для которого рассчитывается к.п.д., к максимальному расходу воды в канале или системе;

$m$  — показатель степени в формуле А.Н. Костякова, равный: для грунтов слабой водонепроницаемости — 0,3; средней — 0,4; сильной — 0,5 [2].

### 2. Формула С.А. Гиршкана:

$$Q_{\text{потери}} = 0,063 k_f \gamma \sqrt{Q} \quad \text{м}^3/\text{с}/\text{км}, \quad (5)$$

где

$Q$  — расход воды в канале,  $\text{м}^3/\text{с}$ ;

$k_f$  — коэффициент фильтрации грунта, слагающего ложе канала,  $\text{м}/\text{сут.}$ ;

$\gamma$  — поправочный коэффициент, зависящий от величины расхода воды в канале и глубины залегания уровня грунтовых вод.

Алгоритм расчета к.п.д. каналов или системы в целом имеет вид:

### I. С использованием формулы С.Р. Оффенгендена:

$$\zeta_{zi} Q_{zi} = \frac{\zeta_{zi} Q_{max}}{\left(\frac{Q_{zi}}{Q_{max}}\right)^m + \left(\frac{Q_{zi}}{Q_{max}}\right)^m - 1}, \quad (6)$$

где  $\zeta_{zi} Q_{zi}$  — к.п.д.  $z$ -го канала (или системы) в  $j$ -ю декаду при пропуске расхода  $Q_{zi}$ ;

$\zeta_{zi} Q_{max}$  — то же при пропуске максимального расхода  $Q_{max zj}$ .

### 2. С использованием формулы С.А. Гиршкана:

$$\zeta_{zi} Q_{zi} = \frac{Q_{zi}}{Q_{zi} + 0,063 k_z \cdot \gamma_{zi} \sqrt{Q_{zi}} \cdot l_z}, \quad (7)$$

где  $\zeta_{zi} Q_{zi}$  — к.п.д.  $z$ -го канала (или системы) при пропуске расчетного расхода  $Q_{zi}$  (расхода нетто) в  $j$ -ю декаду;

$k_z$  — коэффициент фильтрации грунта ложа  $z$ -го канала;

$\gamma_{zi}$  — поправочный коэффициент на глубину залегания грунтовых вод  $z$ -го канала в  $j$ -ю декаду;

$l_z$  — расчетная длина  $z$ -го канала в км.

Основная трудность расчета к.п.д. заключается в том, что: — расход канала (или расход нетто хозяйства) за декаду становится известным только во время расчета хозяйственного плана водопользования;

— в расчете требуется многократно вычислять выражения вида  $(Q_{zi})^m$ ;

— значения к.п.д. приходится определять самостоятельно и включать в план водопользования для дальнейших расчетов.

Предлагаемая программа позволяет рассчитывать к.п.д. каналов в четырех режимах со следующими составами исходной информации:

Режим I. К.п.д. при максимальном расходе канала, максимальный и расчетный расходы канала.

Режим II. К.п.д. при максимальном расходе канала (или хозяйства), максимальный расход канала (или хозяйства), расчетные декадные расходы нетто канала (или хозяйства).

Режим III. Номера участка и варианта, коэффициент фильтрации, поправочный коэффициент на глубину залегания грунтовых вод, длина канала и расчетный расход воды.

Режим IV. Номера участка и варианта, коэффициент фильтрации, поправочный коэффициент на глубину залегания грунтовых

вод, длина канала и расчетные декадные расходы нетто канала (или хозяйства).

Расчетные значения к.п.д. по требованиям могут выдаватьсь отдельно для практического применения (табл. 3 и 4) или же определяться автоматически во время расчета хозяйственных планов водопользования.

Таблица 3  
К.п.д. канала по С.Р. Оффенгендену  
(Режим I)

$t$	$\zeta_{zj} Q_{max}$	$Q_{max zj}$	$Q_{zj}$	$\zeta_{zj} Q_{zj}$
0,4	0,950	2,8	2,8	0,950
0,5	0,980	1,5	1,2	0,979
0,3	0,985	0,9	0,5	0,982

Программа расчета написана на алгоритмическом языке "ФОРТРАН" для ЭВМ "Минск-32". Время работы программы для вычисления одного значения к.п.д. составляет примерно 20 секунд.

Блок-схема расчета к.п.д. каналов (или системы) показана на рис. 2.

Таблица 4

К.п.д. канала по С.А. Гиршкану  
(Режим III)

Исходные данные			Расчетные данные		
Расход, $m^3 / с$	К.Ф., м/сутки	Глубина затека- ния грунто- вых вод, м	Длина канала км	$y =$ $F(Q, H)$	потери, $m^3 / с$
0,3	0,20	1,0	1,0	0,00	0,00690 0,3 0,978
0,3	0,20	1,0	5,0	0,00	0,03451 0,3 0,897

Программа имеет следующие ограничения:

- количество расчетных участков канала в одном заказе - не более 100, декад - не более 36.

Программы расчета ординат гидромодулей, поливных заданий и к.п.д. оросительных каналов работают самостоятельно и не-

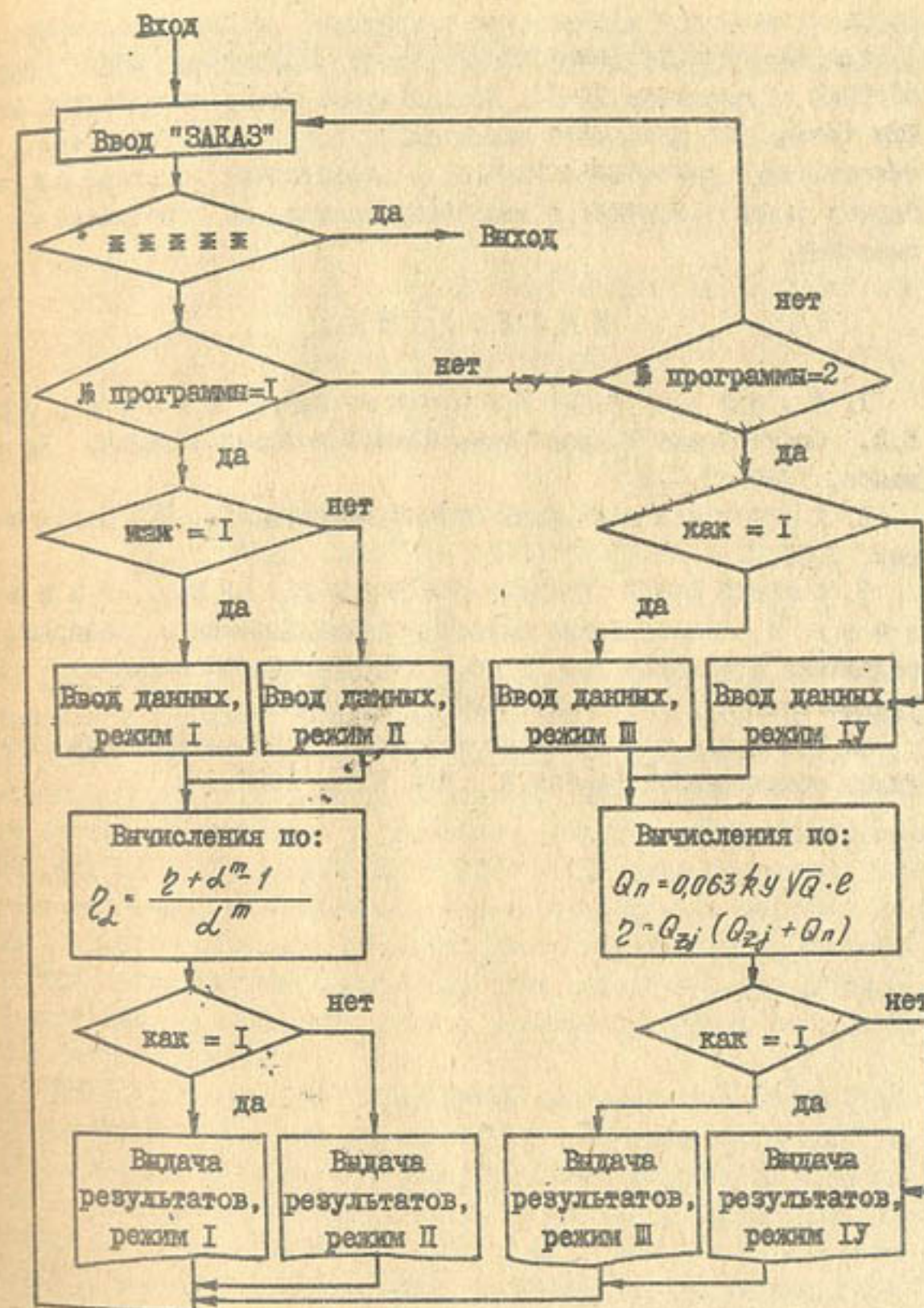


Рис. 2. Блок-схема расчета к.п.д. оросительных каналов (или системы) по С.Р. Оффенгендену и С.А. Гиршкану на ЭВМ "Минск-32"

посредственно под управлением оператора. В них используются стандартные подпрограммы ввода-вывода информации библиотеки ФОРТРАН (транслятор ТФ-1). Предлагаемые программы расчета на ЭВМ "Минск-32" позволяют значительно сократить ручной труд, обеспечивают высококачественное и оперативное составление планов водопользования и водораспределения на оросительных системах.

#### ЛИТЕРАТУРА

1. Епихин В.К., Кошкин В.В., Миллеров К.В. Составление и проведение планов водопользования. Душанбе, "Ирфон", 1971.
2. Костяков А.Н. Основы мелиораций. М., Сельхозгиз, 1960.
3. Сапаров Б., Коваленко Р.И., Какалмов А. Составление планов водопользования и водораспределения с помощью ЭВМ. В сб.: "Эффективность орошения в Туркменистане". Ашхабад, НИЭИ с ВЦ, 1976.
4. Технические указания по проектированию каналов оросительных систем. М., МСХ ТССР, 1955.

УДК 626.842.004.1(0.84.3-36)(255)

Инж. Ю.П. ЛИТВИНОВ,  
кандидат техн. наук  
В.А. НОВИШКИЙ, Б. САПАРОВ

#### МЕТОДИКА РАЙОНИРОВАНИЯ ОРОШАЕМОЙ ТЕРРИТОРИИ ПО ВЕЛИЧИНЕ УДЕЛЬНЫХ ФИЛЬТРАЦИОННЫХ ПОТЕРЬ ВОДЫ ИЗ КАНАЛОВ ВНУТРИХОЗЯЙСТВЕННОЙ СЕТИ

Оросительные каналы по своей пропускной способности, протяженности, режиму работы, техническому состоянию и другим особенностям характеризуются большим разнообразием. Они проходят в грунтах различного возраста, генезиса литологического состава и находятся в различных гидрогеологомелиоративных условиях. Поэтому и фильтрация из каналов протекает весьма различно, обусловливая строго определенные величины потерь, соответствующие данным конкретным условиям. Следовательно, зная величину фильтрационных потерь воды из каналов, можно было бы обобщенно оценить имеющиеся условия на орошаемых территориях.

Однако повсеместное определение фактических величин фильтрационных потерь воды из каналов и тем самым обобщенный учет всего комплекса различных факторов возможны лишь на крупных магистральных и межхозяйственных каналах, протяженность которых составляет не более 5 м/га. На каналах внутрихозяйственной сети из-за их большой протяженности, достигающей 20-25 м/га и более, выполнение такой работы практически невозможно.

В то же время для своевременной разработки и осуществления инженерных мероприятий по повышению эффективности ороша-

емого земледелия необходимо, хотя бы обобщенно, знать имеющиеся условия на орошаемых территориях. В связи с этим и ами разработана методика районирования орошаемой территории по величине удельных фильтрационных потерь воды из каналов внутрихозяйственной сети, которая при минимальном объеме гидрометрических измерений и наблюдений позволяет установить достаточно надежные величины фильтрационных потерь и коэффициентов полезного действия каналов.

В основу предлагаемого метода положен принцип определения величины фильтрационных потерь воды из каналов путем применения формул подобия, которые достоверно известные значения потерь воды из одних каналов позволяют распространять на другие с учетом их конкретных условий. При этом для практического применения получены расчетные зависимости, соответствующие конкретным стадиям фильтрации из каналов.

В стадии установившейся свободной фильтрации потери воды из каналов на фильтрацию по А.Н. Костакову [3] определяются по формуле:

$$Q_\varphi = k(B + 2h\sqrt{1+m^2}), \quad (I)$$

где  $k$  — коэффициент фильтрации;  
 $B$  — ширина канала по дну;  
 $h$  — глубина воды в канале;  
 $m$  — заложение откосов.

Из отношения двух уравнений вида (I) получим:

$$Q_x = Q - \frac{\beta_k}{\beta_x}, \quad (2)$$

где  $Q$  — известная величина потерь воды на фильтрацию из канала;  
 $Q_x$  — величина потерь воды, определяемая для другого канала;  
 $\beta_k$  — коэффициент, определяемый по карте, на которую нанесены плановое положение внутрихозяйственных каналов и коэффициенты фильтрации грунтов зоны аэрации:

$$\beta_k = \frac{k_x}{k};$$

$\beta_x$  — коэффициент, определенный по известным параметрам каналов:

$$\beta_x = \frac{\chi}{\chi_x}$$

здесь  $\chi$  — смоченный периметр канала.

Нельзяясь формулой (2), можно определить удельные фильтрационные потери воды из одного канала, имея данные по другому, и районировать орошаемую территорию по их величине.

В стадии установившейся подпретой фильтрации, при отсутствии испарения с поверхности грунтовых вод потери воды из каналов на фильтрацию определяются по формуле [2]:

$$Q = \frac{2\varphi L \beta}{L}, \quad (3)$$

где

$\varphi$  — фильтрационная проводимость грунтов;

$$\varphi = k \cdot T_{cr} \cdot H_0;$$

$T_{cr}$  — средняя мощность фильтрационно-грунтового потока;

$H_0$  — глубина залегания грунтовых вод;

$L$  — длина оттока;

$L, \beta$  — коэффициенты, учитывающие условия движения фильтрационного потока при выходе из канала и входе в дренирующий сток, по С.Ф.Аверьянову [1].

Тогда отношение удельных фильтрационных потерь воды из двух различных каналов будет:

$$\frac{Q_x}{Q} = \frac{\varphi_x \cdot L}{\varphi L_x} \cdot \frac{\beta_x \beta_x}{\beta \beta}.$$

Отсюда получим:

$$Q_x = \frac{Q \cdot \beta_\varphi}{\beta_x}, \quad (4)$$

где  $\beta_\varphi$  — относительная фильтрационная проводимость грунтов:

$$\beta_\varphi = \frac{\varphi_x}{\varphi};$$

$\xi_L$  - относительная длина оттока фильтрационно-грунтовых вод:

$$\xi_L = \frac{L_x}{L}$$

При близком залегании уровня грунтовых вод определенная часть их расходуется на суммарное испарение. Величина этого испарения при его наиболее реальной квадратичной зависимости от глубины залегания фильтрационно-грунтовых вод равна [2]:

$$Q_u = \frac{2}{3} \ell_u E_u . \quad (5)$$

где

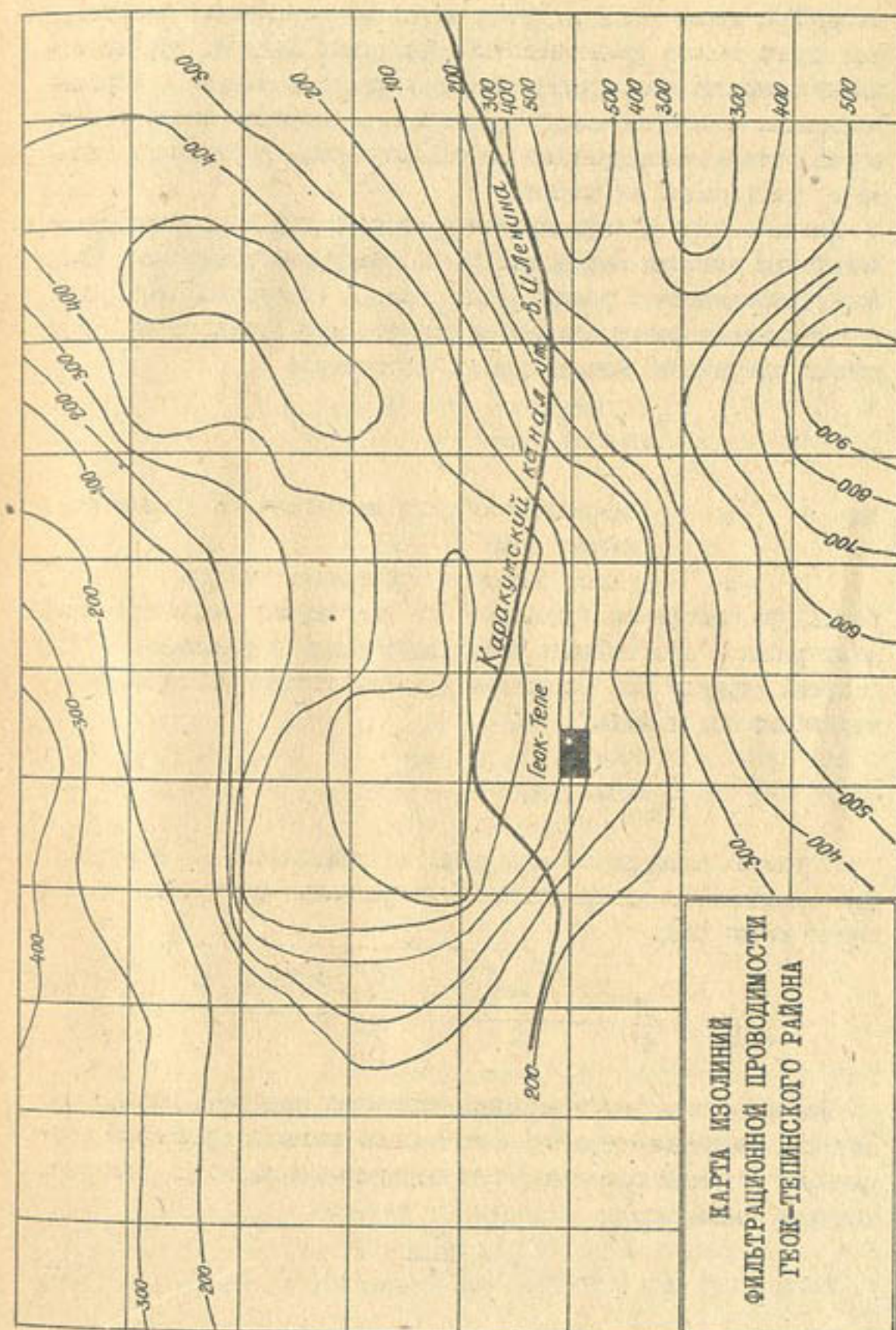
$\ell_u$  - длина фильтрационно-грунтового потока, с поверхности которого происходит испарение;

$E_u$  - интенсивность максимально возможного испарения с поверхности фильтрационно-грунтовых вод.

Тогда формулу (4) с учетом суммарного испарения с поверхности фильтрационно-грунтовых вод получим в виде:

$$Q_x = \frac{Q (\xi_\phi + \frac{1}{3} \ell_u^x E_u^x)}{\xi_L + \frac{1}{3} \ell_u E_u} . \quad (6)$$

При определении фильтрационных потерь воды из каналов по формулам (4) и (6) используется карта фильтрационной проводимости (см. рисунок), которая составляется следующим образом: при глубоком залегании водоупора и близком расположении уровня грунтовых вод среднюю мощность грунтового потока без большой погрешности можно заменить глубиной залегания водоупора. На карты глубин залегания уровня грунтовых вод и фильтрационной проводимости (КГ) исследуемой территории наносят сетку так, чтобы узлы ее соответствовали друг другу. Затем, взяв с карт значения Но и КГ для всех узлов сетки, вычисляют фильтрационную проводимость в соответствующих узлах и проводят на карте линии равных значений величины фильтрационной проводимости, т.е. выполняют районирование по величине фильтрационной проводимости гру-



итов. При этом, если водоупор залегает на глубине большей, чем длина оттока фильтрационно-грунтовых вод, то при вычислении величины фильтрационной проводимости вместо глубины залегания водоупора следует принимать значение длины оттока с тем, чтобы незаслуженно не завышать роль грунтового потока в фильтрации из канала.

Длина оттока фильтрационно-грунтовых вод в зависимости от имеющихся условий определялась из следующих уравнений. Так, при установившемся режиме фильтрации и отсутствии испарения с поверхности фильтрационно-грунтовых вод потери воды из канала могут быть определены из уравнения:

$$Q_{om} = k \cdot i_o \cdot T_0, \quad (7)$$

где  $T_0$  — глубина залегания водоупора от уровня грунтовых вод;  
 $i_o$  — уклон бытового грунтового потока.

Тогда, рассматривая уравнение (3) для случая односторонней фильтрации и приравнивая его правую часть к выражению (7), получим формулу для определения длины оттока фильтрационно-грунтовых вод в виде:

$$L_{om} = \beta \alpha \frac{H_0}{i_o} \cdot \frac{T_{cp}}{T_0}. \quad (8)$$

С учетом суммарного испарения по уравнению (5) формула для определения длины оттока фильтрационно-грунтовых вод будет иметь вид:

$$L_{om} = \frac{3}{4} \cdot \frac{\sqrt{(k i_o T_0)^2 + \frac{8}{3} E_u k \varphi d H_0 T_{cp}} - k i_o T_0}{E_u} \quad (9)$$

Длина оттока фильтрационно-грунтовых вод приближенно может быть определена и по соотношению площади орошаемой территории и общей протяженности внутрихозяйственных каналов, которое имеет вид:

$$L_{om} = \frac{10^4}{2\ell} \quad (10)$$

где

$\ell$  — протяженность внутрихозяйственных каналов на один гектар.

Однако формулой (10) следует пользоваться лишь в тех случаях, когда по тем или иным причинам нельзя использовать другие, более точные зависимости, например, уравнения (8) и (9).

При районировании орошаемых территорий иногда возникает необходимость оценки удельных фильтрационных потерь воды из каналов, фильтрация из которых протекает в различных режимах. Такой подход может быть осуществлен по отношению соответствующих расчетных формул. Например, из отношения зависимостей (1) и (3) получим формулы перехода от подпиркой к свободной и от свободной к подпиркой фильтрации, имеющие соответственно вид:

$$Q_{n.c.b.} = \frac{Q k_x \chi_x L}{2\varphi}$$

и

$$Q_{c.b.n} = \frac{2 Q_{c.b.} \varphi_x}{k_x L_x}$$

Аналогично по формуле С.Ф. Аверьянова /1/ и уравнению (5) получим зависимости для перехода от подтопленной фильтрации /4/ к свободной и наоборот с учетом суммарного испарения с поверхности фильтрационно-грунтовых вод:

$$Q_{p.o.d.c.b.} = \frac{Q k_x \chi_x}{1,128 \left( \frac{\varphi}{L} + \frac{2}{3} E_u \ell_u \right)}$$

и

$$Q_{c.b.p.o.d.} = \frac{1,128 \left( Q_{c.b.} \frac{\varphi}{L} + \frac{2}{3} E_u \ell_u \right)}{k_x \chi}$$

Сопоставление расчетных показателей, полученных по предлагаемой методике, с данными натурных исследований, выполненных авторами в хозяйствах Геок-Тепинского района Ахшабадской области Туркменской ССР, показало, что они близки друг к другу (см. таблицу). Наибольшее расхождение расчетных и фактических величин удельных фильтрационных потерь воды из каналов не превышает 15-20 %, что для прогнозных и

## Сопоставление потерь воды из каналов

Коэффициент фильтрации, м/с	Смоченный периметр фильтрации, м	Режим фильтрации, м	Длина оттока, м	$\frac{k}{k_X}$	Потери, м/с	Коэффициент фильтрации, м/с	Потери, м/с	Клиент несогласный расчет фактические
0,10	3,00	350	свободный	-	-	0,0130	0,0091	+1,10
0,16	3,20	350	подшерстий	3000	-	-	0,0101	0,0091
0,10	3,00	300	свободный	-	1,0	1,000	0,0130	0,0130
0,10	1,60	500	свободный	-	1,0	1,875	0,533	0,0070
0,06	1,50	400	свободный	-	0,6	2,000	0,300	0,0390
							0,0370	+1,054

\* Известные данные первой строки принимались за исходные показатели для расчетов, остальные условно считались искомыми.

эксплуатационных расчетов является вполне допустимым.

Таким образом, удельные фильтрационные потери воды по предлагаемой методике могут быть определены на всех каналах внутрихозяйственной сети и по их величине произведено районирование орошаемой территории. При необходимости орошаемая территория может быть районирована и по величине коэффициентов полезного действия каналов. Такое районирование орошаемой территории позволит наиболее обоснованно и оперативно составлять планы водопользования и водораспределения и своевременно разрабатывать и осуществлять мероприятия по дальнейшему совершенствованию эксплуатации оросительных систем.

## ЛИТЕРАТУРА

1. Аверьянов С.Ф. Фильтрация из каналов и ее влияние на режим грунтовых вод. В сб.: "Влияние оросительных систем на режим грунтовых вод", вып. I, изд. АН СССР, 1956.
2. Бакашев Н.А., Новицкий В.А., Сапаров Б. Некоторые вопросы фильтрации и колматации русла каналов. Алхабад, "Ылым", 1973.
3. Костяков А.Н. Основы мелиорации. М., Сельхозиздат, 1971.
4. Новицкий В.А. Некоторые критериальные и расчетные зависимости фильтрации из каналов. Автореферат кандидатской диссертации. М., 1974.

расходуется на повышение горизонта воды и идет на фильтрацию из водохранилища. Тогда:

$$q = \frac{dH}{dt} + k(1 + \frac{H}{m}),$$

где

$q$  — удельный расход воды, подаваемый на единицу площади водохранилища за вычетом испарения с водной поверхности;

$H$  — напор воды в момент времени  $t$ ;

$k$  — коэффициент фильтрации грунтов или антифильтрационного экрана;

$m$  — мощность покровного малопроницаемого слоя.

Отсюда для условия  $H=H_0$  при  $t=0$  получим:

$$H = H_0 + \frac{m}{k}(q - v_0) \left[ 1 - \exp\left(-\frac{k}{m}t\right) \right], \quad (I)$$

где

$v_0$  — начальный удельный расход фильтрации:

$$v_0 = k(1 + \frac{H_0}{m});$$

$H_0$  — напор, создаваемый оставшимся в водохранилище объемом воды.

Зависимость (I) позволяет определить горизонт (следовательно, и объем) воды в водохранилище для любого момента времени  $t$  при удельной водоподаче  $q$ .

Из этого уравнения продолжительность водоподачи  $t_1$ , до достижения проектной отметки  $H_1$  при постоянной удельной водоподаче  $q$  будет:

$$t_1 = \frac{m}{k} \ln \left[ 1 + \frac{H_1 - H_0}{\frac{m}{k}(q - v_1)} \right], \quad (2)$$

где

$v_1$  — конечный удельный расход фильтрации:

$$v_1 = k(1 + \frac{H_1}{m}).$$

Если для установления мощности гидромеханического оборудования насосных станций или в связи с какими-то другими обстоятельствами необходимо определить величину удельной водоподачи, обеспечивающей достижение проектной отметки  $H_1$  за какой-то установленный срок  $t_1$ , то следует воспользоваться фор-

УДК 626.212.001.24

Математик М.Ч. ГАРАГУЛОВ,  
канд. техн. наук Б. САЛАРОВ

### К РАСЧЕТУ СВОБОДНОЙ ФИЛЬТРАЦИИ ПРИ ПОВЫШЕНИИ ГОРИЗОНТА ВОДЫ

С развитием орошаемого земледелия все больший размах получает строительство водохранилищ. В результате сезонного или многолетнего регулирования стока рек водохранилищами горизонты воды в последних постоянно изменяются. При этом максимальные горизонты воды обуславливают наибольшие, а минимальные — наименьшие потери ее из водохранилищ. Соответственно изменяется и коэффициент полезного действия их. Учет фильтрационных потерь воды по максимальному горизонту приводит к преждевременному заполнению водохранилищ, по минимальному — к не полному заполнению их в установленные сроки. При использовании среднего горизонта не удается установить величину и знак погрешности расчетов.

Учет повышения горизонта воды в водохранилищах и каналах особенно важен при механическом водоподъеме, когда от количества и сроков водоподачи зависит мощность гидромеханического оборудования и режим эксплуатации насосных станций. Однако отсутствие решений не позволяет в расчетах фильтрации учитывать повышение горизонта воды.

В результате рассмотрения двухслойного строения грунтов водоносной толщи, часто встречающегося при осуществлении антифильтрационных мероприятий, нами получено решение для учета повышения горизонта воды в расчетах фильтрации. Допустим, что удельная водоподача за вычетом испарения с водной поверхности

мудой:

$$q = \frac{v_f - v_0 \exp(-\frac{k}{m}t)}{1 - \exp(-\frac{k}{m}t)} \quad (3)$$

Фильтрационные потери из водохранилища в период его наполнения могут быть определены по следующему балансовому уравнению:

$$S = qt - \frac{m}{k}(q - v_0) [1 - \exp(-\frac{k}{m}t)], \quad (4)$$

где  $S$  — слой воды, фильтрующейся из водохранилища за время.

Отсюда для определения удельного расхода фильтрации получим формулу в виде:

$$v = v_0 + (q - v_0) [1 - \exp(-\frac{k}{m}t)]. \quad (5)$$

Следует отметить, что при отсутствии водоподачи ( $q = 0$ ) из уравнения (4) получим формулу А.Н. Костякова\*, имеющую вид:

$$S = (m + H_0) [1 - \exp(-\frac{k}{m}t)]$$

Если в водохранилище подается расход  $q > v_f$ , то фильтрационные потери растут от  $v = v_0$  при  $t = 0$  до

$v = v_f$  при  $t = t_1$ , что видно из формул (2) и (5). При этом функция  $v(t)$  является выпуклой (рис. I), поскольку вторая производная при любом  $t$  отрицательна:

$$v''(t) = -\left(\frac{k}{m}\right)^2(q - v_0)\exp(-\frac{k}{m}t) < 0.$$

В случае отсутствия водоподачи, как видно из формулы А.Н. Костякова, функция  $v(t)$  убывает и является вогнутой (рис. I):

$$v''(t) = \left(\frac{k}{m}\right)^2(m + H_0)\exp(-\frac{k}{m}t) > 0.$$

\* А.Н. Костяков. Основные элементы расчета осушительных систем. М., 1916.

Расчет фильтрационных потерь из водохранилища по среднему напору воды  $H_{ср} = 0,5 \cdot (H_0 + H_f)$  приводит к некоторому занижению значения  $S(t)$ . Поэтому найденную таким путем величину фильтрационных потерь в предварительных расчетах можно принять за нижний предел изменения их значений. Наибольшие величины потерь определяются по максимальному горизонту воды:

$$S_{max} = v_f \cdot t$$

Отметим, что приведенные решения могут быть использованы и для определения коэффициента фильтрации грунтов. Так, из зависимости (I) для двух моментов времени и получим два уравнения:

$$H'(t_1) = (q - v_0) \exp(-\frac{k}{m}t_1), \quad (6)$$

$$H'(t_2) = (q - v_0) \exp(-\frac{k}{m}t_2). \quad (7)$$

Совместно решая эти уравнения, после некоторого преобразования получим следующую формулу для определения коэффициента фильтрации грунтов по данным налива воды в шурфы:

$$k = \frac{m}{t_2 - t_1} \cdot \ln \frac{H'(t_1)}{H'(t_2)}. \quad (8)$$

Для определения коэффициента фильтрации по формуле (8) нет необходимости иметь весь график кривой  $H(t)$  как обычно (рис. 2). Достаточно иметь несколько значений скорости  $H'(t)$  и время замеров этих скоростей для вычисления

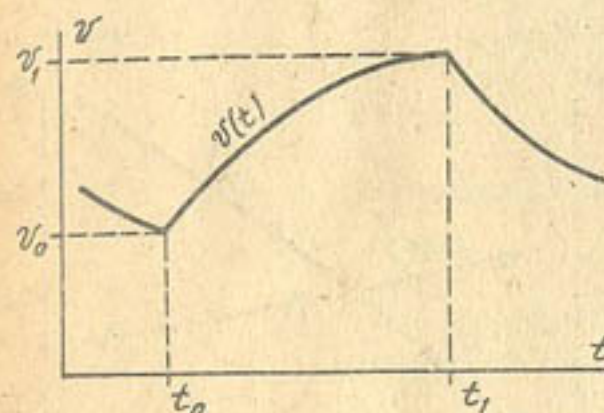


Рис. I. Динамика фильтрационных потерь из водохранилища

разности  $t_2 - t_1$ . При этом, по данным одного и того же опыта, коэффициент фильтрации грунтов можно определять многократно, избегая случайные ошибки.

В заключение отметим,

что для начальных моментов времени, когда  $k t \ll m$ , выведенные формулы значительно упрощаются и имеют вид:

$$H = H_0 - (q - v_0) \cdot t,$$

отсюда

$$t = \frac{H - H_0}{q - v_0};$$

$$q = v_0 + \frac{H - H_0}{t};$$

-формула (4):

$$S = v_0 t;$$

-формула (5)

$$v = v_0 + \frac{k}{m} (q - v_0) t;$$

-формулы (6) и (7):

$$H'(t_1) = (q - v_0) \left( 1 - \frac{k}{m} t_1 \right),$$

$$H'(t_2) = (q - v_0) \left( 1 - \frac{k}{m} t_2 \right),$$

отсюда:

$$k = \frac{H'(t_1) - H'(t_2)}{t_2 H'(t_1) - t_1 H'(t_2)} \cdot m.$$

Таким образом, полученные решения позволяют специалистам более обоснованно рассчитывать свободную фильтрацию из водохранилищ и определять коэффициенты фильтрации грунтов с учетом повышения горизонта воды.

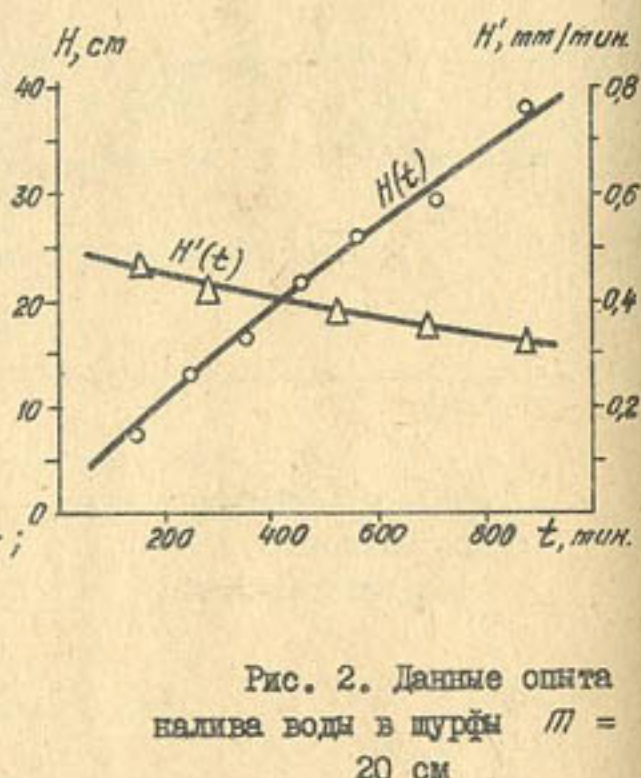


Рис. 2. Данные опыта налива воды в щурфы  $m = 20$  см

УДК 551.49.018/491.7

Математик М.Ч. ГАРАГУЛОВ

### К МЕТОДИКЕ ОПРЕДЕЛЕНИЯ ФИЛЬТРАЦИОННЫХ ХАРАКТЕРИСТИК ГРУНТОВ ЗОНЫ АЭРАЦИИ

Коэффициент фильтрации ( $K$ ), недостаток насыщения ( $\mu$ ) и высота капиллярного поднятия ( $H$ ) являются основными параметрами грунтов зоны аэрации при фильтрационных расчетах. Правильное их определение в значительной мере гарантирует достоверность прогнозов.

Из всех методов определения коэффициента фильтрации (табличные, расчетные, лабораторные и полевые) несомненное преимущество имеют способы определения его в естественных условиях опытными наливами.

Переменность градиента потока при этом учитывается уравнением неустановившейся свободной фильтрации [8]:

$$\mu \frac{d\theta}{dt} = k \left( 1 + \frac{H + \beta H_k}{e} \right), \quad (I)$$

где

$e$  — глубина промачивания грунта в момент времени  $t$ ;

$H$  — глубина воды над зоной аэрации в тот же момент времени;

$\beta$  — коэффициент, учитывающий степень влияния капиллярных сил на скорость впитывания (по Н.Н. Биндерману [2]  $\beta = 0,5$ ).

Использование уравнения (I) при обработке данных опытного налива, по исследованиям Н.Н. Веригина [6], дает возможность

производить наливы при любой мощности зоны аэрации, сократить длительность опытов, уменьшить потребный объем воды, определять недостаток насыщения и высоту капиллярного поднятия, находить коэффициент фильтрации грунтов зоны аэрации многократно по данным одного и того же налива (взаимоконтроль результатов опыта).

Для пользования методикой Н.Н. Веригина [6] нужно по зафиксированным в ходе опытного налива объемам впитывания  $W(t)$  и расходам фильтрации  $v(t)$  построить графики этих функций (рис. I). Расчет коэффициента фильтрации производится по объемам впитывания и расходам фильтрации, при этом оба расчета должны давать одинаковые результаты и контролировать друг друга. При обработке данных опытного налива по объемам впитывания применяется также методика Н.Н. Биндемана [3]. Коэффициент фильтрации при этом вычисляется по формуле:

$$k = Z \cdot \frac{W_*}{F \cdot t_*}, \quad (2)$$

где  $F$  — площадь учетного кольца;

$W_*$  — объем впитавшейся в грунт воды за время  $t_*$ ;

$Z = \frac{G(x)}{x}$ ;  $x$  — находится из параметрического уравнения:

$$G(\rho x) - q \cdot G(x) = 0, \quad (3)$$

где  $\rho = \frac{W}{W_*}$ ,  $q = \frac{t}{t_*}$ ;

$$G(x) = x - \ln(1+x). \quad (5)$$

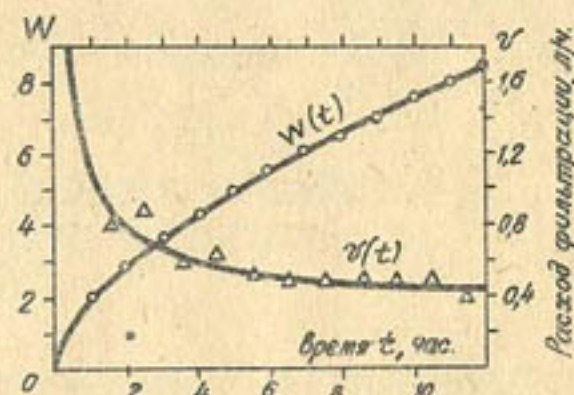


Рис. I. Данные опыта налива (по Н.Н. Биндеману)

При вычислении коэффициента фильтрации по предлагаемой методике нужно:

Следует отметить, что Н.Н. Биндеман [3] рассматривает то — лько частный случай ( $P=0,5$ ) уравнения (3), общий случай которого был рассмотрен еще в 1946 г. Н.Н. Веригиным [6].

Проведенный нами анализ уравнения (3) показывает, что при малых величинах  $X$  эталонные кривые для определения значения  $Z$  лучше всего строить с помощью зависимости:

$$q = \frac{G(\rho x)}{G(x)}, \quad (6)$$

не для переменной  $0 < X < \infty$ , а для переменной  $x$  в интервале  $(0; 1)$ .

Эталонные кривые для определения значения  $Z$  (рис. 2) показывают, что условием разрешимости параметрического уравнения (3) является неравенство

$$\rho^2 \leq q \leq P,$$

которое легко получается из уравнения (3) по правилу Лопиталя:

$$\lim_{x \rightarrow 0} q = \lim_{x \rightarrow 0} \frac{G(\rho x)}{G(x)} \rho^2 \lim_{x \rightarrow 0} \frac{x+1}{\rho x+1},$$

откуда:

$$\lim_{x \rightarrow 0} q = \rho^2 \text{ и } \lim_{x \rightarrow \infty} q = P$$

Из этого следует, что предложенная Н.Н. Биндеманом [3] методика применима только в интервале  $2 \leq t_* / t \leq 4$ .

При вычислении коэффициента фильтрации по предлагаемой методике нужно:

а) взять любую точку по оси  $t$  и зафиксировать ее ( $t_*$ ), затем из графика кривой  $W(t)$  найти объем впитывания  $W_*$ , соответствующий выбранному значению  $t_*$ ;

б) по известной площади дна зумпфа  $F$  и по зафиксированным  $t_*$  и  $W_*$  найти отношение  $W_*/(F \cdot t_*)$  необходимое для формулы (2);

в) вычислив несколько значений  $t/t_*$  и  $W/W_*$  и нанеся на эталонные кривые (рис. 2) эти точки, определить значение  $Z$  и по формуле (2) вычислить коэффициент фильтрации.

Для проверки предлагаемого способа нами произведена обработка данных опытного налива в легкие суглинки [3]. При использовании нашего метода обработки по данным налива про-

длительностью 4 часа получено полное совпадение результатов в сравнении с продолжительностью опыта 12 часов.

Обработка кривой  $v(t)$  по уравнениям неустановившегося движения должна давать такой же результат. В настоящее время имеется только одна методика для обработки кривой  $v(t)$ , основанная на теории неустановившейся свободной фильтрации, разработанная Н.Н. Веригиным [6]. Эта методика включена в методические указания [7].

Анализ решения уравнения (I) показал, что исходная зависимость,ложенная в основу предложенной Н.Н. Веригиным [6] методики, выведена с помощью неверного допущения:

$$\frac{v_* - RF}{v - RF} = \frac{v_*}{v},$$

которое приводит к ошибочным результатам. Модифицируя известное уравнение В.В. Веденникова [5] для определения коэффициента фильтрации зоны аэрации по данным опытных наливов и вводя обозначения:

$$\rho = \frac{v_*}{v}, \quad q = \frac{t}{t_*} \quad \text{и} \quad \gamma = \frac{RF}{v_*}, \quad (7)$$

получим:

$$G\left(\frac{\rho\rho}{1-\rho\rho}\right) - qQ\left(\frac{\gamma}{1-\gamma}\right) = 0 \quad (8)$$

При вычислении коэффициента фильтрации по предлагаемой методике нужно:

а) взять любую точку по оси  $t$  и зафиксировать ее ( $t_*$ ), затем из графика кривой  $v(t)$  (рис. I) найти расход фильт-

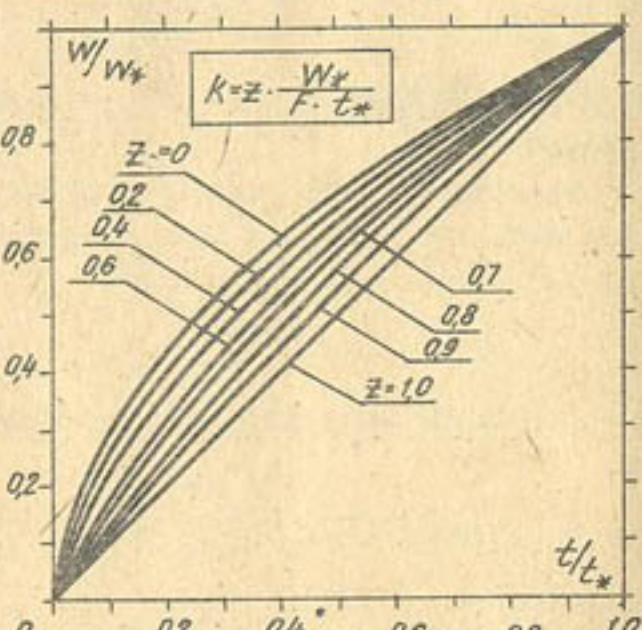


Рис. 2. Эталонные кривые для определения значения  $z$

рации  $W$ , соответствующий выбранному значению  $t_*$ ;

б) вычислив несколько значений  $t/t_*$  и  $v/v_*$  и нанеся на эталонные кривые (рис. 3) эти точки, определить значение  $\gamma$

и затем по формуле (7) вычислить коэффициент фильтрации. Проверка предложенного способа обработки кривой (рис. I)  $v(t)$  показала, что обе методики обработки (по объемам и по расходам) дают практически одинаковую величину коэффициента фильтрации. Это позволяет рекомендовать их для практического использования.

Эталонные кривые для определения значения  $\gamma$  (рис. 3) показывают, что условием разрешимости параметрического уравнения (8) является неравенство:

$$\sqrt{q} < P \leq 1,$$

которое легко получается из уравнения (8) по правилу Лопиталя. Из условия разрешимости уравнения (8) следует, что общизвестная методика А.К. Болдырева [4] является предельным случаем (при  $P = 1$ ) предлагаемой нами методики, поэтому параметр  $\gamma$  можно рассматривать как поправочный коэффициент к формуле А.К. Болдырева.

Следует иметь в виду, что предлагаемая методика может применяться только в случаях, когда опытные точки попадают в область эталонных кривых  $z$  и  $\gamma$  (рис. 2 и 3).

Для определения недостатка насыщения  $\mu$  и высоты капилярного поднятия  $H_K$  нужно знать, хотя бы для одного момента времени  $t$ , глубину промачивания  $e$  [3, 6]. Однако величины  $\mu$  и  $H_K$  можно определить и при неизвестной глубине про-

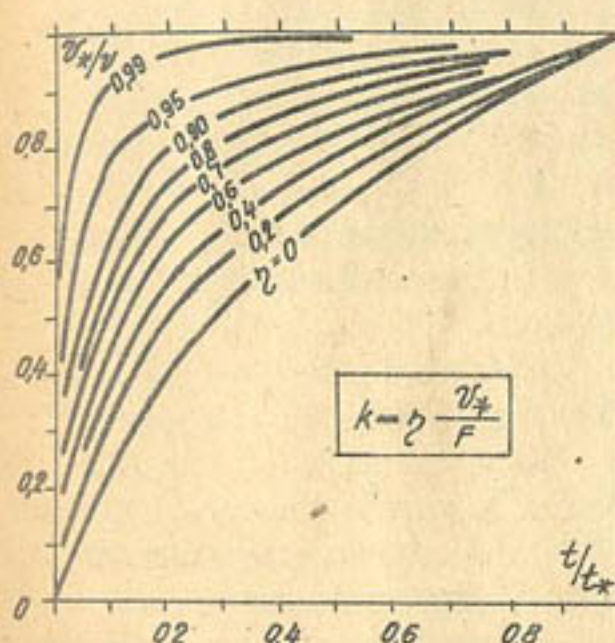


Рис. 3. Эталонные кривые для определения значения  $\gamma$

мачивания следующим образом. Уравнение с двумя неизвестными  $\mu$  и  $H_K$ :

$$H + \beta H_K = \left( \frac{V}{kF} - 1 \right) \frac{W}{\mu \cdot F} \quad (9)$$

после преобразования имеет вид [1]:

$$VW = kF \cdot W + A. \quad (10)$$

Это выражение представляет собой уравнение прямой в координатах  $VW-W$  с наклоном  $kF$ , отсекающей на оси  $VW$  отрезок:

$$A = k \mu F^2 (H + \beta H_K). \quad (II)$$

Если во время опытного налива по высоте увлажнения стенки щурфа установить величину  $H_K$ , то с помощью зависимости (II) можно определить недостаток насыщения грунтов зоны аэрации. Проверка показала, что для рассматриваемого примера (рис. I) сумма  $H + \beta H_K = 1,15$  м [3], тогда из зависимости (II) получим  $\mu = 0,11$ , что совпадает с найденным в работе [3] значением недостатка насыщения.

### В И В О Д Ы

1. Методики Н.Н. Веригина и Н.Н. Биндемана для обработки кривой  $W(t)$  по теории неустановившейся свободной фильтрации обобщены и сведены к единой упрощенной методике (рис. 2).

2. Для обработки кривой  $V(t)$  предложена новая методика (рис. 3), которая показывает погрешность, которую имеет широко применяемая в практике методика А.К. Болдырева.

3. Совместное рассмотрение кривых  $W(t)$  и  $V(t)$  дает возможность получить одно уравнение для определения двух других фильтрационных характеристик ( $\mu$ ,  $H_K$ ) грунтов зоны аэрации, необходимых для расчета неустановившейся фильтрации.

### Л И Т Е Р А Т У Р А

1. Бадов В.В. Оценка водопроницаемости пород лабораторными и полевыми определениями. "Вестник Московского университета". Геология (серия IV), 1971, № 5.
2. Биндеман Н.Н. Определение коэффициента фильтрации горных пород методом инфильтрации из щурfov. М.-Л., Госэнергоиздат, 1947.
3. Биндеман Н.Н. Определение водопроницаемости горных пород методом инфильтрации при неустановившемся движении. - "Разведка и охрана недр", 1957, № 10.
4. Болдырев А.К. Опыты над фильтрацией в горных породах *in situ* в связи с проектом водохранилища на р. Чу в Туркестане. "Материалы по общей и прикладной геологии". Геологический комитет. Л., 1926, вып. 27.
5. Ведеников В.В. Фильтрация из каналов. М., Госстройиздат, 1934.
6. Веригин Н.Н. Методы определения фильтрационных свойств горных пород. М., Госстройиздат, 1962.
7. Методика гидрогеологических исследований при инженерно-геологических изысканиях. М., ЦНИИС Госстроя СССР, 1970.
8. Green W.A. Ampt G.A. Studies on soil physics.  
1. The flow of air and water through soils.  
*J. Agr. Sci.* 1911. vol. 4, p. 1-24.

тавом грунтовых вод проводятся по четырем створам, заложенным нормально к коллектору, с 1961 г.\* Однако до настоящего времени не определена зона его влияния, что и послужило причиной постановки данного вопроса.

Наблюдения по скважинам показывают, что изменения уровня залегания грунтовых вод на рассматриваемой территории обусловлены орошением, частотой полива сельскохозяйственных культур и подачей воды в оросительные каналы. Каково же влияние Главного левобережного коллектора на режим грунтовых вод?

Судя по данным наблюдений, полученным по скважине 548 в Карабекаульском створе, расположенной на расстоянии 600 м от внешней кромки долины и 43 м от Главного левобережного коллектора, уровень грунтовых вод, залегавший на глубине до 1 м, после ввода коллектора в эксплуатацию (1965 г.) снизился до глубины 3–4 м.

\* Режимные наблюдения в зоне Главного левобережного коллектора проводятся Амударьинским режимным отрядом / 4 /. Водовмещающие породы здесь состоят из аллювиальных отложений Амударии и континентальных отложений неогена. Верхний 2–3 – метровый слой более тяжелый, представлен супесями, суглинками и глинами (см. рисунок). Общая мощность амударинского аллювия колеблется в пределах 50–60 м на юге и 20–30 м на севере с коэффициентом фильтрации 15–25 м/сут. / 3, 5 /. Мощность залегающих ниже песчаников, глин и песков неогена с коэффициентом фильтрации 0,5–8,5 м/сут. изменяется в пределах рассматриваемого района от 30 до 500 м / 2 /. Ниже залегают отложения палеогена, представленные глинами, которые являются региональным водоупором. Грунтовые воды, приуроченные к неогенчетвертичным отложениям, представляют единый гидравлически связанный водоносный горизонт и находятся на глубине от 1–3 местами до 5 м. Питание грунтовых вод происходит за счет русловых потерь Амударии и ирригационных каналов, а также инфильтрации оросительных вод, расход – в основном и а подземный отток в сторону Каракумов и на суммарное испарение.

УДК 626.861:631.621

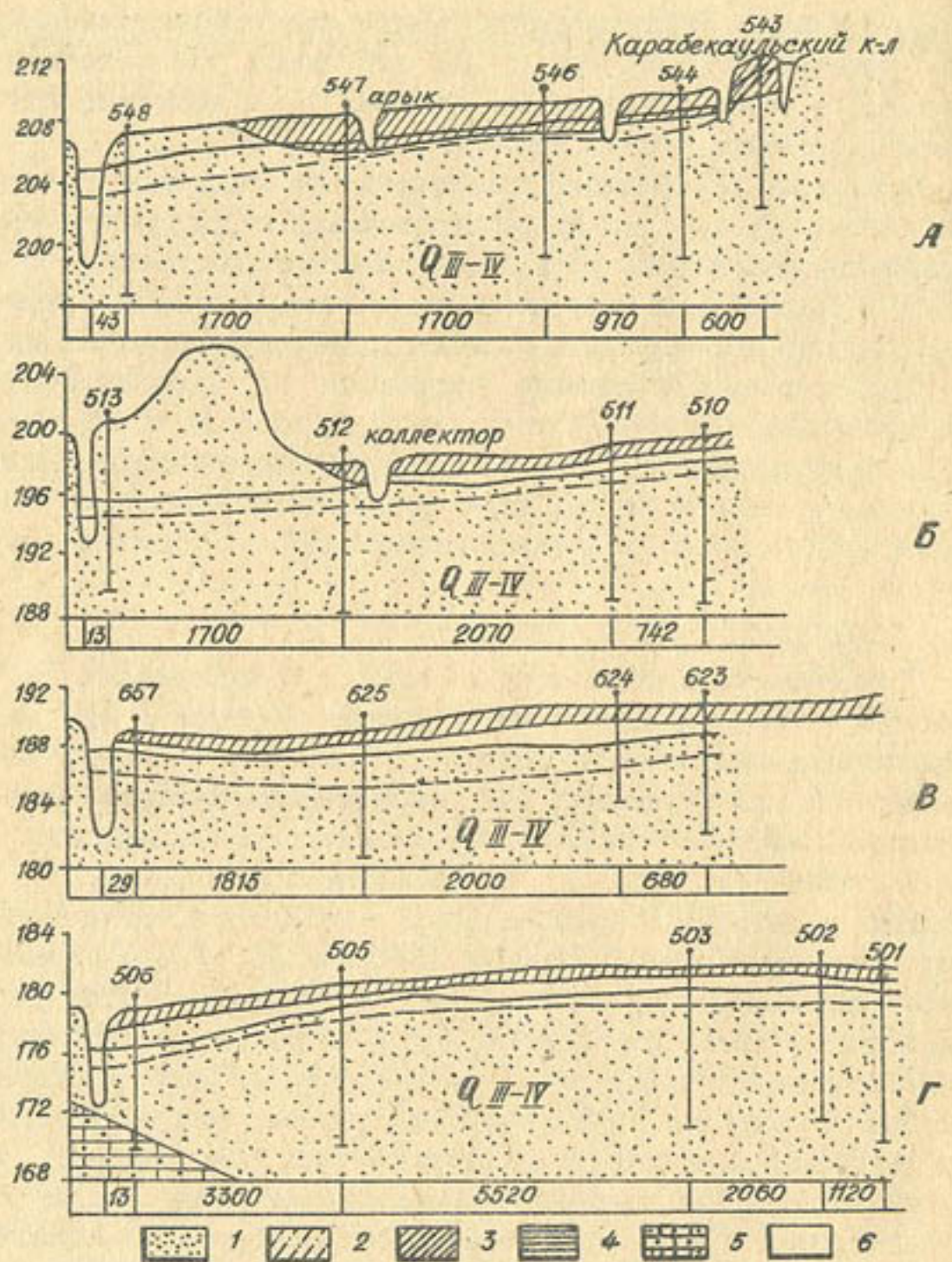
Гор. инж.-гидрогеолог Б. ДЖОРАЕВ

### ВЛИЯНИЕ ГЛАВНОГО ЛЕВОБЕРЕЖНОГО КОЛЛЕКТОРА НА РЕЖИМ ГРУНТОВЫХ ВОД

Чардоуский оазис – один из древних очагов земледельческой культуры в Средней Азии, где благоприятно сочетаются необходимые для сельскохозяйственного производства почвенные и климатические условия при наличии водных ресурсов. В оазисе возделывают более 100 сельскохозяйственных культур, добываясь высоких урожаев. Главная культура – хлопчатник.

В целях улучшения мелиоративного состояния орошаемых и прилегающих к ним земель с 1953 г. здесь развернулось строительство крупной мелиоративной системы Главного левобережного коллектора, сооружение которого было начато в 1961 г. Общая протяженность Главного левобережного коллектора от пос. Карабекаул до пос. Испаз (в 35 км северо-западнее пос. Дейнау) составляет 211,3 км при средней глубине 7–8 м. Он собирает дренажный сток карабекаульских, саятских, чардоуских и дейнауских коллекторов и сбрасывает его в Амударью. В период больших расходов реки дополнительным водоприемником служит естественная впадина Катта-Шор емкостью около 45 млн. м<sup>3</sup>, расположенная среди песков в 14 км северо-западнее пос. Дейнау.

С вводом в эксплуатацию Главного левобережного коллектора в зоне его влияния началось снижение уровня грунтовых вод, глубина залегания которых составляла здесь 0–2 м от поверхности земли, при их минерализации 12–15 г/л / 1, 6 /. Режимные наблюдения за уровнем, минерализацией и химическим сос-



Геологово-гидрогеологический профиль

по створам к Главному левобережному коллектору:

А - Карабекаульский створ, Б - Саятский, В - Чардоуский,  
Г - Московский; 1 - песок; 2 - супесь; 3 - суглинок; 4 -  
глина; 5 - песчаник; 6 - положение уровня грунтовых вод:  
сплошная линия - на максимум, пунктирная линия - на минимум

В сезонном колебании уровня грунтовых вод минимум стояния его приурочен к ноябрю-декабрю, максимум - к июню-июлю. Средняя скорость подъема за 1976 г. составила 9 см/месяц, спада - 13 см/месяц при высоте подъема и спада 64 см. Интенсивный спад уровня грунтовых вод в зоне влияния Главного левобережного коллектора происходил в период с 1965 по 1970 гг. С 1971 года колебания уровня грунтовых вод приобрели установившийся характер. Интенсивный спад грунтовых вод произошел в 1973 г. в результате очистки коллектора от наносов. С 1973 г. на прилегающей к Главному левобережному коллектору площади Карабекаульского створа, которая ранее характеризовалась как засоленный перелог, высевается кукуруза. В летнее время грунтовые воды на этой площади залегают на глубине 2,9-3,2 м при зоне влияния коллектора до 1700 м. В зимний период в связи с прекращением поливов и подачи воды в каналы уровень грунтовых вод понижается до глубины 3,3-3,5 м, а зона влияния коллектора увеличивается до 3000 м, что связано с уменьшением питания грунтовых вод.

Минерализация грунтовых вод вблизи скважины 548 за счет дренирующего воздействия Главного левобережного коллектора уменьшилась с II до 2 г/л. Особенно заметно это проявилось с 1973 г. с связи с освоением близлежащих площадей при грунтовых поливах и рассолением бывших перелогов и солончаков. В результате резкого снижения минерализации грунтовых вод изменился их химический состав - сульфатно-хлоридно-натриевый перешел в сульфатно-кальциевый.

В Саятском районе до строительства Главного левобережного коллектора уровень грунтовых вод находился почти на поверхности - 0-1 м (скважина 513 в 13 км от коллектора). Минимум стояния уровня приурочен к январю-началу февраля. С конца февраля до начала июня наблюдался подъем уровня грунтовых вод с максимумом в августе. Средняя скорость его подъема составляет 13 см/месяц, спада - 25 см/месяц при высоте подъема и спада 1,05 м. Подъем грунтовых вод обусловлен инфильтрацией ирригационных вод преимущественно в весенний период. Спад уровня грунтовых вод происходит в связи с прекращением поливов прилегающих земель.

За пятилетний период (1965–1970 гг.) работы Главного левобережного коллектора уровень грунтовых вод заметно снизился, с 1971 по 1974 гг. он стабилизировался на более низких отметках, с 1975 г. наблюдался его подъем. Зона влияния Главного левобережного коллектора в летнее время достигает 1500 м, в зимний период она увеличивается до 2000 м.

По Чардоускому створу до строительства Главного левобережного коллектора грунтовые воды залегали на глубине до 1 м с минерализацией более 10 г/л (скважина 657 в 29 м от коллектора). Минимум приурочен к декабрю. С конца декабря до начала марта происходит подъем грунтовых вод со средней скоростью 18 см/месяц с последующим снижением в течение 2 месяцев со средней скоростью 13 см/месяц. В начале мая наблюдается второй подъем со скоростью 8 см/месяц при интенсивном спаде со скоростью 24 см/месяц в августе–декабре.

За двенадцатилетний период (1965–1976 гг.) уровень грунтовых вод повысился. Подъем грунтовых вод происходил в результате того, что при освоении близлежащих площадей Главный левобережный коллектор на участке Сакар–Чардоу не успевал отводить минерализованные воды. Таким образом, даже в зоне влияния крупных коллекторов, при увеличении питания грунтовых вод за счет роста водоподачи на орошение происходит не снижение, а подъем их уровня.

По Московскому створу до строительства Главного левобережного коллектора грунтовые воды залегали на глубине до 1,0 м (скважина 506 на расстоянии 13 м от коллектора). В начальный период (1961–1964 гг.) эксплуатации коллектора наблюдалось снижение их уровня, в последующие шесть лет (1965–1970 гг.) – стабильное положение его. Далее, с 1971 г. по 1972 г., отмечался подъем грунтовых вод в результате орошения близрасположенных полей. С 1973 г. по настоящее время уровень грунтовых вод снижается. В сезонной динамике его колебаний минимум приурочен к декабрю. Интенсивный подъем начинается с января до апреля со скоростью 21 см/месяц. С апреля по май отмечается спад уровня со скоростью 6,0 см/месяц. В течение последующих трех месяцев происходит подъем со скоростью 11 см/месяц. С начала сентября до конца года наблюдается спад уровней со скоростью 17 см/месяц. Следовательно, в сезонном режиме грунтовых

вод отмечается два максимума и два минимума стояния грунтовых вод. Зона влияния Главного левобережного коллектора летом достигает 2000 м, зимой – 2000–2500 м.

За рассматриваемый период (1961–1976 гг.) в зоне Главного левобережного коллектора в связи с расширением орошаемых площадей водозабор на орошение увеличился почти в 2,5 раза, отводимый дренажный сток – более чем в 13 раз, т.е. с 99,9 млн. м<sup>3</sup> до 1330,8 млн. м<sup>3</sup>, отводимый твердый сток солей – с 900 тыс.тонн до 4 млн. тонн. Минерализация дренажных вод уменьшилась с 12 до 3 г/л, изменился химический состав отводимых вод – хлоридно–натриевый перешел в сульфатно–кальциевый.

Таким образом, эффективность Главного левобережного коллектора проявляется в ликвидации наиболее опасных для засоления почв минимальных глубин залегания грунтовых вод (0–1 м) и в снижении засоленности почв Карабекаульского, Саятского, Чардоуского и Дейнауского районов. Вследствие улучшения мелиоративного состояния земель отмечается повышение урожайности сельскохозяйственных культур.

Анализируя вышесказанное, можно сделать следующие выводы:

1. Режим грунтовых вод формируется под влиянием гидрологических и ирригационных факторов. Максимум стояния уровня грунтовых вод в зоне коллекторно–дренажной сети отмечается в мае–июле, минимум – с декабря по февраль.

2. Влияние Главного левобережного коллектора на режим грунтовых вод распространяется до 1500–1700 м, в зимнее время – до 3000 м.

3. Минерализация грунтовых вод в зоне влияния Главного левобережного коллектора уменьшилась с 12 до 3 г/л, изменился химический состав грунтовых вод – хлоридно–натриевый перешел в сульфатно–кальциевый.

4. Подъем уровня минерализованных грунтовых вод на территории Чардоуского района связан с близким (20–30 м) залеганием регионального водоупора.

## ЛИТЕРАТУРА

1. Годовые отчеты Чарджуского ОблУОСа по водопользованию и мелиорации за 1959-1976 гг. Ашхабад. Архив ММ и ВХ ТССР.

2. Джораев Б., Мальцев Л.М. Режим грунтовых вод долины среднего течения Амударьи. В сб.: "Повышение эффективности мелиоративных систем", Ашхабад, "Ылым", 1977.

3. Мальцев Л.М. Режим грунтовых вод долины среднего течения Амударьи. Отчет по теме № 17. Раздел I. Фонды ТГУ, 1970.

4. Надироев Б. Отчет по строительству режимной сети в долине Амударьи и о результатах режимных наблюдений за 1959-1961 гг. Фонды УГСМ ТССР, 1961.

5. Скоркина Н.М., Гольденберг И.М. Отчет о гидрогеологических исследованиях в долине р. Амударьи от ст. Келиф до пос. Дейнау для целей гидромелиоративного районирования. Фонды ТГУ, 1957.

6. Худайбердиев И. Отчет-ежегодник Амударьинской режимной партии за 1975-1976 гг. Фонды ТГУ, 1976-1977.

УДК 631.67:631.41:518.5

Кандидаты техн. наук  
Х.А. АМАНОВ, Х. ЗАМАНМУРАД,  
мелиоратор А. ЯЗКЫЧЕВ

ИССЛЕДОВАНИЕ АДЕКВАТНОСТИ МАТЕМАТИЧЕСКОЙ МОДЕЛИ  
ПЕРЕНОСА ПОЧВЕННОЙ ВЛАГИ В ЗОНЕ АЭРАЦИИ  
ПО ЛИЗИМЕТРИЧЕСКИМ ДАННЫМ

Создание автоматизированных систем управления и выработка оптимальных решений регулирования водно-солевого режима почвогрунтов на мелиорируемых территориях является важнейшей задачей перехода на промышленную основу сельскохозяйственного производства. Эта задача выполняется на основе математической формализации основных физических закономерностей проходящих процессов в почвогрунтах мелиорируемых территорий и возможности использования современной вычислительной техники.

По методам математического моделирования известно, что основные закономерности влагообмена в почвогрунтах математически описываются не линейными дифференциальными уравнениями в частных производных второго порядка.

Используя для описания потока влаги феноменологические уравнения неравновесной термодинамики не обратимых процессов с последующим пренебрежением вклада термодинамических сил, учитывающих градиентов температуры, концентрации растворенных веществ, потенциалов электрического поля в силу их малости, можно получить уравнение влагопереноса с учетом функций источников (стоков).

Это уравнение для одномерного случая в дифференциальной

форме имеет вид [1]:

$$\gamma(P) \frac{\partial P(x,t)}{\partial t} - \frac{\partial}{\partial x} \left[ k(w) \frac{\partial P(x,t)}{\partial x} - k(w) \right] + G, \quad (1)$$

$(0 \leq x \leq H, 0 \leq t \leq T)$

где  $\gamma(P) = dW(x,t)/dP(x,t)$  — дифференциальная влагоемкость почвогрунта,  $1/m$  ;  
 $W(x,t)$  — влажность почвогрунта в объемных долях;  
 $P(x,t)$  — давление почвенной влаги  $M \cdot H_2O$ ;  
 $k(w)$  — коэффициент влагопроводности почвогрунта,  $m/\text{сут.}$  ;  
 $G$  — функция источников (стоков), учитывающая возможность влагопереноса через корневую систему растительного покрова  $1/m$  ;  
 $x$  — ордината,  $m$  ;  
 $t$  — время,  $\text{сут.}$  ;  
 $H$  — мощность расчетной толщи почвогрунтов,  $m$ ;  
 $T$  — полное расчетное время,  $\text{сут.}$ .

Из решения уравнения (1) можно получить функцию распределения давления в почвенной влаге, а из соотношений связанных  $W$  и  $P$  — значения влажности:

$$W = F(P). \quad (2)$$

Однако это решение не однозначно, если к уравнению (1) не присоединены конкретные условия взаимодействия влагообмена в почвогрунтовой среде с внешней средой в пространственной и временной границе области исследования. Во временной области краевое условие к уравнению (1) выражается в следующем виде:

$$P(x,t) \Big|_{t=0} = \varphi(x), \quad (0 \leq x \leq H). \quad (3)$$

Здесь функция  $\varphi(x)$  является начальным профилем распределения давления и в нем должна отразиться вся предыдущая история процесса влагообмена до того времени, когда мы начинаем

отчет времени для дальнейшего развития этого процесса.

Влияние различных значений функции  $\varphi(x)$  на точность той или иной степени прогноза влагообмена в толще почвогрунтов могут быть выявлены при помощи расчета на ЭЦВМ.

В пространственной области краевые условия к уравнению (1) в наиболее общем виде могут быть выражены:

$$\left\{ d \left[ -k(w) \frac{\partial P(x,t)}{\partial x} + k(w) \right] + \beta \cdot P(x,t) \right\} \Big|_{x=0} = \mu(t); \quad (4)$$

$$\left\{ \delta \left[ -k(w) \frac{\partial P(x,t)}{\partial x} + k(w) \right] + \delta' \cdot P(x,t) \right\} \Big|_{x=H} = \nu(t). \quad (5)$$

В граничном условии (4) и (5) при различном выборе коэффициентов  $\beta, \delta, \mu$  и  $\nu$  краевые условия  $\mu(t)$  и  $\nu(t)$  выражают по-разному: либо в виде давления почвенной влаги, либо в виде потока влаги в зависимости от метеорологических, гидромелиоративных и гидрогеологических факторов на границе расчетной толщи почвогрунтов [1].

Для решения сформулированной краевой задачи (1), (4) и (5) еще необходимо знать способы функционального описания параметров  $\gamma(P)$ ,  $k(w)$  и  $G$  от наиболее важных почвенно-мелиоративных и физиологических факторов в почвогрунтовой среде. Параметр  $\gamma(P)$  определяется численным дифференцированием из зависимости (2), коэффициент влагопроводности почвы  $k(w)$ , как известно, — в основном экспериментальным и расчетным способами.

Аппроксимационная-функциональная зависимость  $k(w)$  от влажности имеет вид [3]:

$$k(w) = K_f \left( \frac{w}{w_{\text{нас.}}} \right)^n, \quad (6)$$

где  $K_f$  — коэффициент фильтрации почвы;

$w_{\text{нас.}}$  — влажность почвы при полном насыщении;

$n$  — показатель степени.

Вместе с тем известны определенные трудности, особенно в отношении точности экспериментального или расчетного определения коэффициентов  $k(w)$ , связанные с неучетом ряда вто-

ростепенных факторов, которые в явном виде не отражены в модели влагообмена, а именно: изменения физико-механического состава и свойств почвогрунтовой среды в процессе онтогенеза, температурного режима почвы в процессе сезонности в годовом цикле метеорологических элементов, солевого состава при недостаточном увлажнении или засоленности почвы и др. При описание влагообмена в почвогрунте с помощью уравнения (1) необходим учет этих факторов через  $k(w)$  в виде следующей функциональной зависимости:

$$k(w) = k(w, T, C), \quad (7)$$

где  $T$  — потенциал температурного поля;  
 $C$  — концентрация почвенного раствора.

Зависимость (7) может быть выявлена при длительном исследовании изменения коэффициента  $k(w)$  в процессе онтогенеза с учетом выявления динамики вышеуказанных факторов. Однако такой путь на данном уровне исследования по математическим методам существенно усложнил бы отыскание неизвестных поля потенциалов. Поэтому изменение этих факторов можно учитывать интегрально при определении степени  $\pi$  по формуле (6). Для этого, с учетом возможности использования в проектных и научно-исследовательских организациях инструментального способа определения влагосодержания почвогрунтов и вычислительной техники, можно предложить расчетно-балансовый метод определения величины  $k$  в почвенном профиле.

Расчетная формула имеет вид:

$$k_{i+1} = \frac{(x_{i+1}) v_{i+1} - (x_i) v_i + v_{i+1} - \int_{x_i}^{x_{i+1}} [W(x, dt) - W(x, 0)](x+1) dx}{\int_0^{dt} [P(x_{i+1}+1) - P(x_i, t) - (x_{i+1} - x_i)] dt} \quad (8)$$

$(i=0, \dots, N-1)$

где  $W(x, 0)$ ,  $W(x, dt)$  — распределение влажности по ординате в начале и конце расчетного периода  $dt$ ,

$v_i$  — распределение потока влаги на границе слоя  $x_i$ , которое определяется при условии, если известна ве-

личина потока хотя бы на одной границе из уравнения водного баланса:

$$v_i = v_{i+1} - \int_{x_i}^{x_{i+1}} [W(x, dt) - W(x, 0)] dx + \int_0^{dt} G dx dt. \quad (9)$$

Величина  $v_{i+1}$  выражается:

$$v_{i+1} = \int_0^{dt} \int_{x_i}^{x_{i+1}} G(x+1) dx dt.$$

По формуле (8) можно вести расчет при условии, что  $\partial P(x, t)/\partial x$  сохраняет знак в исследуемой толще почвогрунтов. Это значит, что процесс должен протекать строго в одном направлении, т.е. поток влаги направлен или вертикально вниз (инфилтрация), или вертикально вверх (к испаряющей дневной поверхности). Последнее говорит об определении этого параметра с учетом влияния гистерезиса. При несоблюдении указанных условий по формуле (7) могут получиться физически не реальные величины  $k$ , например,  $k < 0$ .

По формулам (8) и (9) величина  $k$  в ненасыщенных почвогрунтах по характерным слоям в полевых (деляночных) опытах и лизиметрических установках определяется с помощью многократного измерения влажности инструментальными способами, поскольку балансовый метод в деляночном опыте и лизиметрические установки позволяют на достаточном уровне соблюдать требуемые условия определения по этой методике.

При этом степень  $\pi$  зависимости (6) на основе формулы (8) определяется по формуле [3]:

$$\pi = \frac{\int_0^{dt} \int_0^H \ln k dx dt - dt \cdot H \cdot \ln K_f}{\int_0^{dt} \int_0^H \ln W(x, t) dx dt - dt \cdot H \cdot \ln W_{нос.}} \quad (10)$$

Теперь функция источников и стоков  $G$ , учитывая возможность влагопереноса через корневую систему растений, может быть задана с учетом развития эпюры расположения корневой системы и транспирационной способности растений по одной из расчетных формул. В частности, расчетная формула С.В. Нернина и М.Г. Санояна имеет вид:

$$G = T_g(t) W(x, t) + \int S(t) W(x, t) \left[ \int P(x, t) W(x, t) dx - P(x, t) \right] dt \quad (II)$$

В работе [3] предложены возможные упрощения зависимости (II):

- при экспоненциальном распределении корневых систем:

$$G = T_g(t) \exp \left[ -\frac{x}{e(t)} \right] / \int \exp \left[ -\frac{x}{e(t)} \right] dx; \quad (I2)$$

- в виде зависимости от влагопроводности почвы:

$$G = T_g(t) \cdot k(x, t) / \int k(x, t) dx; \quad (I3)$$

- при равномерном распределении корневых систем:

$$G = T_g(t) / e(t), \quad (I4)$$

где  $T_g(t)$  - интенсивность транспирации растений, м/сут;

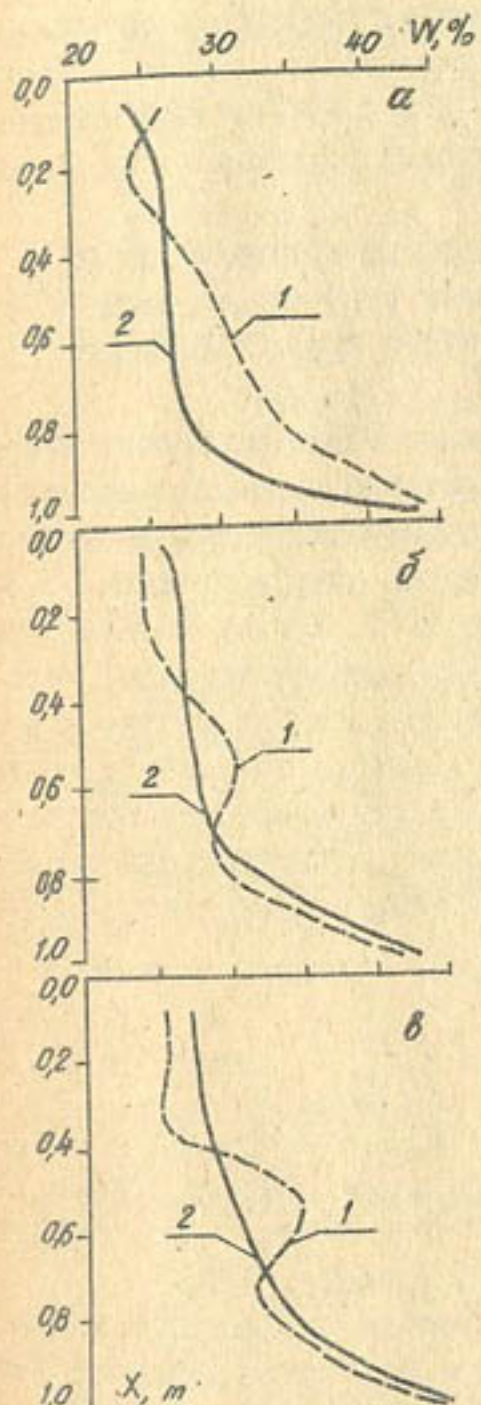
$W(x, t), \int S(t)$  - функции, выражющие интенсивность роста корневой системы растения;

$e(t)$  - интенсивность роста корневой системы растения вглубь.

При моделировании влагопереноса использование тех или иных (II) - (I4) описаний поглощения влаги корнями растений для функции  $G$  может быть установлено в стадии решения соответствующих краевых задач влагообмена на ЭЦВМ с учетом сопоставления экспериментальных и расчетных эпюр распределения влажности в корнеобитаемом слое.

Общая краевая задача влагообмена (1) и (3)-(5) ввиду нелинейности основного дифференциального уравнения (1) решается численным методом на ЭЦВМ. Для этого разрабатываются численные алгоритмы решения поставленной краевой задачи и на алгоритмическом языке составляется программа расчета на ЭЦВМ.

Программа расчета на ЭЦВМ для математической модели влагопереноса в зоне аэрации (1) и (3) - (5) составлена на алгоритмическом языке "АЛГОЛ".



Эпюры  
влажности в лизиметре:  
1 - измеренные; 2 - вычи-  
сленные на ЭЦВМ; а - 25  
мая; б - 25 июня; в - 25  
октября

Известно, что использование математического аппарата, даже с применением ЭЦВМ, само по себе еще не является моделированием до тех пор, пока не будет установлен круг свойств, по которым доказывается аналогия объекта и модели, т.е. адекватность математической модели сатурой.

С целью проверки адекватности математической модели влагообмена в зоне аэрации реальными почвенно-гидрологическими условиями нами осуществлены численные расчеты на ЭЦВМ (БЭСМ-4) динамики переноса влаги за вегетационный период по данным дельночных и лизиметрических исследований, которые наиболее полно моделируют одномерный перенос влаги в почве полученные водно-балансовые данные при лизиметрических исследованиях могут быть использованы для проверки адекватности математической модели влагообмена сатурой. Расчет на ЭЦВМ (БЭСМ-4) произведен нами на основе данных лизиметрических опытов, выполненных в Тедженском оазисе Туркменской ССР. За начальные распределения давления почвенной влаги в лизиметре приняты измеренные величины от 25 марта 1960 г.

Границные условия для диф-

ференциального уравнения влагопереноса задается на верхней границе в виде интенсивности физического потока ( $\alpha=1$ ;  $\beta=0$   $\theta(4)$ ), на нижней границе ( $H = 1$  м) - в виде изменения давления почвенной влаги на уровне грунтовых вод. Величина  $P(H,t)=P_{atm}$

Расчет на ЭЦВМ произведен с шагом по ординате  $h=1,0$  и по времени  $T_H=0,2$  сут (с введением переменного шага  $T$ ). Полное расчетное время составило 215 суток. С 25 марта до 30 октября 1960 года.

Некоторые вычисленные и измеренные эпюры влажности в соответствующие моменты времени расчетного периода приведены на рисунке. Анализ сходимости экспериментальных и расчетных значений влажности в лизиметре показал, что в среднем относительная погрешность не превышает 11 %. К тому же известно, что влажность в лизиметре измерялась весовым методом, который сам по себе неточен, и однократно, так как взятие проб на анализ ограничен требованием сохранения почвенного горизонта. Поэтому вычисленные на ЭЦВМ эпюры влажности соответствующих моментов времени дают картину, близкую равновесному распределению влажности, т.е. к реальной картине в зоне аэрации в лизиметре.

#### ЛИТЕРАТУРА

1. Нерин С.В., Аманов Х.А., Язкличев А. Математические методы прогнозирования водного режима почвогрунтов при оптимизации управления поливом. В сб.: "Эффективность орошения в Туркменистане", Ашхабад, 1976.

2. Язкличев А. Расчет метода определения коэффициента влагопроводности почвогрунта. Научно-технический бюллетень по агрономической физике, II, 1975, № 24.

3. Язкличев А. Моделирование переноса почвенной влаги и солей в зоне аэрации на ЭЦВМ. Автореферат кандидатской диссертации. М., 1978.

УДК 551.573

Канд. с.-х. наук В.К. ГАФУРОВ

#### ЗАВИСИМОСТЬ ИСПАРЕЯЕМОСТИ ОТ ДЕФИЦИТА ВЛАЖНОСТИ ВОЗДУХА В ЖАРКИХ И СУХИХ УСЛОВИЯХ

При оценке водопотребления растений, расчетах водно-солевых балансов широко используется испаряемость, под которой понимается потенциально возможное испарение при данных метеорологических условиях и оптимальной влагообеспеченности. Величину испаряемости определяют, как правило, по эмпирическим формулам, основанным на корреляционных связях испаряемости с дефицитом влажности воздуха, температурой, радиационным балансом.

М.И. Будыко [3], Н.Н. Иванов [5] предлагали принимать за величину испаряемости значение испарения с открытой водной поверхности, полагая, что в таких условиях наиболее полно обеспечивается неограниченное поступление влаги к испаряющей поверхности.

А.И. Будаговский, С.С. Савина [2], Е.Ф. Глазова [4], А.Р. Константинов, Р.Н. Олейник [8], Г.Г. Селянников [10] полагают, что при определении истинных значений испаряемости измерения должны проводиться непосредственно в тех условиях, для которых необходимы эти величины.

Наличие существенных различий в толковании термина "испаряемость" и в выборе целесообразных методик определения этого параметра обусловлено, как указывает А.Р. Константинов [6], отсутствием общепринятого способа использования величины испаряемости, которая применяется как при расчетах водно-солевых балансов регионов и климатическом районировании, так и

для оценок влагообеспеченности растений и испарения с элементов проектируемых водохозяйственных систем.

Непосредственными исследованиями установить величины испаряемости на вновь осваиваемых землях не всегда возможно, и в проектах закладываются величины испарения и водопотребления, вычисленные по зависимостям, которые выведены для идентичных условий. Такие зависимости зачастую не соответствуют истинным закономерностям, в связи с чем в проектных материалах закладываются не оптимальные размеры оросительной сети.

Выбор и строительство всего комплекса ирригационной системы, отвечающего потребностям в воде, особенно при строительстве дорогостоящих систем (лотковая, трубопроводная, бетонированная), требуют тщательного подхода к обоснованию обеспечения хозяйств оросительной водой. Необоснованные размеры оросительной системы приводят либо к потерям в урожайности (при недостаточной пропускной способности), либо к перерасходу средств и материалов (при завышенных размерах ирригационной сети).

Для расчета испаряемости применяют различные эмпирические зависимости, из всего разнообразия которых широкое применение нашли формулы А.М. Алшатьева и Н.Н. Иванова, основанные на зависимости расхода влаги от недостатка насыщения влажности воздуха.

А.М. Алшатьев [1] считает, что дефицит влажности воздуха является комплексным показателем условий испарения как производное от температуры и влажности воздуха и поэтому находится в тесной корреляционной связи с испарением. Суммарный расход воды полем в этом случае определяется по формуле:

$$E = k \sum d,$$

где  $k$  - коэффициент биологической кривой за расчетный период;  
 $\sum d$  - сумма среднесуточных дефицитов влажности воздуха за этот же период.

Месячная величина испаряемости по формуле Н.Н. Иванова равна:

$$E_0 = 0,0018 (T + 25)^2 \cdot (100 - z).$$

А.Р. Константинов [7] показал, что эта формула может быть приведена к виду:  $E_0 = md$ .

В книге "Основы агрофизики" [9] отмечено, что формулы, основанные на связи интенсивности испарения от дефицита влажности воздуха, дают относительно надежные результаты при малых его значениях. При использовании этих формул для аридной зоны, в которой систематически наблюдаются значительные дефициты влажности воздуха, нарушаются корреляционные соотношения и появляются значительные ошибки в рассчитываемых значениях испаряемости. Такое же мнение высказывает А.Р. Константинов [7], отмечая, что для сильно засушливых условий расчет испаряемости по дефициту влажности приводит к ошибкам + 100 % и - 70 %.

В литературе приводятся графики зависимости испаряемости от дефицита влажности, но для малых значений последнего, в связи с чем применяемые формулы действительны только при значениях  $d$ , не превышающих используемые при их выведении. В частности, формула А.М. Алшатьева выведена при значениях  $d$ , не превышающих 10 мб. Редко встречаются данные для дефицита влажности воздуха более 20 мб. Между тем, в Туркменистане во время вегетационного периода значения дефицитов влажности достигают 40 мб.

А.Р. Константинов [7] отмечал, что испаряемость определяется в основном тремя факторами: дефицитом влажности воздуха, количеством тепловой энергии и интенсивностью турбулентного обмена. При больших значениях  $d$ , по-видимому, основным фактором, влияющим на интенсивность испарения, является не способность воздуха воспринимать водяной пар, а количество тепловой энергии и турбулентный обмен.

В 1966-1969 гг. нами были проведены исследования по определению испарения методом теплового баланса.\* Наряду с другими параметрами производились замеры температуры и влаж-

\* Исследования проводились на хлопковом массиве совхоза им. 9 Ашхабадских комиссаров Гяурского района Ашхабадской области.

ности воздуха с помощью аспирационных психрометров МВ-4 и определялась испаряемость по компенсационному испарителю при глубине залегания грунтовых вод 1 м.

Величины испаряемости, определенные нами в полевых условиях и среднемноголетние (месячные суммы) для условий Прикопетдагской зоны, рассчитанные по формулам А.М. Алшатьева ( $K_{cp} = 0,65$ ) и Н.Н. Иванова с коэффициентом Л.А. Молчанова ( $K=0,8$ ), приведены в таблице.

Месячные суммы испаряемости и испарения с водной поверхности, мм

Расчетные формулы и методы	М е с я ц ы						Всего
	IV	V	VI	VII	VIII	IX	
А.М. Алшатьева	197	386	570	700	648	435	2937
Н.Н. Иванова	134	232	312	336	344	248	1706
С водной поверхности	106	182	256	281	253	176	1254
Тепловой баланс	71	118	153	224	236	121	921
Лизиметры 1-метровые	75	103	150	231	323	139	1021

Данные таблицы показывают, что величины испаряемости, рассчитанные по широко применяемой формуле Н.Н. Иванова (с  $K=0,8$ ), в 1,67-1,85 раза выше по сравнению с полученными в полевых условиях по тепловому балансу и лизиметрам. Эта разница за период вегетации изменяется неравномерно: при сокращенном растительном покрове она составляет 1,48-1,52, при оголенной поверхности достигает 2,04. В связи с этим ввести постоянный поправочный коэффициент нет возможности.

На графике (см. рисунок) показана зависимость между испаряемостью и дефицитом влажности воздуха для Прикопетдагской зоны Туркменской ССР. Испаряемость определялась непосредственно на хлопковом поле методом теплового баланса и лизиметров, здесь же фиксировались метеорологические элементы. График показывает, что для оголенной почвы зависимость между  $E_0$  и  $d$  сближается до величины  $\alpha$ , равной приблизительно 6 мб. При повышении дефицита влажности испаряемость остается почти на

одном уровне при одинаковом радиационном балансе. В промежутке от 6 до 28 мб  $E_0$  изменяется от 2,2 до 3,2 мм при  $\frac{R-B}{L} = 2,6$  мм. В период, когда растительный покров сокращен, зависимость нарушается, здесь, видимо, кроме перечисленных выше факторов, определяющих  $E_0$ , добавляется влияние регулирующего аппарата растений при транспирации. Общая закономерность между  $E_0$  и  $d$  прослеживается, но разброс точек значительный, что указывает на действие многих факторов на величину испаряемости.

Формулы, связывающие испаряемость с дефицитом влажности воздуха, просты для расчета, в связи с чем они получили широкое распространение, что, в определенной степени, содержит поиск и разработку новых зависимостей.

Для условий Туркменистана, где наблюдаются большие значения дефицита влажности воздуха в период вегетации, формулы А.М. Алшатьева и Н.Н. Иванова приводят к существенным ошибкам. При расчете  $E_0$  за длительный промежуток времени (месяц)

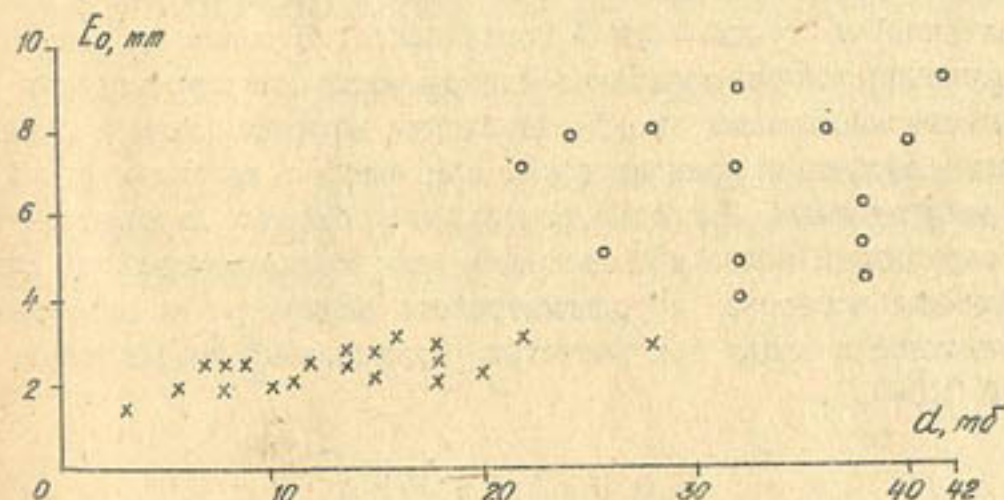


График зависимости испаряемости  $E_0$  от дефицита влажности воздуха  $d$ :  
х — поверхность без растительности;  
о — сокрученный растительный покров

и более) разброс точек уменьшается и общая закономерность между  $E_0$  и  $\alpha$  прослеживается более четко.

Равномерную разницу в течение всего вегетационного периода дают месячные величины испаряемости, рассчитанные по формуле А.М. Алпатьева и полученные измерениями в полевых условиях. В среднем  $E_0$  по Алпатьеву в 3 раза выше полученной по тепловому балансу и лизиметрам.

Для приближенных оценок величины испаряемости для жарких и сухих условий Туркменистана возможно применение формулы А.М. Алпатьева в следующем виде:

$$E_0 = 0,25 \sum d,$$

Экспериментальная зависимость между  $E_0$  и  $d$ , по нашим данным, оказалась нелинейной, но любые изменения в формуле приводят к усложнениям в расчетах, что не рационально само по себе и в связи с тем, что нет уверенности в точности применяемой методики.

Таким образом, для специфических условий Туркменистана нет достаточно апробированных и надежных методов определения испаряемости, так как все зависимости выведены для малых значений  $\alpha$  и для водной поверхности. В связи с важностью получения точных данных по испаряемости для характерных сельскохозяйственных угодий необходим научный поиск и разработка расчетных зависимостей, пригодных в жарких и сухих условиях пустыни. При этом результаты обширных лизиметрических исследований можно использовать как экспериментальные данные, принимая испарение из однометрового лизиметра за максимально возможное и вводя при расчетах редукционный коэффициент, равный 0,8-0,9.

#### ЛИТЕРАТУРА

1. Алпатьев А.М. Влагооборот культурных растений. Л., Гидрометеоиздат, 1954.
2. Будаговский Л.И., Савина С.С. Испаряемость с поверхности растительного покрова. "Метеорология и гидрология", 1956, № 3.

3. Будыко М.И. О влиянии мелиоративных мероприятий на испаряемость. "Известия АН СССР", серия географическая, 1951, № 1.

4. Глазова Е.Ф. Экспериментальные исследования испаряемости в условиях Средней Азии. "Труды Главной геофизической обсерватории", 1953, вып. 38.

5. Иванов Н.Н. Об определении величин испаряемости. "Известия Всесоюзного географического общества", 1954, т. 86, № 2.

6. Константинов А.Р. Испаряемость - комплексная характеристика метеорологических условий произрастания сельскохозяйственных культур. В кн.: "Материалы международного совещания по проблемам изучения испарения с суши". Валдай, 1961.

7. Константинов А.Р. Испарение в природе. Л., Гидрометеоиздат, 1968.

8. Константинов А.Р., Олейник Р.Н. К вопросу об определении испаряемости (максимально возможного испарения) с сельскохозяйственных полей. "Труды Украинского научно-исследовательского гидрометеорологического института", 1964, вып. 41.

9. Основы агрофизики. Под редакцией А.Ф. Иоффе. М., Физматгиз, 1959.

10. Селянинов Г.Г. Методика сельскохозяйственной характеристики климата. Мировой агроклиматический справочник. Л., Гидрометеоиздат, 1937.

ти:

- водопотребление за вегетационный период:

$$E = 251 \left( \frac{y \sum t}{H} \right)^{0,126}$$

- месячное водопотребление:

$$E_t = 0,27 k \left( M \sum t \sqrt{\frac{y}{H}} \right)^{0,146}$$

где

 $k$  - коэффициент месячного водопотребления; $y$  - урожайность, ц/га; $\sum t$  - сумма среднемесячных температур воздуха за расчетный период,  $^{\circ}\text{C}$ ; $H$  - глубина залегания грунтовых вод, м; $M$  - водоподача на орошение, мм.

УДК 631.671:635.64:626.8II

Инж. Т. ДЖУМАНАЗАРОВА

## ВОДОПОТРЕБЛЕНИЕ ТОМАТОВ И СОЛЕВОЙ РЕЖИМ ПОЧВ ПРИ БЛИЗКОМ ЗАЛЕГАНИИ ГРУНТОВЫХ ВОД

Со времени утверждения ныне действующих поливных режимов овощных культур прошло около 15 лет. За этот период существенно изменились факторы, влияющие на режим орошения сельскохозяйственных культур. Так, рост влагообеспеченности изменил водный режим земель Прикопетдагской зоны, где производство овощных культур является главной отраслью земледелия. Хозяйствами Ашхабадского и Геок-Тепинского районов производится овощей более 70 % общего производства их в Туркменской ССР.

Исследования по изучению режима орошения и водопотребления томатов основывались на проработке основных приходно-расходных элементов водного баланса по методу лизиметров.

Изменение месячных величин водопотребления в зависимости от глубины залегания грунтовых вод показано на рис. I.

Начало вегетационного периода, когда накопление вегетативной массы и развитие корневой системы незначительны, характеризуется постепенным нарастанием испарения - от 79 - 95 до 110-116 мм. Резкое увеличение водопотребления - до 165 - 253 мм - происходило в июне, максимальная величина его - 425 - 478 мм - наблюдалась в июле-августе. Далее оно уменьшалось и к концу вегетационного периода составило около 100 мм. За невегетационный период расход воды составлял 190-200 мм, или 10-12 % годовой величины водопотребления.

Для определения водопотребления томатов за вегетационный период в целом и по месяцам предлагаются следующие зависимос-

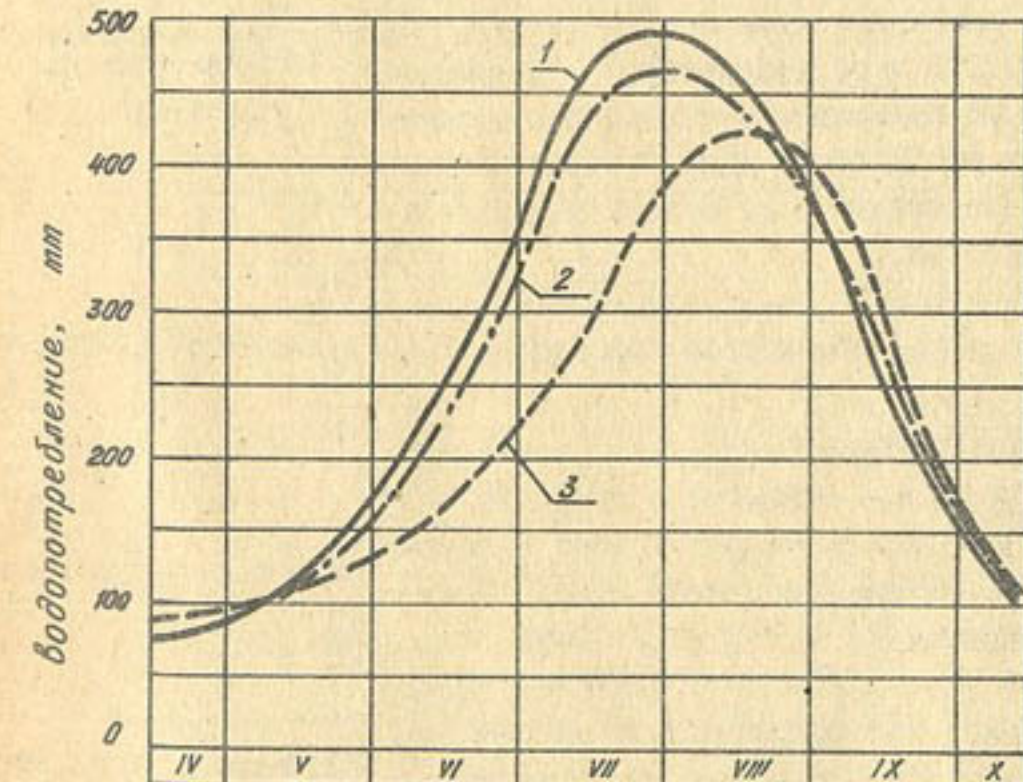


Рис. I. Месячные величины водопотребления томатов при различной глубине залегания грунтовых вод:  
1 - 1 м; 2 - 2 м; 3 - 3 м

Полученные нормы водопотребления послужили основой для расчета режима орошения томатов. Водопотребление за вычетом расхода из грунтовых вод и осадков выражает недостаток потребности в воде, который следует восполнить за счет поливов. При распределении количества поливов учитывалась фаза развития растений и потребность их в воде в данный период (табл. I).

В период высадки рассады - цветение требуется 3 полива

нормой 300–400 м<sup>3</sup>/га. За период пло-  
дообразования следует провести 5 по-  
ливов оросительной нормой, превыше-  
ющей величину ее до цветения почти в  
два раза (1900–2000 м<sup>3</sup>/га). В период  
массового плодоношения (УП–IX) оро-  
сительная норма составляет 5 400 –  
6600 м<sup>3</sup>/га при 12 поливах. В целом  
для получения урожайности томатов  
900–1050 ц/га требуется проведе-  
ние 20 поливов с межполивными пермо-  
жидами от 10 до 15 дней в начале и ко-  
нце вегетации и от 6 до 9 дней в се-  
редине ее.

Содержание солей в почвенном про-  
филе почвы лизиметров приведено на  
рис. 2.

При глубине залегания грунтовых  
вод 1 м максимальное количество со-  
лей в основном сосредоточено в гори-  
зонте 0–40 см. Засоление этого слоя  
изменяется от 0,039 до 0,0586% по  
хлору и от 0,374 до 0,618% по сухому  
остатку. При двухметровой глубине за-  
легания грунтовых вод наиболее засо-  
ленным является активный слой почвы в  
0–100 см. Содержание плотного остат-  
ка в нем на 21–33 % больше, чем в о-  
стальной зоне аэрации. При глубине их залегания 3 м наибо-  
льшее накопление солей хлора – 0,020–0,057% – отмечалось в

Таблица I

Распределение  
поливов по периодам  
развития томатов

Гидромодульные районы	
у : УП	
Высадка рассады –	
цветение	
2	3
300	300
I	
400	
Цветение–созревание	
5	I
400	300
	4
	400
Массовое плодоношение	
I2	I2
550	450

Примечание. В числи-  
тельном явлется активный слой почвы в  
0–100 см. Содержание плотного остат-  
ка в нем на 21–33 % больше, чем в о-  
стальной зоне аэрации. При глубине их залегания 3 м наибо-  
льшее накопление солей хлора – 0,020–0,057% – отмечалось в

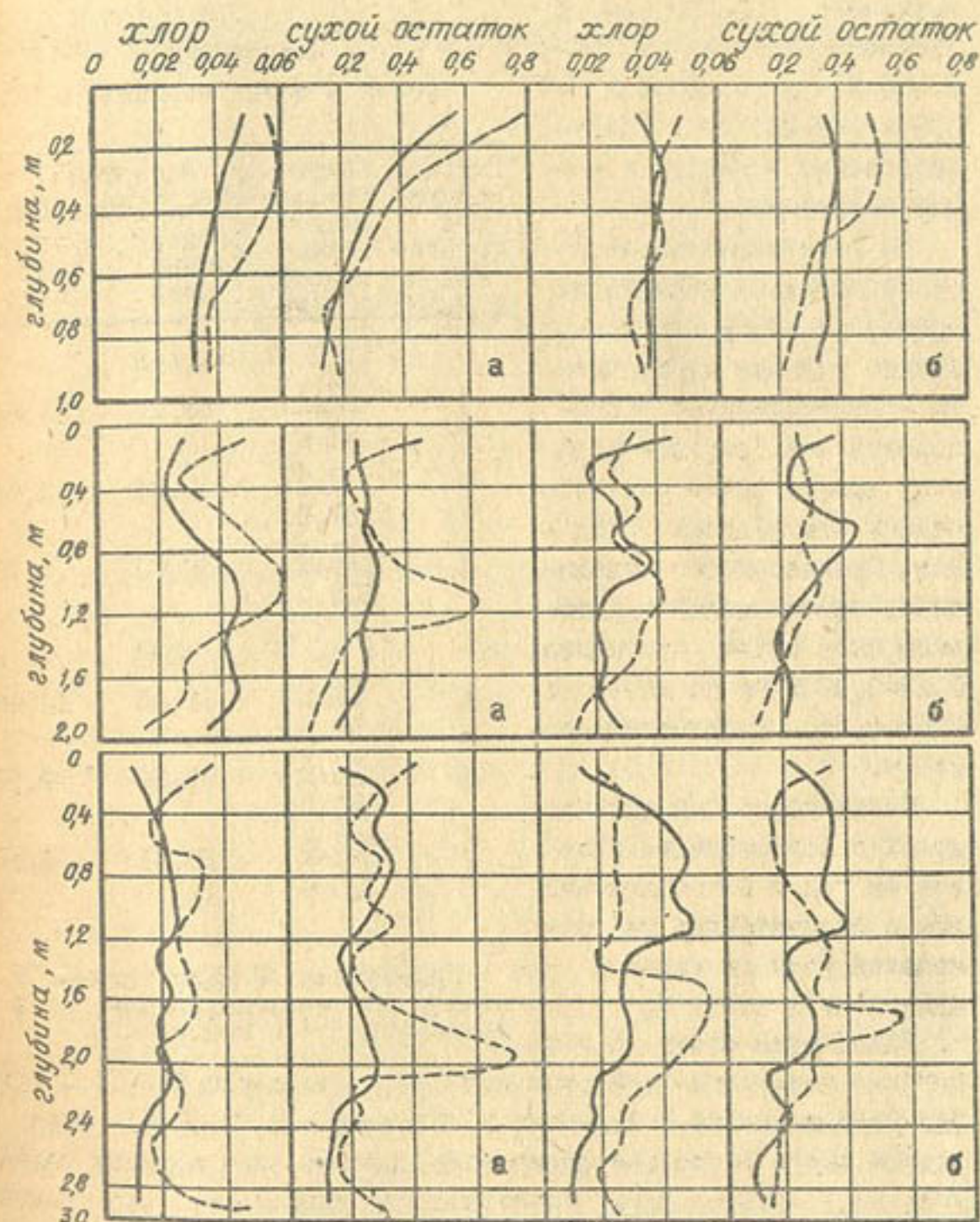


Рис. 2. Солевой режим почв  
под томатами при залегании грунтовых вод  
на глубине 1, 2 и 3 м весной (сплошная  
линия) и осенью (пунктирная линия):  
а – в 1971 г.; б – в 1972 г.

горизонте 100–200 см, а плотного остатка – 0,284–0,376 % – в горизонтах 0–100 и 100–200 см – соответственно в начале и конце вегетации.

За вегетационный период наблюдалось увеличение засоления почвы, обусловленное большим испарением, за невегетационный – рассоление всех горизонтов за счет вымыва солей под действием атмосферных осадков. Среднегодовое увеличение запаса солей в активном слое почвы составило 0,20–3,48 т/га по хлору и 3,55–9,25 – по плотному остатку.

Фактическое накопление солей в зоне аэрации в целом за год и сопоставление его с рассчитанным на основании водного баланса приведено в табл. 2.

Накопление солей при глубине залегания грунтовых вод I–3 м составило 6,6–11,2 т/га. Поступление солей с поливами и доливами – 6,70–11,61 т/га. С учетом этого расчетное содержание солей в зоне аэрации равнялось 53,71–110,51 т/га. Сопоставление показывает, что накопление солей, вычисленное теоретически, в основном соответствует фактической величине его.

Таблица 2  
Накопление  
солей в зоне аэрации

Глубина залегания накопления солей, м	Фактическое накопление солей, т/га	Расчетные величины, т/га	
		поступления солей, т/га	содержания солей, т/га
I 97 I год			
I	42,1 51,0	53,71 II,61	
2	70,4 81,6	80,24 9,84	
3	92,0 102,0	98,70 6,70	
I 97 II год			
I	51,0 57,6	61,65 10,65	
2	81,6 90,6	91,56 9,96	
3	102,0 100,0	110,51 8,51	

Примечание. В числителе – в начале расчетного периода, в знаменателе – в конце него.

УДК 626.810:635.977.45

Метеоролог Л.П. ЛУКЬЯНЕНКО,  
канд. техн. наук Х. ЗАМАНМУРАД

#### ВОДОПОТРЕБЛЕНИЕ ДРЕВЕСНЫХ ПОРОД

Основной причиной вторичного засоления почв является повышение уровня грунтовых вод, вызванное фильтрацией воды из каналов и инфильтрацией с орошаемых полей. Обсадка каналов древесными насаждениями ослабляет фильтрационный поток в грунтовые воды, уменьшает испарение с поверхности и тем самым отрицательно оказывается на развитии процесса засоления почвогрунтов. В Туркменской ССР площадь полезащитных насаждений составляет 5898,7 га. Большая часть этих насаждений расположена вдоль оросительных каналов.

Рядом авторов [1, 3, 4, 5] отмечена дренажная роль древесных насаждений. Но почти во всех исследованиях интенсивность транспирации древесных пород определялась по методу Л.А. Иванова с последующим пересчетом расхода воды на одно дерево и занимаемую насаждениями площадь, что приводит к большим погрешностям. В связи с этим нами изучался водный баланс под насаждением древесных пород (наряду с солевым балансом) лизиметрическим методом. Для сравнения использовались величины транспирации, полученные по методу Л.А. Иванова. Место проведения опытов – совхоз им. 9 Ашхабадских комиссаров Гяурского района Ашхабадской области\*.

\* Почвы участка – светлые сероземы. Верхний слой 0–60 см сложен тяжелыми суглинками и глинями, от 60 до 260 см залегают средние и мелкие суглинки и глины, от 260 до 300 см – супесь. Объемная масса верхнего метрового слоя равна 1,45 г/см<sup>3</sup>, среднего и нижнего (100–300 см) – 1,42 г/см<sup>3</sup>. Почвы по

В лизиметры<sup>\*</sup> площадью 1,0 и 1,63 м<sup>2</sup> были высажены 2-5-летние саженцы маклоры оранжевой, клена ясенелистного, акации белой. Полявы проводились в соответствии с "Временными инструктивными указаниями по проектированию и выращиванию защитных лесных насаждений на орошаемых землях" [2]: в год посадки — один послепосадочный и восемь вегетационных при оросительной норме для одно-, двух- и трехметровых лизиметров соответственно 6450, 6900 и 7750 м<sup>3</sup>/га; во второй год — шесть, в третий — три при уменьшенной оросительной норме соответственно на 11-16 и 57-64 % по сравнению с первым годом.

Интенсивность транспирации высаженных древесных пород определялась 10 и 25 числа каждого месяца по методу быстрого взвешивания срезанных листьев с повторным их взвешиванием через 3 мин. на торзомонных весах. Определение велось через 3 ч в дневное время (с 6 до 18 ч). Повторность опыта шестикратная.

Влажность листьев определялась по отношению веса воды в листе и весу сырого листа.

В течение вегетационного периода проводились фенологические наблюдения и биометрия.

Расход воды на испарение древесными породами зависел от погодных условий, количества зеленой массы, интенсивности транспирации и глубины залегания грунтовых вод.

всему профилю 0-300 см слабозасоленные. Грунтовые воды залегают на глубине 4 м.

Климат района исследований, как и по всей республике, резко континентальный: с жарким и сухим летом, мягкой зимой. Среднегодовая температура воздуха 16,3°. За год выпадает незначительное количество осадков — около 260 мм, в основном в зимне-весенний период. Летом осадки наблюдаются крайне редко.

\* Лизиметры прямоугольной и цилиндрической формы изготовлены из листового железа, снажены двумя трубками: контрольной — для ежедневных замеров уровня грунтовых вод и питательной — для долива и откачки воды до заданного уровня, который постоянно поддерживался на глубине 1, 2 и 3 м. Количество долитой и откаченной воды учитывалось с точностью до 0,1 л и переводилось на высоту слоя в миллиметрах.

Из приведенных таксационных показателей видно (табл. 1), что наибольшей скоростью роста вегетативных органов обладает маклора. Средняя длина однолетних веток у нее составляет 102-121 см, увеличение высоты — 77-101 см, увеличение диаметра кроны — 57-104 см, у акации эти показатели несколько ниже — соответственно 34-63, 63-90 и 28-85 см, у клена — 73-94, 52-78 и 52-86 см.

Таблица I

Таксационные показатели, средние за 1974-1976 гг.

Древесные породы	однолетних веток	длины	Увеличение высоты	диаметра кроны
	: см	: см	: см	: см

#### Однометровые лизиметры

Маклора	II6	79	57
Клен	73	78	52
Акация	63	90	85

#### Двухметровые лизиметры

Маклора	I2I	77	65
Акация	34	64	54

#### Трехметровые лизиметры

Маклора	IO2	101	104
Клен	94	52	86
Акация	45	63	28

#### Контрольный участок

Маклора	61	40	33
Клен	33	28	17
Акация	70	30	27

от 56,6 до 75,7 %. Наибольшая обводненность листьев наблюдается в начале вегетации. К концу вегетации она практически уменьшается.

Как показали исследования за 1974-1976 гг. (табл. 3), с увеличением зеленой массы и интенсивности транспирации суммарный расход воды древесными породами возрос за три года в 2,0-2,7 раза. При этом у маклоры в одно-, двух- и трехмет-

Таблица 2

Водный режим древесных пород  
за вегетационный период

Древесные: породы	М е с я ц и н								Сре- днеде-
	IУ	У	VI	УП	УШ	IX	X		
Интенсивность транспирации, мг/г за 3 мин.									
Маклюра	38,7	36,7	40,5	45,9	63,2	49,2	45,5	45,7	
	44,2	47,5	49,4	61,2	101,2	48,5	33,2	55,0	
Клен	27,2	22,5	47,3	39,5	64,2	46,6	45,6	41,8	
	52,6	47,6	26,7	58,2	64,2	43,3	31,8	46,3	
Акация	32,4	37,7	31,8	33,7	70,5	64,4	61,3	47,0	
	89,6	77,0	79,7	84,7	100,6	76,7	38,8	78,0	
Влажность листьев, %									
Маклюра	72,4	70,4	63,3	62,1	56,6	56,9	58,9	62,8	
	72,4	73,2	67,9	63,6	62,7	66,1	65,0	67,3	
Клен	75,1	75,3	69,6	67,7	69,3	65,3	62,2	69,2	
	74,7	75,7	70,6	64,6	61,2	60,8	63,4	67,3	
Акация	-	72,2	66,8	69,5	67,2	66,3	65,4	67,9	
	71,2	71,6	66,4	60,2	60,8	63,8	63,9	65,4	

Примечание. В числителе – в 1975 г., в знаменателе – в 1976 г.  
ровых лизиметрах – соответственно в 5,2, 3,4 и 2,6 раза, у клена – в 4,8–1,9 раза. В годовом разрезе суммарный расход воды уменьшался с увеличением глубины залегания грунтовых вод. Такая же закономерность наблюдалась и с расходом влаги из грунтовых вод. За годы наблюдений он изменился от 2–14 % в первый год до 54–89 % в третий, что подтверждает высокую дренажную способность древесных пород. Доля поверхностных вод в суммарном потреблении воды ежегодно уменьшалась.

Таблица 3

Водопотребление древесных пород  
в лизиметрах за вегетационный период

Глуби- на за- легания грунто- вых вод, м	Годы: 1974 1975 1976	Сум- марное потреб- ление воды, мм	В том числе		
			грунтовой инфильтра- ционной	мм : %	поверхност- ной
Маклюра оранжевая					
I	1974 1975 1976	703 2116 3665	23 1712 3257	3,3 80,9 88,9	22 3 18
2	1974 1975 1976	717 1413 2445	102 929 1983	14,2 65,7 81,1	85 13 14
3	1974 1975 1976	719 1075 1745	23 418 1219	3,2 38,9 69,9	59 19 0
Клен ясенелистный					
I	1974 1975 1976	701 2952 3354	16 2553 2961	2,3 86,5 88,3	14 8 33
3	1974 1975 1976	683 1073 1285	31 427 759	4,5 39,8 59,1	103 20 0
Акация белая					
I	1975 1976	855 2046	460 1662	53,8 81,2	12 42
2	1975 1976	1028 1729	563 1274	54,8 73,7	32 21
3	1975 1976	616 1142	133 620	21,6 54,3	74 4

## ВЫВОДЫ

- Средний рост в высоту за три года составил: у маклюры – 77–101, акации – 63–90 и клена – 52–78 см.
- Наибольшая интенсивность транспирации у акации – в среднем за два года 62,5 мг/г за 3 мин., несколько ниже у мак-

люры и клена - соответственно 50,3 и 44,0 мг/г за 3 мин.

3. Влажность листьев колебалась в небольшом интервале - от 56 до 77 %. В начале вегетации она была наибольшей, к осени - уменьшалась.

4. На третий год после посадки суммарное потребление воды у маклюры в одно-, двух- и трехметровых лизиметрах соответственно составило 3665, 2445 и 1745 мм, из них 70-89 % - доля расхода из грунтовых вод, у акации - 2046, 1729, 1142 мм и 54-81 %, у клена - 3354, 1285 мм и 59-88 %.

5. Исследования 1974-1976 гг. показали, что суммарное потребление воды за три года по большинству вариантов увеличилось в 1,9-3,4 раза. Наибольшее увеличение в одном етровом лизиметре: у маклюры - в 5,2, у клена - в 4,8 раза.

#### ЛИТЕРАТУРА

1. Бердыкльчев К. Мелиоративное значение древесных пород в условиях Северной Туркмении. Ашхабад, "Ыым", 1968.

2. Временные инструктивные указания по проектированию и выращиванию защитных лесных насаждений на орошаемых землях. М., 1973.

3. Елисееев Л.В. Транспирация древесных пород в поливных условиях Туркменской ССР. "Лесное хозяйство", 1939, № 5.

4. Мищенко А.С. Акация белая, карагач и древовидные ивы в средней части Амударьи. Тр. Института земледелия, т. 2, Ашхабад, 1959.

5. Новиков Г.С. Вопросы проектирования лесных мелиоративных насаждений в средней полосе Амударьи. Тр. Института земледелия, т. I, Ашхабад, 1957.

Х.А.АХМЕДОВ

ПРОФЕССОР, ДОКТОР ТЕХН. НАУК

Ф.А.БАРАЕВ

ИНЖЕНЕР ТИИИМСХ

#### НИКОТОРЫЕ ВОПРОСЫ ИСПОЛЬЗОВАНИЯ ДРЕНАЖНО-СБРОСНЫХ ВОД ДЛЯ ПОВТОРНОГО ОРОШЕНИЯ РИСОВОЙ КУЛЬТУРЫ

Широкие исследования, проведенные в рисоводческом совхозе "50 лет СССР" Сырдарьинской области, выявили, что в результате применения на рисовых полях проточности и сбросов теряется от 15000 до 45000 м<sup>3</sup>/га оросительной воды [3]. Поэтому средняя фактическая оросительная норма риса по совхозу составляет 65000 м<sup>3</sup>/га, что более чем в три раза превышает установленную нашими опытами, оптимальную оросительную норму риса для совхоза, составляющую, в зависимости от предлагаемых мероприятий, 19000-24000 м<sup>3</sup>/га.

Один из путей решения вопроса максимального сокращения затрат оросительной воды, уменьшения величины оросительной нормы риса, недопущения перегрузки дренажной сети, а следовательно, и улучшения мелиоративного режима, как на рисовой карте, так и на севооборотных полях - использование дренажно-сбросных вод для повторного орошения рисовой культуры.

В течение всей вегетации риса нами проводился подекадный отбор проб воды из оросительной и дренажной сети; исследован химический состав и минерализация отобранных проб.

Анализ полученных данных позволил сделать следующий вывод. Как известно, рисовые карты отличаются тем, что в течение почти всей вегетации имеют слой воды на поверхности почвы; динамика минерализации её зависит не только от поступающей из оросителя воды, но и от климатических и почвенно-мелиоративных условий самой карты, а также каждого чека в отдельности.

Поэтому формула профессора М.Ф. Натальчука,

$$\Omega_s = \Omega_r \frac{C_r - C}{C - C_d}, \quad (1)$$

где  $\Omega_s$  — процент смешения оросительной воды;

$\Omega_r$  — то же дренажно-сбросной воды;

$C_r$  — минерализация оросительной воды;

$C_d$  — то же дренажно-сбросной воды;

$C$  — допустимая для рисовой культуры минерализация воды, применяемая обычно для определения процентного соотношения смешиваемых оросительных и дренажных вод, для условий рисовой культуры требует дополнительного уточнения, ввиду отсутствия третьего важного элемента, характеризующего динамику минерализации воды на поверхности чека.

С целью использования формулы (1) для рисовых культур, необходимо в левую часть соотношения

$$\frac{C_r \cdot \Omega_r + C_d \cdot \Omega_d}{\Omega_r + \Omega_d} = C$$

ввести поправку на минерализацию чековой воды ( $C_3$ ) —

$$C_3 + \frac{C_r \cdot \Omega_r + C_d \cdot \Omega_d}{\Omega_r + \Omega_d} = C'. \quad (2)$$

После упрощения получим равенство, которое рекомендуеться нами для определения процентного соотношения смешиваемых оросительных и дренажно-сбросных вод при орошении рисовой культуры:

$$\Omega_s = \Omega_r \frac{C' - C_3}{C_3 + (C_r - C')}. \quad (3)$$

Здесь  $C'$  — допустимая максимальная для риса минерализация чековой воды.

Величины  $(C_r)$ ,  $(C_d)$ ,  $(C_3)$  и даже  $(C')$  не являются постоянными, поэтому в таблице даны, вычисленные по формуле (3), ежемесячные проценты добавления дренажно-сбросной воды к оросительной. Из таблицы видно, что возможности и размеры использования дренажно-сбросных вод для повторного орошения в тече-

ние вегетации неодинаковы.

Воду в распределитель Р-1-1-3 из сброса ГПК-56А-22-1 подавали насосом. Минерализация чековой воды даже в самый жаркий период не превысила 2,5 г/л. Экономия оросительной воды составила 37,4%, т.е. 18277 м<sup>3</sup>/га. Средняя, с площади опытной карты в 37 га, урожайность риса составила 50 ц/га.

Таблица

Зависимость процентного соотношения смешиваемых оросительных и дренажно-сбросных вод от среднемесячных значений минерализации воды на чеках, в оросителях и дренах-сбросах рисовых опытных карт

1976 г.

Место взятия проб воды на анализ	Среднемесячная минерализация, мг/л				
	Месяцы	У	VI	VII	VIII
Ороситель Р-1-1-3		829,0	954,0	1066,0	1120,0
Среднечековые дан- ные		900,0	980,0	1150,0	1300,0
Коллектор ГПК-56А-22		1090,0	1044,0	1190,0	1298,0
Допустимая для риса минерализация воды на чеках		1900,0	2000,0	2000,0	2500,0
Процент смешения дренажной воды по формуле (3)		190	278	-	428
					643

При экономии оросительной воды в 18277 м<sup>3</sup>/га или на 37 га — 676249 м<sup>3</sup> совхоз дополнительно засеял (при средней оросительной норме 65 000 м<sup>3</sup>/га) площадь в 10,4 га и получил

520 ц риса, что при государственной закупочной цене на рис 30 руб/ц составило 15,600 руб.

Следовательно, при повторном использовании дренажно-бросной воды на орошение совхоз может получить с одного гектара дополнительный доход в  $15600 : 37 = 421$  руб. 60 коп. Чистый доход, за вычетом затрат на использование насосной установки в 291 руб. 34 коп., составляет 130 руб. 26 коп. с одного гектара.

#### Л и т е р а т у р а

- Натальчук М.Ф. Эксплуатация оросительных систем М., Изд-во "Колос".
- Овсянников А.С. Влияние минерализованных вод на солевой режим почв под культурой риса. "Проблемы освоения пустынь" №1 Ашхабад, 1968.
- Ахмедов Х.А. "О необходимости проточности на рисовых картах".
- Бараев Ф.А. "Сельское хозяйство Узбекистана" №12 Ташкент, 1977.

УДК 626.862.4

Калантаев В.А., Ишанкулиев З.

#### Мелиорация засоленных земель с помощью мобильных дренажных систем

Сб. "Мелиорация земель в Туркменистане". Вып. 4, Ташкент, САНИИРИ, 1978 (ТуркменНИИГиМ ММиВХ СССР).

В статье предлагается новый способ мелиорации засоленных земель с помощью мобильных дренажных систем. Конструкция такой системы разработана и прошла испытание на Чарджусской опытно-мелиоративной станции ТуркменНИИГиМа. Предложенный способ мелиорации сокращает мелиоративный период в 4-5 раз по сравнению с обычным способом рассоления земель.

Табл.-, иллюстр. 1, библиогр.-.

УДК 626.862.1

Калантаев В.А.

#### О высоте нависания грунтового потока при работе дренажных сооружений

Сб. "Мелиорация земель в Туркменистане". Вып. 4, Ташкент, САНИИРИ, 1978 (ТуркменНИИГиМ ММиВХ СССР).

В статье наряду с описанием существующих положений о высоте нависания при работе гидротехнических сооружений дается новое физическое толкование этому явлению. Проведенные автором исследования на моделях и в натурных условиях, а также теоретические расчеты дали возможность найти формулу для определения высоты нависания для дрен различного типа и для

различных условий работы дренажа.

Табл.-, иллюстр. I, библиогр. 9.

УДК 626.862.4

Чавыкин В.Н., Мамедова Л.В.,  
Андреева М.М.

Определение параметров закрытых дрен  
с прерывистой фильтровой зоной

Сб. "Мелиорация земель в Туркменистане", Вып. 4,  
Ташкент, САНИИРИ, 1978 (ТуркменНИИГиМ ММиВХ СССР).

В статье рассмотрена возможность устройства дренажа с прерывистой фильтровой частью в виде пористых вставок и фильтрующих мубят. На жидкостной модели ЭГЛА получены оптималь-

местных минерально-волокнистых, с содержанием оксида кальция в пределах 24–35 % и кремнезема – 40–42 %. Показано соответствие деформативных и фильтрационных свойств последних действующему ОСТ 33-10-73 и применимость таких материалов только с дополнительной обсыпкой барханным песком.

Табл. 2, иллюстр.-, библиогр. 4.

УДК 626.8:69.03

Мамедов В.Н., Башимов О.

Совершенствование строительства  
закрытого горизонтального дренажа  
в Туркменской ССР

Сб. "Мелиорация земель в Туркменистане", Вып. 4,

Было установлено, что для оптимального устройства дренажа в грунте земли, необходимо, чтобы фильтрующая часть дренажа имела фильтрующие вставки из пористых материалов, имеющих минимальную пористость и максимальную фильтрующую способность.

Табл. 2, иллюстр. 2, библиогр. 2.

Литература

Чавыкин В.Н., Мамедова Л.В.,  
Андреева М.М.

Было установлено, что для оптимального устройства дренажа в грунте земли, необходимо, чтобы фильтрующая часть дренажа имела фильтрующие вставки из пористых материалов, имеющих минимальную пористость и максимальную фильтрующую способность.

Было установлено, что для оптимального устройства дренажа в грунте земли, необходимо, чтобы фильтрующая часть дренажа имела фильтрующие вставки из пористых материалов, имеющих минимальную пористость и максимальную фильтрующую способность.

Было установлено, что для оптимального устройства дренажа в грунте земли, необходимо, чтобы фильтрующая часть дренажа имела фильтрующие вставки из пористых материалов, имеющих минимальную пористость и максимальную фильтрующую способность.

Литература

Мамедов В.Н., Башимов О.

Было установлено, что для оптимального устройства дренажа в грунте земли, необходимо, чтобы фильтрующая часть дренажа имела фильтрующие вставки из пористых материалов, имеющих минимальную пористость и максимальную фильтрующую способность.

Было установлено, что для оптимального устройства дренажа в грунте земли, необходимо, чтобы фильтрующая часть дренажа имела фильтрующие вставки из пористых материалов, имеющих минимальную пористость и максимальную фильтрующую способность.

ции вертикальных скважин в совхозе "Махтумкули" Векиль-Базарского района Марыйской области. Рассмотрены результаты двухлетних наблюдений по 40 вертикальным скважинам. Бурение скважин производилось вращательнороторным способом с прямой промывкой станком УРБ-ЗАМ глубиной до 50 м от поверхности земли. Диаметр долота 650–1000 мм.

Результаты исследований показали допущение множества ошибок. Главной из них является применение устаревшей технологии строительства с прямой промывкой. При применении дырчатых фильтров вместо каркасно-стержневых увеличивается сопротивление в фильтровой зоне. Кроме того, скважины сдаются в эксплуатацию через 1–2 года после завершения строительства. Все это приводит к уменьшению дебита.

Табл. 2, иллюстр.-, библиогр. 2.

УДК 621.879.34

Худайберенов М.

Испытание экскаваторного ковша на очистке бетонированного канала

Сб. "Мелиорация земель в Туркменистане". Вып. 4, Ташкент, САНИИРИ, 1978 (ТуркменНИИГиМ ММиВХ СССР).

В статье приведены новая конструкция ковша для очистки бетонированных каналов от заилиения и растительности, разработанная на основании данных предварительных исследований по резанию заросших грунтов в облицованном русле и результаты производственных испытаний нового рабочего органа на очистке бетонированного канала.

Табл.-, иллюстр. 1, библиогр.-.

УДК 631.587(255)+631.67.03.003.13

Кулов А., Сахатова К.,  
Рахманов К.

Эффективность использования оросительной

воды и орошаемых земель в зоне Каракумского канала

Сб. "Мелиорация земель в Туркменистане". Вып. 4, Ташкент, САНИИРИ, 1978 (ТуркменНИИГиМ ММиВХ СССР).

В статье рассматриваются основные показатели эффективного использования оросительной воды и орошаемых земель. Анализируются удельные показатели поданной хозяйству оросительной воды. Экономическая оценка эффективности дается по материалам всех колхозов в зоне Каракумского канала. Результативные показатели сопоставляются в различных группах по фактической водоподаче.

Табл. 2, иллюстр.-, библиогр.-.

УДК 631.674.5:633.5II

Аманов Х.А., Гулбердиев Б.,  
Сахаров А., Хрипко В.Г.

Итоги исследований орошения хлопчатника дождеванием в Туркменской ССР

Сб. "Мелиорация земель в Туркменистане". Вып. 4, Ташкент, САНИИРИ, 1978 (ТуркменНИИГиМ ММиВХ СССР).

На основе данных многолетних (1971–1974 гг.) исследований в статье приводятся фактические режимы орошения, суммарное испарение, изменения засоленности почв на поливе хлопчатника дождевальным агрегатом ДДА-100М по сравнению с ручным бороздковым способом на землях Каракумской и Чарджоуской ОМС.

Табл. 4, иллюстр.-, библиогр.-.

УДК 631.67:626.822:633.5II

Шерипов Д., Сейдов О.,  
Сахаров А., Нурсахатов О.

Опыт полива хлопчатника закрытой сетью в условиях Мургабского оазиса

Сб. "Мелиорация земель в Туркменистане". Вып. 4, Ташкент, САНИИРИ, 1978 (ТуркменНИИГиМ ММиВХ СССР).

В статье приводятся основные результаты проведенных исследований новой техники полива из закрытых поливных трубопроводов по системе академика И.А. Шарова, построенных в 1976 году на общей площади 479 га на участке им. Буденного Туркменкалинского района Марийской области, которые дали возможность производить сосредоточенные поливы до 250 л/с, что позволило сократить число поливальщиков в 2 раза, при этом производительность их увеличилась в 2-4 раза, КЗИ-на 3-4 %, что позволило получить 2-3 ц/га дополнительной продукции по сравнению с обычным способом.

Табл. 3, иллюстр. I, библиогр.-.

УДК 631.674.1:633.5II

Аманов Х.А., Таганов М., Сейдов О.

Исследование техники бороздкового полива хлопчатника в Прикспетдагской зоне

Сб. "Мелиорация земель в Туркменистане". Вып. 4, Ташкент, САНИИРИ, 1978 (ТуркменНИИГиМ ММиВХ СССР).

В статье излагаются результаты исследований и даются наиболее эффективные элементы техники бороздкового полива тонковолокнистого хлопчатника в зоне 4-й очереди Каракумского канала.

Табл. 4, иллюстр.-, библиогр.-.

УДК 65.0II.56:625.8

Белоус А.Т., Сапаров Б.

Основные вопросы автоматизации водораспределения на протяженных оросительных системах

Сб. "Мелиорация земель в Туркменистане". Вып. 4, Ташкент, САНИИРИ, 1978 (ТуркменНИИГиМ ММиВХ СССР).

Автоматизация водораспределения включает составление планов водораспределения на ЭВМ, их коррекцию в процессе реализации водораспределения, осуществляющего применением технических средств автоматизации. В этой связи решается задача прогнозирования гидрографа в замкнутом створе по известному гидрографу в головном створе в предположении равенства постоянных времени характерных участков канала и обосновывается функциональная схема автоматизированной системы управления водораспределением протяженной оросительной системы.

Табл.-, иллюстр. 3, библиогр. 4.

УДК 626.8I0:338.1:68I.3

Сапаров Б., Коваленко Р.И.,  
Белкин Г.Б., Какальев А.

К расчету планов водопользования  
и водораспределения на ЭВМ

Сб. "Мелиорация земель в Туркменистане". Вып. 4, Ташкент, САНИИРИ, 1978 (ТуркменНИИГиМ ММиВХ СССР).

В статье рассмотрены разработанные авторами методика и программа для расчета ординат гидромодулей, поливных заданий и КПД оросительных каналов с помощью ЭВМ "Минск-32". Приведены алгоритмы и блок-схема расчета, даны рекомендации по применению методики в практике водохозяйственного планирования.

Табл. 4, иллюстр. 2, библиогр. 4.

УДК 626.842.004.1(0.84.3-36)(255)

Литвинов Ю.П., Новицкий В.А.  
Сапаров Б.

Методика районирования орошаемых территорий по величине удельных фильтрационных потерь воды из каналов внутрихозяйственной сети

Сб. "Мелиорация земель в Туркменистане". Вып. 4, Ташкент, САНИИРИ, 1978 (ТуркменНИИГиМ ММиВХ СССР).

В статье излагается методика определения величины удельных фильтрационных потерь воды из каналов внутрихозяйственной сети с помощью формул подобия с учетом длины оттока фильтрационно-грунтовых вод, суммарного испарения с их поверхности и стадий фильтрации из каналов.

Предлагаемая методика позволяет произвести массовое определение удельных фильтрационных потерь воды и коэффициентов полезного действия каналов внутрихозяйственной сети и районировать орошаемую территорию по их величине.

Табл. I, иллюстр. I, библиогр. 4.

УДК 626.212.001.24

Гарагулов М.Ч., Сапаров Б.

К расчету свободной фильтрации при повышении горизонта воды

Сб. "Мелиорация земель в Туркменистане". Вып. 4, Ташкент, САНИИРИ, 1978 (ТуркменНИИГиМ ММиВХ СССР).

Выведены зависимости для расчета свободной фильтрации из водохранилища в период его наполнения. На основе полученных решений предложена методика определения коэффициента фильтрации грунтов. Показано, что в некоторых случаях теоретические зависимости значительно упрощаются.

Табл.-, иллюстр. 2, библиогр.-.

УДК 551.49.018/491.7

Гарагулов М.Ч.

К методике определения фильтрационных характеристик грунтов зоны аэрации

Сб. "Мелиорация земель в Туркменистане". Вып. 4, Ташкент, САНИИРИ, 1978 (ТуркменНИИГиМ ММиВХ СССР).

Анализируются существующие методы обработки данных опытно-

го налива воды в зоне аэрации, основанные на теории неуставновившейся свободной фильтрации. Методы обработки кривой объема впитывания обобщаются и сводятся к единой упрощенной методике. Для обработки кривой расхода фильтрации предлагается новая методика, которая показывает величину погрешности, возникающую при пользовании методами, основанными на теории установившейся фильтрации.

Табл.-, иллюстр. 3, библиогр. 8.

УДК 626.861:631.621

Джораев Б.М.

Влияние Главного Левобережного коллектора на режим грунтовых вод

Сб. "Мелиорация земель в Туркменистане". Вып. 4, Ташкент, САНИИРИ, 1978 (ТуркменНИИГиМ ММиВХ СССР).

Рассматриваются вопросы влияния крупных коллекторов на примере ГЛК на грунтовые воды, а также сезонные, многолетние колебания уровня и динамики химизма грунтовых вод скважин, расположенных на ГЛК (створы Карабекаульский, Саятский, Чардоуский и Дейнауский). Определены зоны влияния ГЛК, также отмечается улучшение мелиоративного состояния орошаемых земель в зоне ГЛК, увеличение урожайности сельскохозяйственных культур.

Табл.-, иллюстр. I, библиогр. 6.

УДК 631.67:631.41:518.5

Аманов Х.А., Заманмурад Х., Язкычев А.

Исследование адекватности математической модели переноса почвенной влаги в зоне аэрации по лизиметрическим данным

Сб. "Мелиорация земель в Туркменистане". Вып. 4, Ташкент, САНИИРИ, 1978 (ТуркменНИИГиМ ММиВХ СССР).

В статье рассматриваются некоторые вопросы проверки адекватности математической модели переноса почвенной влаги в зоне аэрации по лизиметрическим данным. Показано, что среднее отклонение расчетных данных от измеренных по эпюрам распределения влажности в вегетационном периоде не превышает 11 %.

Табл.-, иллюстр. 1, библиогр. 3.

УДК 551.573

Габуров В.К.

Зависимость испаряемости от дефицита влажности воздуха в жарких и сухих условиях

Сб. "Мелиорация земель в Туркменистане". Вып. 4, Ташкент, САНИИРИ, 1978 (ТуркменНИИГиМ ММиВХ СССР).

В статье рассматриваются вопросы применимости известных формул, служащих для расчета испаряемости по дефициту влажности воздуха, к жарким и сухим условиям Туркменистана. Показано, что зависимость между испаряемостью и дефицитом влажности воздуха при больших его значениях, не соблюдается, что приводит к значительным ошибкам при вычислении потенциально возможного испарения. Предложены редукционные коэффициенты при определении испаряемости по лизиметрам с близким уровнем грунтовых вод. Сделан вывод о целесообразности научного поиска и разработке расчетных зависимостей для условий Туркменистана с целью точного определения важнейшего показателя — испаряемости.

Табл. 1, иллюстр. 1, библиогр. 10.

Джуманазарова Т.

Водопотребление томатов и солевой режим почв при близком залегании грунтовых вод

Сб. "Мелиорация земель в Туркменистане". Вып. 4, Ташкент, САНИИРИ, 1978 (ТуркменНИИГиМ ММиВХ СССР).

Исследованы нормы водопотребления томатов и солевой режим почв при близком залегании грунтовых вод на орошаемых землях Прикопетдагской зоны ТССР. Для У и УП гидромодульных районов среднегодовое увеличение запаса солей в активном слое почвы за вегетационный период составило 0,20–3,48 т/га по хлору и 3,55–9,25 — по плотному остатку. Кроме того, предложена зависимость для расчета норм водопотребления томатов за вегетационный период.

Табл. 2, иллюстр. 2, библиогр.-.

УДК 626.810:635.977.45

Лукьяненко Л.П., Заманмурад Х.

Водопотребление древесных пород

Сб. "Мелиорация земель в Туркменистане". Вып. 4, Ташкент, САНИИРИ, 1978 (ТуркменНИИГиМ ММиВХ СССР).

В статье рассматривается вопрос изучения водопотребления древесных пород (маклюры оранжевой, клена ясенелистного, акации белой), в основу которого положен лизиметрический метод, позволяющий получить данные по составляющим водного баланса древесных пород.

Показаны основные причины, влияющие на суммарный расход, расход грунтовых и поверхностных вод. При всех одинаковых условиях произрастания маклюра оранжевая отличается высокой дренажной способностью.

Табл. 3, иллюстр.-, библиогр. 5.

"Некоторые вопросы использования дренажно-сбросных вод для повторного орошения рисовой культуры"

Х.А.АХМЕДОВ, Ф.А. БАРАЕВ

Сборник научных трудов вып.4, Ташкент,  
САНИИРИ, 1978

Данные исследований проведенных на рисовых полях рисоводческого совхоза "50 лет СССР" Ворошиловского района Сырдарьинской области показали, что одним из путей решения вопроса уменьшения величины оросительных потерь воды, при поливе риса, недопущения перегрузки дренажной сети является использование на орошение дренажно-сбросных вод. Выявлено, что при повторном использовании дренажно-сбросных и оросительных вод величина сэкономленной оросительной воды составляет немалую величину - 37,4% или 18277 м/га. Процент смешения дренажно-сбросных и оросительных вод необходимо определять на рисовых полях с учетом динамики минерализации воды на поверхности карт.

Библ.2

Табл. I

## СОДЕРЖАНИЕ

В.А. Калантаев, З. Ишанкулиев. Мелиорация засоленных земель с помощью мобильных дренажных систем . . . . .	5
В.А. Калантаев. О высоте нависания грунтового потока при работе дренажных сооружений. . . . .	8
В.Н. Чавыкин, Л.В. Мамедова, М.М. Андреева. Определение параметров закрытых дрен с прерывистой фильтровой зоной. . . . .	17
В.Н. Чавыкин, Л.В. Мамедова, М.М. Андреева. Химическая стойкость местных фильтровых материалов и их применение в дренаже. . . . .	21
В.Н. Мамедов, О. Башимов. Совершенствование строительства закрытого горизонтального дренажа в Туркменской ССР. . . . .	28
О. Назармамедов, Б. Ибрагимов. Опыт строительства вертикального дренажа в Мургабском оазисе. . . . .	34
М. Худайберенов. Испытание экскаваторного ковша на очистке бетонированного канала. . . . .	39
А. Кулов, К. Сахатова, К. Рахманов. Эффективность использования оросительной воды и орошаемых земель в зоне Каракумского канала. . . . .	42
Х.А. Аманов, Б. Гулбердиев, А. Сахаров, В.Г. Хрипко. Итоги исследований орошения хлопчатника дождеванием в Туркменской ССР. . . . .	46
Д. Шерипов, О. Сейдов, А. Сахаров, О. Нурсахатов. Опыт полива хлопчатника закрытой сетью в условиях Мургабского оазиса. . . . .	52
Х.А. Аманов, М. Таганов, О. Сейдов. Исследование техники бороздкового полива хлопчатника в Прикопетдагской зоне. . . . .	57

А.Т. Белоус, Б. Сапаров. Основные вопросы автоматизации водораспределения на протяженных оросительных системах. . . . .	63
Б. Сапаров, Р.И. Коваленко, Г.Б. Белкин, А. Какалышев. К расчету планов водопользования и водораспределения на ЭВМ. . . . .	75
Ю.П. Литвинов, В.А. Новицкий, Б. Сапаров. Методика районирования орошаемой территории по величине удельных фильтрационных потерь воды из каналов внутрихозяйственной сети. . . . .	85
М.Ч. Гарагулов, Б. Сапаров. К расчету свободной фильтрации при повышении горизонта воды. . .	94
М.Ч. Гарагулов. К методике определения фильтрационных характеристик грунтов зоны аэрации. . . . .	99
Б. Джорاءв. Влияние Главного левобережного коллектора на режим грунтовых вод. . . . .	106
Х.А. Аманов, Х. Заманимурат, А. Язкычев. Исследование адекватности математической модели переноса почвенной влаги в зоне аэрации по лизиметрическим данным. . . . .	113
В.К. Гафуров. Зависимость испаряемости от дефицита влажности воздуха в жарких и сухих условиях. . .	121
Т. Джуманазарова. Водопотребление томатов и солевой режим почв при близком залегании грунтовых вод. . . . .	128
А.П. Лукьяненко, Х. Заманимурат. Водопотребление древесных пород. . . . .	133
Ахмедов Х.А., Бараев Ф.А. - Некоторые вопросы использования дренажно-сбросных вод для повторного орошения рисовой культуры . . . . .	
Рефераты . . . . .	143

Туркменский научно-исследовательский институт  
гидротехники и мелиорации

744000, г. Ашхабад, ул. Островского, 30.

МЕЛИОРАЦИЯ  
ЗЕМЕЛЬ В ТУРКМЕНИСТАНЕ  
Выпуск четвертый

Редактор Ю.Н. Моргунов

Корректор Т.И. Карпачева

---

P - 05686 Подписано в печать 31/III - 1978 г. Формат  
бумаги 60 x 90 I/16. Уч.-изд.л. 7 Усл.п.л.8  
Заказ 41251. Тираж 500 экз. Цена 66 коп.

Картфабрика института "Узгипроzem",  
700000, г. Ташкент, ул. Мукими, 176.